



UNIVERSIDADE FEDERAL DO RIO GRANDE – FURG
INSTITUTO DE OCEANOGRÁFIA – IO
PROGRAMA DE PÓS-GRADUAÇÃO EM AQUICULTURA – PPGAqui



AVALIAÇÃO ANESTÉSICA DO GERANIOL E CITRONELOL PARA TAMBAQUI,
Colossoma macropomum: IMPLICAÇÕES NEUROMUSCULARES,
CARDIORRESPIRATÓRIAS E QUIMIOPROTETIVAS

EDNARA RONISE LIMA DE ARAÚJO

RIO GRANDE – RS

Agosto, 2022

UNIVERSIDADE FEDERAL DO RIO GRANDE – FURG
INSTITUTO DE OCEANOGRAFIA – IO
PROGRAMA DE PÓS-GRADUAÇÃO EM AQUICULTURA – PPGAAqui

**AVALIAÇÃO ANESTÉSICA DO GERANIOL E CITRONELOL PARA TAMBAQUI,
Collossoma macropomum: IMPLICAÇÕES NEUROMUSCULARES,
CARDIORRESPIRATÓRIAS E QUIMIOPROTETIVAS**

Ednara Ronise Lima de Araújo

Tese apresentada ao Programa de Pós-Graduação
em Aquicultura da Universidade Federal do Rio
Grande – FURG, como requisito parcial à
obtenção do título de Doutora em Aquicultura.

Orientador: Prof. Dr. Luís André Sampaio (FURG)

Co-orientador: Prof. Dr. Luis André Barbas (IFPA – *Campus Castanhal*)

RIO GRANDE – RS

Agosto, 2022

Ficha Catalográfica

A663a Araújo, Ednara Ronise Lima de.

Avaliação anestésica do geraniol e citronelol para tambaqui,
Colossoma macropomum: implicações neuromusculares,
cardiorrespiratórias e quimioprotetivas / Ednara Ronise Lima de
Araújo. – 2022.

122 f.

Tese (doutorado) – Universidade Federal do Rio Grande –
FURG, Programa de Pós-Graduação em Aquicultura, Rio Grande/RN,
2022.

Orientador: Dr. Luís André Sampaio.

Coorientador: Dr. Luis André Barbas.

1. Fitoconstituintes 2. Eletrofisiologia 3. EMG 4. ECG 5. FR 6. OBI
7. EEG 8. Estresse oxidativo 9. EROs 10. Transporte 11. Sedação
I. Sampaio, Luís André II. Barbas, Luis André III. Título.

CDU 639.3.05

Catalogação na Fonte: Bibliotecário José Paulo dos Santos CRB 10/2344



ATA 04/2022

DE DEFESA DA 75ª TESE DE DOUTORADO EM AQUICULTURA DE DEFESA

No dia vinte e seis de agosto de dois mil e vinte e dois, às nove horas, reuniu-se a Banca Examinadora de Tese de Doutorado em Aquicultura, da **EDNARA RONISE LIMA DE ARAÚJO**, orientada pelo Prof. Dr. Luís André Nassr de Sampaio e co-orientada pelo Prof. Dr. Luis André Luz Barbas, composta pelos seguintes membros: Prof. Dr. Luís André Nassr de Sampaio (Orientador – IO/FURG), Prof. Dr. Luis André Luz Barbas (Co-orientador – IFPA), Prof. Dr. Luciano de Oliveira Garcia (IO/FURG), Prof.ª Dr.ª Micheli Rosa de Castro (FURG) e Prof. Dr. Moisés Hamoy (UFPA). Título da Tese: “**AVALIAÇÃO ANESTÉSICA DO GERANIOL E CITRONEOL PARA TAMBAQUI, Colossoma macropomum: IMPLICAÇÕES NEUROMUSCULARES, CARDIORRESPIRATÓRIAS E QUIMIOPROTETIVAS**”. Dando início à defesa, o Coordenador do PPGAq, Prof. Dr. Dariano Krummenauer passou a presidência da sessão ao Prof. Dr. Luís André Nassr de Sampaio, que na qualidade de orientador, passou a palavra para a candidata apresentar a Tese. Após ampla discussão entre os membros da Banca e a candidata, a Banca se reuniu sob a presidência do Coordenador. Durante esse encontro ficou estabelecido que as sugestões dos membros da Banca Examinadora devem ser incorporadas na versão final, ficando a cargo do Orientador o cumprimento desta decisão. A candidata **EDNARA RONISE LIMA DE ARAÚJO** foi considerada **APROVADA**, devendo a versão definitiva de a Tese ser entregue na Secretaria do PPGAq, no prazo estabelecido nas Normas Complementares do Programa. Nada mais havendo a tratar, foi lavrada a presente ata, que após lida e aprovada, será assinada pela Banca Examinadora, pela candidata e pelo Coordenador do PPGAq.

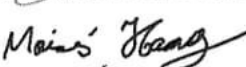

PROF. DR. LUIS ANDRÉ NASSR DE SAMPAIO (ORIENTADOR – IO/FURG)

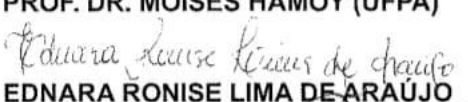
2022.08.26 21:24:02
03'00"
2022.002.20191


PROF. DR. LUIS ANDRÉ LUZ BARBAS (IFPA)


PROF. DR. LUCIANO DE OLIVEIRA GARCIA (IO/FURG)


PROF.ª DR.ª MICHELI ROSA DE CASTRO (FURG)


PROF. DR. MOISÉS HAMOY (UFPA)


EDNARA RONISE LIMA DE ARAÚJO


PROF. DR. DARIANO KRUMMENAUER (Coordenador do PPGAqui)

LISTA DE FIGURAS

ARTIGO 1

- Figure 1 – Trends of induction (A3) and recovery (R2) in juvenile tambaqui, *Colossoma macropomum* exposed to short-term baths with increasing concentrations of geraniol (A) e citronellol (B).....52
- Figure 2 – Electromyographic records (EMG) of tambaqui, *Colossoma macropomum* in the basal state (A and B); submitted to short-term baths with geraniol (GRL) at 70 $\mu\text{L L}^{-1}$ (C and D), citronellol (CTL) at 90 $\mu\text{L L}^{-1}$ (E and F) and during recovery after anaesthesia with GRL (G and H) and CTL (I and J). Recordings were performed for 300 s. A colorimetric scale is used in the frequency spectrograms whereby the reddish colours indicate a more intense electrical signal over time and across different frequencies.....53
- Figure 3 – Mean amplitudes recorded in the electromyogram (EMG) of *Colossoma macropomum* juveniles submitted to anaesthesia with geraniol (GRL) and citronellol (CTL). Recordings performed for 300 s in the controls, fish undergoing anaesthetic baths with GRL at 70 $\mu\text{L L}^{-1}$, CTL at 90 $\mu\text{L L}^{-1}$ and in recovery post-anaesthesia (Rec GRL and Rec CTL). The Ind I and Ind II periods correspond to the mean amplitude within standardized intervals from 1 to 150 s and 150 to 300 s, respectively. *** Indicates significant differences ($p < 0.001$) from Ind I to control; +++ Indicates significant differences ($p < 0.001$) from Ind II to Ind I within the same anaesthetic; ° Indicates significant differences ($^{\circ}, p < 0.05;$ $^{***}, p < 0.001$) in Recovery compared to Ind II relative to the same anaesthetic, [ANOVA and Tukey's test ($p < 0.05, n = 9$)].....54
- Figure 4 – Opercular beat intensity (OBI) records of tambaqui, *Colossoma macropomum* in the basal state (A and B), submitted to baths with geraniol (GRL) at 70 $\mu\text{L L}^{-1}$ (C and D) and citronellol (CTL) at 90 $\mu\text{L L}^{-1}$ (E and F) and during recovery after anaesthesia with GRL (G and H) and CTL (I and J). Recordings were performed for 300 s. A colorimetric scale is used in the frequency spectrograms whereby the

reddish colours indicate a more intense electrical signal over time and across different frequencies.....56

Figure 5 – Record of mean amplitude of opercular beat intensity (OBI) (A) and opercular beat rate (OBR), in beats per minute (bpm) (B) of *Colossoma macropomum* juveniles submitted to anaesthesia with geraniol (GRL) and citronellol (CTL). Recordings made in 300 s in the controls, fish submitted to anaesthetic baths with GRL at 70 $\mu\text{L L}^{-1}$, CTL at 90 $\mu\text{L L}^{-1}$ and during recovery after anaesthesia (Rec GRL and Rec CTL). The Ind I and Ind II periods correspond to the average amplitude of standardized intervals from 1 to 150 s and 150 to 300 s, respectively. * Indicates significant differences (*, $p < 0.05$; ***, $p < 0.001$) from Ind I to control; +++ Indicates significant differences ($p < 0.001$) from Ind II to Ind I within the same anaesthetic; ^{ooo} Indicates significant differences ($p < 0.001$) of Recovery in relation to Ind II within the same anaesthetic, [ANOVA and Tukey's test ($p < 0.05$, $n = 9$)].....57

Figure 6 – Normal electrocardiographic (ECG) tracings of tambaqui *Colossoma macropomum* (10 s) (A) and 2-s snapshots showing the P and T waves, and the QRS complex (B); and fish undergoing short-term baths with geraniol (GRL) at 70 $\mu\text{L L}^{-1}$ (C and D) and during recovery after anaesthesia (E and F), citronellol (CTL) at 90 $\mu\text{L L}^{-1}$ (G and H) and during recovery after anaesthesia (I and J). Recordings were all performed for 300 s (left panels) showing 10-s fragment amplifications (right panels except for B panel).....58

Figure 7 – Heart rate (HR), in beats per minute (bpm) of *Colossoma macropomum* juveniles submitted to anaesthesia with geraniol (GRL) and citronellol (CTL). Recordings made in 300 s in the controls, fish submitted to anaesthetic baths with GRL at 70 $\mu\text{L L}^{-1}$ (Ind GRL), CTL at 90 $\mu\text{L L}^{-1}$ (Ind CTL) and during recovery post anaesthesia (Rec GRL and Rec CTL). *** Indicates significant differences ($p < 0.001$) of Induction relative to the control; ^{ooo} Indicates significant differences (^{ooo}, $p < 0.001$) of Recovery in relation to Induction within the same anaesthetic, [ANOVA and Tukey's test ($p < 0.05$, $n = 9$)].....59

ARTIGO 2

- Figure 1 – Normal electrocardiographic (ECG) recording of Tambaqui, *Colossoma macropomum* in the Basal group with sinus rhythm in 10s (A) and 2s amplification demonstrating P, T waves, duration of RR and QT intervals and QRS complex amplitude (B).....74
- Figure 2 – Electrocardiographic (ECG) recording of Tambaqui, *Colossoma macropomum* during contact with Ethanol (A), and 2s amplification demonstrating P, T waves, duration of RR and QT intervals and QRS complex amplitude (B).....74
- Figure 3 – Electrocardiographic recording (ECG) of Tambaqui, *Colossoma macropomum* upon contact with Geraniol (GRL) 70 $\mu\text{L L}^{-1}$ and Citronellol (CTL) 90 $\mu\text{L L}^{-1}$, with a total duration of 5 minutes, the red line indicates the tracing that was evaluated with magnification of the last 150 seconds of exposure with either substance and 2-second magnification of the tracing demonstrating the ECG components.....75
- Figure 4 – Mean values recorded in the control group, vehicle control (ethanol), (GRL) 70 $\mu\text{L L}^{-1}$ and Citronellol (CTL) 90 $\mu\text{L L}^{-1}$ in juvenile Tambaqui, *Colossoma macropomum* during 5 minutes of induction, showing comparisons between means of electrocardiographic heart rate (beats min.⁻¹) recordings (A) ; Amplitude averages (mV) (B); Comparison between R-R interval means (seconds) (C); Evaluation of Q-T interval means (seconds) (D); Evaluation of the average duration of the QRS complex (seconds) (E). *** indicates statistical difference for the control; ### indicates statistical difference for the control group Ethanol; +++ Indicates statistical difference for the geraniol group. [ANOVA and Tukey's test ($p < 0.05$, $n = 9$)].....76
- Figure 5 – Electrocardiographic recording (ECG) of Tambaqui, *Colossoma macropomum* in 5-min recovery after (GRL) 70 $\mu\text{L L}^{-1}$ and Citronellol (CTL) 90 $\mu\text{L L}^{-1}$ exposure. The red line indicates magnification of the last 150 seconds of exposure with the substances and 2-second magnification of the tracing demonstrating the ECG components.....77

Figure 6 – Mean values recorded in the control group, vehicle control (Ethanol), (GRL) 70 $\mu\text{L L}^{-1}$ and Citronellol (CTL) 90 $\mu\text{L L}^{-1}$ in juvenile Tambaqui, *Colossoma macropomum* during 5 minutes in recovery. Comparisons were made between means of electrocardiographic heart rate (beats min.⁻¹) recordings (A); Amplitude averages (mV) (B); Comparison between R-R interval means (seconds) (C); Evaluation of Q-T interval means (Seconds) (D); Evaluation of the average duration of the QRS complex (seconds) (E). *** Indicates statistical difference from the controls; ### Indicates statistical differences from the Ethanol control group; +++ Indicates statistical difference from the geraniol group. [ANOVA and Tukey's test ($p < 0.05$, $n = 9$)].....78

ARTIGO 3

Figure 1 – Tambaqui *C. macropomum* midbrain electroencephalographic (EEG) records. (A) Control basal records over 300 s (left); 1-s snapshot amplification (centre), and the spectrogram of frequency showing the distribution of power (right). (B) Ethanol records over 300 s (left); 1-s snapshot amplification (centre), and the spectrogram of frequency showing the distribution of power (right). Amplification of 5000X.....90

Figure 2 – Electroencephalographic (EEG) recordings of the Tambaqui *C. macropomum* midbrain during induction. (A) $\mu\text{L L}^{-1}$ Geraniol records over 300 s (left); 1-s snapshot amplification (centre), and the spectrogram of frequency showing the distribution of power (right). (B) 90 $\mu\text{L L}^{-1}$ Citronellol records over 300 s (left); 1-s snapshot amplification (centre), and the spectrogram of frequency showing the distribution of power (right). Amplification of 5000X.....91

Figure 3 – Electroencephalographic (EEG) recordings of the Tambaqui *C. macropomum* midbrain during recovery. (A) Geraniol (GRL) records over 300 s (left); 1-s snapshot amplification (centre), and the spectrogram of frequency showing the distribution of power (right). (B) Citronellol (CTL) records over 300 s (left); 1-s snapshot amplification (centre), and the spectrogram of frequency showing the distribution of power (right). Amplification of 5000X.....92

Figure 4 – Power spectral density (PSD) of frequencies up to 40 Hz in Tambaqui *C. macropomum* compared with the power averages from the basal control, during geraniol induction (GRL – $\mu\text{L L}^{-1}$) and recovery compared with the power averages of the baseline control (A); and during citronellol induction (CTL – 90 $\mu\text{L L}^{-1}$) and recovery (B); Means of linear power between basal control, ethanol, geraniol induction (GRL – Ind), citronellol induction (CTL – Ind), geraniol recovery (GRL – Rec) and citronellol recovery (CTL – Rec) groups. * indicates statistical differences from the control group; ^ indicates statistical differences from the GRL – Ind group; # indicates statistical differences from the CTL – Ind group; + indicates statistical differences from the CTL – Rec group. (After ANOVA followed by Tukey's test). (*) $P<0.01$; (**) $P<0.001$; (***) $P<0.0001$.(n=9).....93

Figure 5 – Power spectral density (PSD) of frequencies up to 40 Hz in Tambaqui *C. macropomum* compared for the last 30 seconds of the recordings (30 s), total time induction for geraniol (GRL – 70 $\mu\text{L L}^{-1}$) (A); and total time induction for citronellol (CTL – 90 $\mu\text{L L}^{-1}$) (B); Means of linear power between groups of basal control, ethanol, geraniol induction (GRL – Ind), citronellol induction (CTL – Ind), geraniol recovery (GRL – Rec) and citronellol recovery (CTL – Rec) (C). * indicates statistical differences from the control group; + indicates statistical differences from the GRL group; # indicates statistical differences from the CTL group; ^ indicates statistical difference for the CTL group – 30 s (C). (After ANOVA followed by Tukey). (*) $P<0.01$; (**) $P<0.001$; (***) $P<0.0001$, (n=9).....94

ARTIGO 4

Figura 1 – Capacidade antioxidante total contra radicais peroxil nas Brânquias (A); Cérebro (B); Fígado(C); e Músculo (D) de juvenis de Tambaqui, *Colossoma macropomum*, após transporte em diferentes tempo (2, 6 e 10h) na presença ou ausência (Controle) de concentrações sedativas de Geraniol (10,5 $\mu\text{L L}^{-1}$) e Citronelol (13,5 $\mu\text{L L}^{-1}$) na água. Letras maiúsculas na mesma linha indicam diferenças significativas entre os anestésicos dentro do mesmo tempo, enquanto que letras minúsculas na mesma linha, indicam diferenças significativas dentro do mesmo

anestésicos em tempos diferentes. (ANOVA 2 vias, teste de Tukey, $p < 0.05$).....107

Figura 2 – Teor de substâncias reativas tiobarbitúricas (TBARS) Brânquias (A); Cérebro (B); Fígado(C); e Músculo (D) de juvenis de Tambaqui, *Colossoma macropomum*, após transporte em diferentes tempo (2, 6 e 10h) na presença ou ausência (Controle) de concentrações sedativas de Geraniol ($10,5 \mu\text{L L}^{-1}$) e Citronelol ($13,5 \mu\text{L L}^{-1}$) na água. Letras maipusculas na mesma linha indicam diferenças significativas entre os anestésicos dentro do mesmo tempo, enquanto que letras minúsculas na mesma linha, indicam diferenças significativas dentro do mesmo anestésicos em tempos diferentes. Asterisco indicam diferenças em relação ao tempo zero (ANOVA 2 vias, teste de Tukey, $p < 0.05$).....108

Figura 3 – Determinação da atividade de GSH nas Brânquias (A); Cérebro (B); Fígado(C); e Músculo (D) de juvenis de Tambaqui, *Colossoma macropomum*, após transporte em diferentes tempo (2, 6 e 10h) na presença ou ausência (Controle) de concentrações sedativas de Geraniol ($10,5 \mu\text{L L}^{-1}$) e Citronelol ($13,5 \mu\text{L L}^{-1}$) na água. Letras maipusculas na mesma linha indicam diferenças significativas entre os anestésicos dentro do mesmo tempo, enquanto que letras minúsculas na mesma linha, indicam diferenças significativas dentro do mesmo anestésicos em tempos diferentes. Asterisco indicam diferenças em relação ao tempo zero (ANOVA 2 vias, teste de Tukey, $p < 0.05$).....109

Figura 4 – Determinação do teor de grupos sulfidrila associados à proteína (P-SH) em Brânquias (A); Cérebro (B); Fígado(C); e Músculo (D) de juvenis de Tambaqui, *Colossoma macropomum*, após transporte em diferentes tempo (2, 6 e 10h) na presença ou ausência (Controle) de concentrações sedativas de Geraniol ($10,5 \mu\text{L L}^{-1}$) e Citronelol ($13,5 \mu\text{L L}^{-1}$) na água. Letras maipusculas na mesma linha indicam diferenças significativas entre os anestésicos dentro do mesmo tempo, enquanto que letras minúsculas na mesma linha, indicam diferenças significativas dentro do mesmo anestésicos em tempos diferentes. Asterisco indicam diferenças em relação ao tempo zero (ANOVA 2 vias, teste de Tukey, $p < 0.05$).....111

LISTA DE TABELAS

ARTIGO 1

Table 1 – Latencies to induction and recovery stages (seconds \pm SD) in tambaqui, <i>Colossoma macropomum</i> juveniles exposed to anaesthetic concentrations of geraniol (GRL) and citronellol (CTL).....	50
---	----

ARTIGO 4

Tabela 1 – Médias \pm desvio padrão (DP) dos parâmetros de qualidade da água antes e após transporte de juvenis de tambaqui, <i>Colossoma macropomum</i> , em diferentes tempos (2, 6 e 10 horas) com adição ou de não Geraniol ($10,5 \mu\text{L L}^{-1}$) e Citronelol ($13,5 \mu\text{L L}^{-1}$).....	106
---	-----

LISTA DE ABREVIAÇÕES E SIGLAS

ACAP	Capacidade antioxidant total contra radicais peroxil
ANOVA	Análise de Variância
ATP	Adenosina trifosfato
Ca ²⁺	Cálcio
CaCO ₃	Carbonato de cálcio
CEUA	Comitê de Ética no Uso de Animais
Cl ⁻	Cloreto
CNS	Central nervous system
CP	Crude protein
CRT	Controle
CTL	Citronelol
DO	Dissolved oxygen
ECG	Eletrocardiograma
EDTA	Ethylenediaminetetraacetic acid
EEG	Eletroencefalograma
EMG	Eletromiograma
EO	Essential oils
EROs	Espécies reativas de oxigênio
ETN	Etanol
FAO	Organização das Nações Unidas para a Alimentação e a Agricultura
FC	Frequência cardíaca
FR	Frequência respiratória
GABA _A	Ácido gama-aminobutírico tipo A
GRL	Geraniol
GSH	Glutationa
GSSG	Glutationa oxidada
HR	Heart rate
IBGE	Instituto Brasileiro de Geografia e Estatística
IFPA	Instituto Federal de Educação, Ciência e Tecnologia do Pará
Ind CTL	Indução com Citronelol
Ind GRL	Indução com Geraniol

Ind I _{CTL}	Primeira parte da indução com Citronelol
Ind I _{GRL}	Primeira parte da indução com Geraniol
Ind II _{CTL}	Segunda parte da indução com Citronelol
Ind II _{GRL}	Segunda parte da indução com Geraniol
K ⁺	Potássio
LPO	Lipoperoxidação
MDA	Malondealdeído
MS-222	Tricaina metano sulfonato
Na ⁺	Sódio
NaCl	Cloreto de sódio
NMDA	N-metil D-Aspartato
N-NH ₃	Nitrogênio de amônia
N-NO ₂	Nitrogênio de nitrito
NPSH	Tíois não-proteicos
OBI	Opercular beat intensity
OBR	Opercular beat rate
OD	Oxigênio dissolvido
OE	Óleo essencial
PB	Proteína Bruta
PDS	Power spectral distribution
pH	Potencial Hidrogeniônico
P-SH	Tíois proteicos
QRS	Complexo formado pelas Ondas Q, R e S
Q-T	Intervalo entre as ondas Q e T
REC _{CTL}	Recuperação após exposição ao Citronelol
REC _{GRL}	Recuperação após exposição ao Geraniol
ROS	Reactive oxygen species
R-R	Intervalo entre duas ondas R
SH	Grupamento tiol
SNC	Sistema Nervoso Central
TAN	Total ammonia nitrogen
TBARS	Substâncias reativas ao ácido tiobarbitúrico
TCA	Ácido Tricarboxílico
UFPA	Universidade Federal do Pará

ÍNDICE

EPÍGRAFE.....	XVI
DEDICATÓRIA.....	17
AGRADECIMENTOS.....	18
RESUMO GERAL.....	20
ABSTRACT	22
1. INTRODUÇÃO GERAL	24
2. EMBASAMENTO TEÓRICO	27
2.1 Anestésicos na Aquicultura	27
2.1.1 <i>Anestesia e Sedação</i>	28
2.1.2 <i>Transporte</i>	29
2.1.3 <i>Uso de extrativos vegetais</i>	30
2.2 Marcadores Biológicos	32
2.2.1 <i>Indicadores Eletrofisiológicos</i>	32
2.2.2 <i>Bioquímico: Estresse Oxidativo</i>	33
2.3 Modelo Experimental: Tambaqui (<i>Colossoma macropomum</i>)	35
3. OBJETIVO GERAL.....	35
3.1 Objetivos específicos	36
4. REFERÊNCIAS	36
CAPÍTULO 1	46
Abstract	47
1. INTRODUCTION	47
2. MATERIAL AND METHODS.....	50
2.1 <i>Acquisition of the plant constituents</i>	50
2.2 <i>Animals and acclimation period</i>	50
2.3 <i>Experiment I: Behavioural Assessment</i>	51
2.4 <i>Experiment II: Electrophysiological Characterization</i>	51
2.5 <i>Statistical analyses</i>	52
3. RESULTS	53
3.1 <i>Behavioural assessment</i>	53
3.2 <i>Electrophysiological responses</i>	54
3.2.1 <i>Electromyography (EMG)</i>	54
3.2.2 <i>Opercular Beat Intensity (OBI) and Opercular Beat Rate (OBR)</i>	57
3.2.3 <i>Electrocardiographic recordings (ECG)</i>	59
4. DISCUSSION.....	61
5. CONCLUSION	65
REFERENCES	66
CAPÍTULO 2	70
Abstract	71
1. INTRODUCTION	71
2. MATERIAL AND METHODS.....	73
2.1 <i>Animals and acclimation period</i>	73
2.2 <i>Anaesthetic preparation and conservation</i>	74
2.3 <i>Experimental Design</i>	74
2.3.1 <i>Electrocardiogram (ECG) Recordings and Analyses</i>	74
2.4 <i>Statistical analyses</i>	75
3. RESULTS	75
3.1 <i>Electrocardiogram (ECG) and Heart Rate (HR) during induction</i>	75

3.2 <i>Electrocardiogram (ECG) and Heart Rate (HR) during recovery.....</i>	79
4. DISCUSSION.....	81
REFERENCES.....	84
CAPÍTULO 3	89
Abstract	90
1. INTRODUCTION	90
2. MATERIAL AND METHODS.....	92
2.1 <i>Experimental Animals.....</i>	92
2.2 <i>Experimental Design</i>	92
2.3 <i>Implantation of electrodes and acquisition of electroencephalographic recordings</i>	92
2.4 <i>Signal analysis and statistics</i>	93
3. RESULTS	93
4. DISCUSSION.....	98
REFERENCES.....	99
CAPÍTULO 4	102
RESUMO	102
1. INTRODUÇÃO.....	103
2. MATERIAL E MÉTODOS.....	105
2.1 <i>Aquisição dos animais e aclimatação</i>	105
2.2 <i>Delineamento experimental.....</i>	105
2.3 <i>Análises dos parâmetros de qualidade da água</i>	106
2.4 <i>Análises dos Parâmetros de Estresse Oxidativo</i>	106
2.4.1 <i>Coleta e Preparação de Tecidos</i>	106
2.4.2 <i>Proteínas totais</i>	106
2.4.3 <i>Capacidade Antioxidante Total contra radicais peroxil (ACAP)</i>	106
2.4.4 <i>Concentração do antioxidante glutationa reduzida (GSH) e níveis de grupos sulfidrilas proteicos (P-SH)</i>	107
2.4.5 <i>Substâncias reativas ao ácido tiobarbitúrico (TBARS)</i>	107
2.5 <i>Análises estatística</i>	108
3. RESULTADOS	108
3.1 <i>Avaliação dos parâmetros de qualidade da água</i>	108
3.2 <i>Capacidade Antioxidante Total contra radicais peroxil (ACAP)</i>	109
3.3 <i>Concentração do antioxidante glutationa reduzida (GSH) e níveis de grupos sulfidrilas proteicos (P-SH)</i>	111
3.4 <i>Substâncias reativas ao ácido tiobarbitúrico (TBARS)</i>	113
4. DISCUSSÃO	114
REFERÊNCIAS	117
5. CONSIDERAÇÕES FINAIS	120
6. CONCLUSÕES	121

EPÍGRAFE

“Na vida só vale o amor e a amizade. O resto
é tudo pinóia, é tudo presunção, não paga a
pena”

(*Jorge Amado*)

DEDICATÓRIA

Dedico esse trabalho a minha querida avó Cecília Lima (*in memoriam*), mulher forte e guerreira que sempre ajudou sem distinção, principalmente, aqueles que mais precisavam. Mostrou com atitudes que a gente pode fazer diferença na vida de uma pessoa e de uma comunidade inteira. Saudades eternas.

AGRADECIMENTOS

Agradeço primeiramente à Deus, pela força e pela fé que me sustentaram a cada dia, por ter sido meu refúgio quando eu mais precisei, por me acolher quando eu nem sei se merecia, e por permitir que eu concluisse essa última etapa da minha vida profissional.

Aos meus pais, Edmilson João Abreu de Araújo e Rosângela da Silva Lima que tanto amo, por serem exemplos de gratidão, amor e humildade. Escolheria mil vezes vocês. Aos meus irmãos e sobrinhos por sempre serem meu porto seguro.

À Coordenação de Aperfeiçoamento de Pessoal de Nível Superior (CAPES) pela bolsa concedida.

Ao meu orientador Prof. Dr. Luís André de Sampaio, pela oportunidade concedida para orientação, pelo apoio infraestrutural e logístico no desenvolvimento dos trabalhos e por toda a flexibilidade concedida na reorganização desta pesquisa e prazos para finalização dos trabalhos em tempos difíceis de pandemia.

Ao meu co-orientador Prof. Dr. Luis André Luz Barbas, pela amizade e confiança, e pela contribuição em minha formação profissional e pessoal em todos esses anos. Principalmente pelos conselhos, correções, sugestões e paciência na execução e condução desse trabalho. Pelo conhecimento compartilhado.

Ao Laboratório de Aquacultura de Espécies Tropicais (LAET) do IFPA – Castanhal, que desde a minha graduação tem sido meu ponto de apoio e dessa vez, mais do que nunca. Foi onde fiz acontecer tudo o que realizei nesses 4 anos. Agradeço também ao Prof. Dr. Marcelo Ferreira Torres pela amizade, ajuda e conselhos. Aos estagiários pela colaboração durante os experimentos, sem eles seria uma atividade quase impossível de se realizar.

Ao Laboratório de Farmacologia e Toxicologia de Produtos Naturais (LFTPNA) da UFPA – Belém, principalmente ao Prof. Dr. Moisés Hamoy, por todo o aprendizado, disponibilidade e orientação nas análises que possibilitaram a concretização da maior parte desse trabalho de tese.

Ao BIFOA e à toda equipe, principalmente ao Prof. Dr. José Monserrat, que me acolheram inicialmente, e onde pude executar parte da minha tese.

Ao LAPEM e à toda equipe do laboratório, pela acolhida nesses 4 anos de doutorado, pelas trocas e momentos de descontração e trabalhos compartilhados.

Ao IFPA – Campus Castanhal, principalmente aos Prof Me. Roberto Dias (*in memoriam*) e ao Prof. Dr. Adebaro Reis, pela solicitude e por disponibilizarem a infraestrutura necessária para realização deste projeto.

À Micheli Castro que além da amizade me adotou como parte da família junto com a Júlia Moura e Beatriz Fillmann e desde o primeiro dia que conheci já guardei no escaninho do meu coração, onde irão permanecer pra sempre comigo. Sou tão grata por ter conhecido vocês e por ter convivido com vocês. Foram tantos momentos bons, que me fazem sorrir com o coração quando lembro, que sorte a minha.

Às grandes amizades que fiz na FURG e tenho certeza que permanecerão. Em especial àquelas que marcaram de um jeito único esses 4 anos no Cassino: Ana Paula Moraes, Anieli Maraschi, Cynthia Couto, Elisa Prates, Fabiane Serra, Flávia Banderó, Inácio Alves, Joel Linares, Joseane Marques, Lucas Maltez, Missylene Xavier, Wéllica Reis.

As minhas amigas que sempre estão comigo, apoiando e incentivando, e mesmo longe gostaríamos de estarmos perto, e quando esse dia chega, o sentimento é sempre o mesmo: Andreza Albuquerque, Bianca Pires, Brenda Maria, Denise Cunha, Elisi Monteiro, Maria Vanessa Silva, Maryjane Gomes, Nayara Olivera, Nicole Monteiro, Rose Menezes, Sriley Nascimento, Tatiane Mendes e Tatiana Monteiro.

Aos professores do PPGAqui-EMA – FURG e funcionários da Estação Marinha, e a todos que contribuíram para a realização deste trabalho, direta ou indiretamente, e que estiveram sempre presentes nos bons e maus momentos, meus sinceros agradecimentos.

RESUMO GERAL

O estudo de novos agentes anestésicos permitirá a proposição de fármacos alternativos que sejam eficazes, potencialmente menos onerosos, sem prescindir da segurança e eficácia necessárias, com ação rápida sobre o sistema nervoso e sem complicações posteriores para o animal. Em peixes, a atividade anestésica do óleo essencial (OE) de citronela foi comprovada, no entanto, não há informações na literatura referente a qual ou quais constituintes majoritários deste óleo seriam os responsáveis pelos efeitos biológicos e comportamentais observados em juvenis anestesiados. Neste sentido, o objetivo deste estudo foi avaliar a eficácia anestésica dos fitoconstituintes isolados do OE de citronela, geraniol (GRL) e citronelol (CTL) em juvenis de tambaqui, *Colossoma macropomum*, através da verificação dos tempos de indução e recuperação por ensaios de concentração-resposta, além de avaliar seus efeitos sobre o comportamento, modulação do tônus muscular, frequência e ritmo cardiorrespiratórios, potencial cardiotóxico, capacidade de determinar depressão neuronal central e balanço oxidativo. Para a **avaliação da anestesia e recuperação (Capítulo 1)**, a eficácia anestésica do GRL e CTL foi através da caracterização comportamental e a avaliação de marcadores eletrofisiológicos. Os peixes ($24,78 \pm 2,50$ g) foram divididos em dois grupos experimentais: I – Avaliação Comportamental: Foram testadas seis concentrações (10; 30; 50; 70; 90; e $110 \mu\text{L L}^{-1}$) para cada composto, onde foram encontradas as concentrações efetivas para ambos os produtos ($70 \mu\text{L L}^{-1}$ GRL e $90 \mu\text{L L}^{-1}$ CTL). II – Caracterização Eletrofisiológica: as concentrações determinadas no primeiro experimento foram utilizadas para os registros de EMG, ECG, intensidade e frequência do batimento opercular (OBI e OBR) e frequência cardíaca (FC).

Nossos resultados demonstraram que o GRL e CTL promoveram a imobilização total do corpo, apresentaram propriedades miorrelaxantes, com alterações, mas sem comprometimento da função cardíaca. Na **caracterização cardiológica e potencial cardiotóxico (Capítulo 2)**, foram avaliadas as mudanças nos padrões de resposta cardíaca dos animais expostos ao GRL e CTL e durante a recuperação. Os juvenis de tambaqui ($13,9 \pm 1,4$ g) foram expostos às mesmas concentrações determinadas no primeiro capítulo, e os registros eletrocardiográficos (ECG) tiveram duração de cinco minutos. Foram investigados os parâmetros frequência cardíaca (FC) (batimentos min.⁻¹), registro de amplitude (mV), intervalo RR (s), intervalo QT (s) e duração do complexo QRS (s). Os animais expostos ao GRL apesar de apresentarem efeito cronotrópico negativo, mantiveram o ritmo sinusal. Já quando expostos ao CTL, foram observadas

1 bradicardia acentuada e arritmia, que se mostraram reversíveis quando na recuperação, que se
2 mostrou rápida para ambos os anestésicos. Para a **avaliação da depressão neuronal (Capítulo**
3), a fim de observar o aprofundamento anestésico e a reversibilidade dos efeitos promovidos
4 pelo GRL e CTL sobre o SNC, os peixes ($35,2 \pm 9,4\text{g}$) foram expostos aos anestésicos e os
5 registros de EEG de indução e recuperação foram realizados por 300 segundos. Foram
6 observadas irregularidades nos traçados, no entanto, o GRL permitiu traçado regular, já os
7 animais expostos ao CTL apresentarem traçados incompatíveis com uma condição de anestesia
8 adequada. Para a **avaliação do balanço oxidativo durante o transporte em sedação**
9 (**Capítulo 4**), os animais ($26,97 \pm 3,73\text{ g}$) foram submetidos ao transporte simulado por 2, 6 e
10 10 horas, utilizando doses sedativas correspondendo à 15% da dose efetiva encontradas no
11 primeiro capítulo desse trabalho (GRL – $10,5 \mu\text{L L}^{-1}$ e CTL – $13,5 \mu\text{L L}^{-1}$). Ao final do
12 transporte foram avaliados a capacidade antioxidante (ACAP), concentração da glutationa
13 (GSH) e grupo sulfidrila (P-SH) e os níveis de peroxidação lipídica (TBARS) em brâquias,
14 cérebro, fígado e músculo. Nas brâquias foram encontradas as maiores concentrações de GSH
15 e P-SH na presença dos anestésicos. Por outro lado, os níveis de LPO foram consideravelmente
16 maiores no músculo dos animais transportados com adição de CTL na água, independente do
17 tempo de transporte. Concluímos que GRL adicionado à água de transporte em doses sedativas,
18 seria uma boa opção para mitigar danos oxidativos principalmente nas brâquias. Por outro
19 lado, o CTL demonstrou ação pró-oxidante, com altos níveis de LPO no músculo dos animais
20 pós-trasnporte.

21

22 Palavras chaves: fitoconstituintes, eletrofisiologia, EMG, ECG, FR, OBI, EEG, estresse
23 oxidativo, EROs, transporte, sedação

ABSTRACT

The study of new anaesthetics will allow for the proposition of alternative drugs that are effective, potentially less expensive, without giving up the necessary safety and efficacy, with rapid action on the central nervous system and without further complications to the animal. In fish, the anaesthetic activity of citronella essential oil (EO) has been proven, however, there is no information in literature on which major constituents of this oil would be responsible for the biological and behavioural effects observed in anesthetized fish. In this sense, the objective of this study was to evaluate the anaesthetic efficacy of the isolated phytoconstituents from the EO of citronella, geraniol (GRL) and citronellol (CTL) in juvenile tambaqui, *Colossoma macropomum*, through concentration-response trials during induction and recovery, in addition to evaluating its effects on behaviour, modulation of muscle tone, cardiorespiratory rate and rhythm, cardiotoxic potential, ability to determine central neuronal depression and oxidative balance. For the **assessment of anaesthesia and recovery (Chapter 1)**, the anaesthetic efficacy of GRL and CTL was assessed through behavioural characterization and the assessment of electrophysiological markers. The fish (24.78 ± 2.50 g) were divided into two experimental groups: I – Behavioural Assessment: Six concentrations were tested (10; 30; 50; 70; 90; and $110 \mu\text{L L}^{-1}$) for each compound, whereby effective concentrations were found for both products ($70 \mu\text{L L}^{-1}$ GRL and $90 \mu\text{L L}^{-1}$ CTL). II – Electrophysiological Characterization: the concentrations found in the first experiment were used to record EMG, ECG, intensity, and frequency of the opercular beat (OBI and OBR) and heart rate (HR).

Our results demonstrated that GRL and CTL promoted whole body immobilization, presented myorelaxant properties, showed some alterations, but without compromise to the cardiac function. In the **Cardiological characterization and cardiotoxic potential (Chapter 2)**, changes in cardiac response patterns of animals exposed to GRL and CTL and during recovery were evaluated. Tambaqui juveniles (13.9 ± 1.4 g) were exposed to the same concentrations determined in the first chapter, and the electrocardiographic recordings (ECG) were made for five minutes. The parameters heart rate (HR) (beats min.⁻¹), amplitude of the record (mV), RR interval (s), QT interval (s) and QRS duration (s) were investigated. The animals exposed to GRL, despite having a negative chronotropic effect, maintained the sinus rhythm. When exposed to CTL, marked bradycardia and arrhythmia were observed, which proved to be reversible during recovery, which was rapid for both anaesthetics. For **neuronal depression assessment (Chapter 3)**, in order to observe the anaesthetic deepening and the reversibility of

1 the effects promoted by the GRL and CTL on the CNS, the fish (35.2 ± 9.4 g) were exposed to
2 anaesthetics and the induction and recovery EEG recordings were performed for 300 seconds.
3 Irregularities were observed in the tracings, however, while GRL allowed for a regular tracing,
4 the animals exposed to CTL presented tracings incompatible with an adequate anaesthesia
5 condition. For **oxidative balance assessment during transport in sedation (Chapter 4)**, the
6 animals (26.97 ± 3.73 g) were submitted to simulated transport for 2, 6 and 10 hours, using
7 sedative doses corresponding to 15% of the effective dose found in the first chapter of this study
8 (GRL – $10.5 \mu\text{L L}^{-1}$ and CTL – $13.5 \mu\text{L L}^{-1}$). At the end of transport, antioxidant capacity
9 (ACAP), concentration of glutathione (GSH) and sulphhydryl group (P-SH), and levels of lipid
10 peroxidation (TBARS) in gills, brain, liver and muscle were evaluated. In gills, the highest
11 concentrations of GSH and P-SH were found in the presence of anaesthetics. On the other hand,
12 LPO levels were considerably higher in muscle of animals transported with the addition of CTL
13 in water, regardless of transport time. We concluded that GRL added to the transport water in
14 sedative doses would be a good option to mitigate oxidative damage mainly in gills whereas
15 CTL demonstrated a pro-oxidant action, determining high levels of LPO in the muscle of fish
16 post-transport.

17

18 Keywords: phytoconstituents, electrophysiology, EMG, ECG, HR, OBI, EEG, oxidative stress,
19 ROS, transport, sedation

20

21

1 **1. INTRODUÇÃO GERAL**

2 A contribuição da aquicultura para a produção global de animais aquáticos atingiu um
3 recorde de 49,2% no ano de 2020. Mesmo com a diversidade de espécies cultiváveis, essa
4 contribuição ainda parte de um pequeno número de espécies que dominam a produção aquícola
5 (FAO, 2022). No Brasil, de acordo com dados do IBGE (2020), a produção total da aquicultura
6 foi de mais de 643 mil toneladas, sendo que a produção de peixes ultrapassou 553 mil toneladas.
7 Neste cenário, o tambaqui (*Colossoma macropomum*) se manteve como a segunda espécie de
8 peixe mais cultivada no país, atrás apenas da tilápia (*Oreochromis niloticus*), que segue como
9 a principal espécie produzida em todas as regiões brasileiras, exceto no Norte. Vale ressaltar a
10 elevada importância em termos de valor bruto de receita com a comercialização do tambaqui,
11 que foi 2,4 vezes superior ao recebido pelo tilapicultor (IBGE, 2020).

12 Notadamente, esforços são necessários na promoção de espécies nativas de água doce
13 como o tambaqui. Esta espécie é nativa do rio Amazonas, Orinoco e seus afluentes, sendo
14 comum em lagos de várzea e se caracteriza por sua rusticidade, resistência a doenças e índices
15 zootécnicos satisfatórios, atributos que foram essenciais para o aprimoramento de técnicas que
16 viabilizassem a sua criação (Araujo-Lima e Goulding, 1998; Baldisserotto, 2018; Gomes et al.,
17 2010).

18 Outras características do tambaqui também fizeram com que o mesmo fosse
19 recentemente reforçado como um bom modelo experimental, sendo ao mesmo tempo uma
20 espécie resistente ao manuseio e sensível a testes de avaliação da eficácia anestésica,
21 antiestressante e antioxidante de novos produtos para uso em peixes (Barbas et al., 2016; Barbas
22 et al., 2017a,b; De Souza et al., 2018). Alguns estudos relativos à anestesia de juvenis de
23 tambaqui já existem na literatura (Roubach e Gomes, 2001; Façanha e Gomes, 2005; Barbas et
24 al., 2016; Barbas et al., 2017a,b,c; Barbas et al., 2019; De Souza et al., 2019; Barbas et al., 2019;
25 Barbas et al., 2021).

26 Considerando a necessidade de se produzir mais e de maneira mais eficiente, as
27 práticas de manejo se intensificaram na produção aquícola, exigindo um maior controle físico
28 dos animais durante o manuseio para a reprodução induzida, biometria e também durante o
29 transporte. Essas práticas quando mal executadas acabam gerando estresse nos animais que
30 pode resultar em imunossupressão, doenças e, consequentemente, mortalidades (Coyle et al.,
31 2004; Façanha e Gomes, 2005; Ross e Ross, 2008; Vidal et al., 2008). Ademais, questões
32 relacionadas ao bem-estar de peixes estão sendo cada vez mais amplamente discutidas, logo, a
33 utilização de produtos anestésicos e antiestressantes para auxílio à piscicultura tem aumentado,

1 no intuito de reduzir os níveis de estresse, inclusive o oxidativo, ao mesmo tempo em que
2 assegura aumento da sobrevivência, incremento da produtividade, promove bem-estar e garante
3 respeito às questões relativas a ética animal (Sneddon, 2012).

4 De acordo com Sylvester (1975), um anestésico deve apresentar ação rápida sobre o
5 sistema nervoso, sem complicações posteriores para o peixe, sendo que sua escolha,
6 geralmente, está relacionada com a viabilidade econômica e alguns condicionantes legais. Essas
7 substâncias se caracterizam por promoverem, de forma reversível, depressão do sistema
8 nervoso central, miorrelaxamento resultando em perda da percepção e da resposta aos estímulos
9 ambientais. Apesar de difundido o uso de anestésicos em peixes, seus mecanismos de ação no
10 sistema nervoso central (SNC) desses animais ainda são relativamente desconhecidos.

11 Neste contexto, produtos químicos como a o sulfato de quinaldina, a benzocaína e
12 metanossulfonato de tricaina (MS-222) por muito tempo foram os mais utilizados como
13 anestésicos para peixes, apesar dos relatos de alguns causarem efeitos indesejáveis tais como
14 irritabilidade, perda de muco, danos às córneas e, contrariamente, promoverem estresse
15 (Svoboda e Kolavora, 1999; Inoue et al., 2003; Ross e Ross, 2008; Heo e Shin, 2010; Pawar et
16 al., 2011), com alterações metabólicas e, consequentemente, afetando o desempenho dos
17 peixes.

18 Ainda assim, a expectativa é que o uso de anestésicos pode reduzir os danos
19 ocasionados pelo estresse, atenuando a resposta fisiológica. Diversos indicadores têm sido
20 validados para a avaliar a intensidade do estresse, tais como os bioquímicos e fisiológico como,
21 os parâmetros hematológicos e de osmolaridade (Mazeaud et al., 1981; Barbas et al., 2016;
22 Barbas et al., 2017b; Maltez et al., 2017; Barbas et al., 2020). No entanto, a condição anestésica
23 ainda tem se baseado apenas na questão visual. Mais recentemente, estudos eletrofisiológicos
24 têm sido usados para corroborar a avaliação comportamental normalmente reportada na
25 literatura como metodologia de avaliação de anestesia e sedação em peixes (Barbas et al.,
26 2017a; De Souza et al., 2019; Cantanhêde et al., 2020; De Araújo et al., 2021; Costa et al.,
27 2022)

28 De acordo com Dellatre (2007), um grande número de fenômenos biológicos
29 importantes é acompanhado de manifestações elétricas celulares associadas à mecanismos de
30 transporte com permeabilidade seletiva de íons (K^+ , Ca^{2+} , Na^+ e Cl^-) participantes da geração
31 do potencial de membrana nas células em geral. Esses íons fluem através de diferentes canais
32 presentes nos seres vivos, sendo responsáveis pela transmissão elétrica em todo o sistema
33 nervoso participando de inúmeros processos fisiológicos e bioquímicos (Mudado et al., 2003).

1 A avaliação do eletromiograma, eletroencefalograma, da frequência e ritmos
2 cardiorrespiratórios possibilitam um entendimento mais detalhado dos fenômenos
3 farmacológicos em animais expostos à anestésicos gerais. Para procedimentos mais invasivos
4 como cirurgias ou eutanásia, o registro desses marcadores possibilita a avaliação dos efeitos de
5 depressão sobre o poder de contração muscular e o sistema nervoso central, o que caracteriza
6 em última instância, a eficácia de um produto como anestésico geral. O monitoramento
7 cardiorrespiratório permite avaliar a compatibilidade do anestésico com a vida e os impactos
8 envolvidos para esses sistemas orgânicos vitais (Barbas et al., 2017a; De Souza et al., 2019;
9 Vilhena et al., 2019; De Araújo et al., 2021; Costa et al., 2022).

10 Por outra perspectiva, o estresse pode ser avaliado por indicadores bioquímicos, pela
11 resposta de tecidos à liberação de espécies reativas de oxigênio (ERO) e a mudança do potencial
12 redox. Quando em excesso, as ERO promovem um desequilíbrio entre os sistemas pró e
13 antioxidantes, em que predomina o pró-oxidante, com danos celulares, quando sua acumulação
14 vai além da capacidade de defesa dos sistemas antioxidantes do organismo, resultando em uma
15 situação de estresse oxidativo (Halliwell e Gutteridge, 2007; Bisbal et al., 2010 Lushchak, 2011;
16 Liang et al., 2016). Nos peixes, podem determinar elevação da peroxidação lipídica no tecidos,
17 causando danos às membranas lipídicas (Modesto e Martinez, 2010). Apesar da anestesia ser
18 capaz, em muitos casos, de mitigar alterações bioquímicas e fisiológicas em peixes, o próprio
19 anestésico pode, paradoxalmente, induzir efeitos que causem perturbação de parâmetros
20 bioquímicos e de estresse oxidativo (Velisek et al., 2011).

21 Diversos estudos têm demonstrado vantagens na utilização dos extrativos vegetais
22 (óleos essenciais, extratos aquosos, etanólicos e cerosos de plantas, etc...) como alternativos às
23 substâncias químicas, uma vez que, em tese, são menos prejudiciais ao meio ambiente e à saúde
24 do homem devido as suas propriedades bioativas e biodegradáveis (Inoue et al., 2005; Parodi
25 et al., 2012; Barbas et al., 2016; Barbas et al., 2017a,b). Além da sua eficácia na indução
26 anestésica, a utilização de extratos vegetais tem como vantagem a diminuição do estresse e a
27 potencial proteção contra danos oxidativos (Dias et al., 2012; Parodi et al., 2012; Barbas et al.,
28 2016; Barbas et al., 2017b).

29 Deste modo, o estudo de produtos naturais, a exemplo dos extrativos vegetais,
30 permitirá para além da investigação sobre os potenciais efeitos anestésicos, a avaliação do
31 potencial antiestressante. Ainda, aliada à eficácia farmacológica, o produto natural candidato a
32 anestésico e/ou antiestressante, poderá ser menos oneroso comparativamente às drogas
33 sintéticas, sem que prescinda da segurança e eficácia necessárias, determinando ação rápida

1 sobre o sistema nervoso central e sem complicações posteriores para o animal (Cho e Heath,
2 2000; Gonçalves et al., 2008).

3 O capim citronela, *Cymbopogon nardus*, é uma planta originada do Sri Lanka e da
4 Índia, utilizada em infusões como chá calmante e digestivo (Mahalwal e Ali, 2003; Castro et
5 al., 2007). Apresenta propriedades antibacterianas e antioxidantes in vitro (Park et al., 2015).
6 Em peixes, sua atividade anestésica foi comprovada por Barbas et al (2017a) ao anestesiari
7 juvenis de tambaqui com óleo essencial (OE) de citronela. No entanto, não há informações na
8 literatura referente a qual constituinte majoritário deste óleo seria o responsável pelos efeitos
9 biológicos e comportamentais observados nos juvenis anestesiados ou, ainda, se tais efeitos são
10 decorrentes de sinergia entre seus fitoconstituíntes.

11 Entre os compostos químicos majoritários do *C. nardus*, estão os monoterpenos:
12 citronelol e geraniol, que são responsáveis pelo odor característico do OE (Castro et al., 2010).
13 Além do uso desses compostos em vários produtos comerciais, incluindo cosméticos e
14 fragrâncias, o geraniol exerceu ampla atividade farmacológica como anti-inflamatório, anti-
15 oxidante, anti-ulcerativo, neuroprotetor, ação acaricida, atividade antisséptica inibindo o
16 crescimento de fungos e bactérias (Martins, 2006; Solorzano-Santos e Miranda-Novales, 2012),
17 além de potencial citoprotetor e antioxidante em modelos animais submetidos à estresse
18 oxidativo (Tiwari e Kakkar, 2009). O citronelol demonstrou atividade inibitória e bactericida
19 (Lopez-Romero et al., 2015) além de efeito antifúngico, antiespasmódico, analgésico e
20 anticonvulsivante (De Sousa et al., 2006; Quintans-Jfflnior, 2008).

21 Não existem informações na literatura, anteriormente a este trabalho, que tenham
22 investigado o potencial desses dois isolados, citronelol e geraniol, para peixes como anestésicos
23 e antioxidantes. Ambos os isolados poderão funcionar como importantes alternativas,
24 facilitando o manejo de peixes e atuando como importantes mitigadores de estresse.

25

26 **2. EMBASAMENTO TEÓRICO**

27 *2.1 Anestésicos na Aquicultura*

28 Os anestésicos têm sido utilizados na aquicultura a fim de garantir a supressão da dor
29 e melhorar as condições de “bem-estar”, partindo-se da premissa que peixes são animais
30 sencientes (Sneddon, 2003). Além disso, são utilizados para mitigar os efeitos deletérios
31 decorrentes do estresse de manejos necessários. São utilizados na produção aquícola e para a
32 imobilização dos animais com o objetivo de facilitar o manuseio durante os procedimentos de

1 despesa, biometria, reprodução artificial, desova e transporte. São importantes quando do
2 manuseio de modelos experimentais animais, que são mantidos para fins de pesquisa e que
3 requerem manejo constante, por muitas vezes exigindo procedimentos invasivos e um estado
4 de inconsciência (Sylvester, 1975; Ackerman et al., 1990; Coyle et al., 2004; Lambooij et al.,
5 2006; Weber et al., 2008; Zahl et al., 2012; Sneddon, 2003, 2012; Ghisi e Oliveira, 2016;
6 Readman et al., 2017).

7 Neste sentido, para um anestésico ser considerado eficiente, além de ter baixo custo,
8 ser atóxico, e de fácil administração, este deve induzir a anestesia rapidamente com o mínimo
9 de hiperatividade ou estresse, com recuperação rápida em uma condição o mais livre possível
10 de estresse (Ross e Ross, 2008). Por isso, a concentração ideal de um anestésico e o tempo de
11 anestesia, são de extrema importância, umas vez que podem afetar diretamente o tempo de
12 recuperação/retorno.

13 As concentrações efetivas de um anestésico são avaliada pelo tempo de indução e
14 tempo de recuperação (Falahatkar e Poursaeid, 2017). Através da análise comportamental, um
15 anestésico promove mudanças comportamentais visíveis, devendo a indução ocorrer antes de 3
16 minutos e a recuperação em até 5 minutos, sendo 10 minutos como o limite máximo ideal para
17 o tempo na recuperação (Marking e Meyer, 1985; Park et al., 2008; Ross e Ross, 2008). De
18 acordo com Park et al. (2008), os estágios de anestesia incluem a agitação, perda de equilíbrio
19 e paralisia completa dos movimentos com batimento opercular mínimo ou ausente. No retorno,
20 o primeiro estágio é o restabelecimento do equilíbrio seguido da natação normal quando o
21 animal é considerado recuperado.

22 2.1.1 Anestesia e Sedação

23 Os anestésicos atuam diretamente no sistema nervoso central (SNC) dos peixes,
24 considerando que diferentemente dos demais invertebrados, as vias de admnistração para esses
25 animais são distintas, uma vez que geralmente são anestesiados por banhos de imersão onde o
26 anestésico é absorvido pelas brânquias e assim entra na corrente sanguínea até o SNC,
27 bloqueando algumas ações reflexas (Burka et a., 1997; Treves-Brown, 2000; Sladky et al.,
28 2001; Woody et al., 2002; Ross e Ross, 2008; Zahl et al., 2009; Barbas et al., 2016). Neste
29 sentido, a dosagem e a concentração utilizadas, bem como o tempo de exposição, são
30 determinantes para determinar a sedação, anestesia ou óbito (Coyle et al., 2004).

31 De acordo com Zahl et al (2012), a sedação é caracterizada pela diminuição da
32 sensibilidade, e já a anestesia geral ocorre quando o animal atinge um estado de inconsciência,

1 imobilização e alívio da dor. Quando ocorre a perda completa ou parcial dos sentidos devido à
2 depressão generalizada do SNC, o manuseio do animal durante procedimentos mais invasivos
3 é facilitado, por isso, de preferência, devem ser acompanhados de relaxamento muscular
4 efetivo, uma vez que em anestesia profunda os animais estão disponíveis para procedimentos
5 rápidos e seguros (Ross and Ross, 2008; Uehara et al., 2019).

6 De modo geral, as concentrações consideradas ideais são determinadas em função do
7 tempo de indução e de recuperação e quando em baixas concentrações ou em situação de
8 anestesia superficial, os anestésicos podem ser utilizados como sedativos. Nessas condições,
9 ocorre perda parcial de equilíbrio e supressão da reação à estímulos externos (Cooke et al.,
10 2004; Barbas et al., 2017).

11

12 2.1.2 Transporte

13 O transporte de peixes pode ser realizado em sistema aberto ou fechado (e.g., sacos
14 plásticos), e é considerada prática rotineira das mais importantes no manejo e no processo de
15 produção. Por ser considerado um momento crítico, exige cuidados, sendo um estressor
16 importante na aquicultura e que impacta o sucesso da recria, por exemplo. A captura, as
17 mudanças de temperatura, a duração, a densidade, além do próprio transporte são fatores
18 potencialmente perturbadores da homeostase (Gomes et al, 2003; Carneiro et al., 2002; Barbas
19 et al., 2017c).

20 No Brasil, o transporte mais utilizado é o sistema fechado, que é realizado em sacos
21 plásticos de polietileno com um terço do volume útil preenchido com água e dois terços com
22 injeção de oxigênio puro (Berka, 1986; Bendhack, 2004; Sampaio e Freire, 2016). Essas
23 condições podem desencadear diversos tipos de estresse, tanto fisiológico que consiste nas
24 alterações nos processos metabólicos, osmorregulatórios, inflamatórios e imunológicos dos
25 organismos, quanto estresse comportamental, com tentativa de fuga, natação errática e
26 acelerada, que são ocasionados por altos níveis de vibração, choques repentinos e ruídos
27 elevados que ocorrem normalmente no momento do transporte (Ross e Ross, 2008). Tais fatores
28 exigem a adoção de procedimentos eficazes e capazes de assegurar o bem-estar e sobrevivência
29 dos animais durante todo o trajeto.

30 Uma alternativa adotada para mitigar o estresse fisiológico durante o transporte é o
31 uso do cloreto de sódio (NaCl) dissolvido na água do transporte, proporcionando um equilíbrio
32 osmótico entre o animal e o meio (Barton e Peter, 1982; Gomes et al., 2003; Oliveria et al.,

1 2009). Entretanto, não há efeito sedativo propriamente quando do uso de sal. Nesse sentido, o
2 uso de anestésicos sintéticos e naturais tem sido bastante difundido (Gomes et al., 2003;
3 Bendhack, 2004; Anjos et al., 2007; Oliveira et al., 2009). Quando em doses sedativas, o
4 anestésico pode ser suficiente para diminuir o estresse no transporte de peixes considerando
5 que este não é procedimento invasivo (Sneddon, 2012; Barbas et al., 2017c, 2019).

6 Quando em baixas concentrações, o uso do anestésico é capaz de diminuir a
7 sensibilidade a estímulos visuais e mecânicos, onde o animal tem sua atividade reduzida,
8 mantendo o equilíbrio parcial e a capacidade de natação, sendo uma condição considerada ideal
9 para o transporte uma vez que reduz o metabolismo (consumo de oxigênio dissolvido), o
10 estresse e também evita danos físicos (Cooke et al., 2004; Coyle et al., 2004; De Souza et al.,
11 2019).

12 2.1.3 Uso de extrativos vegetais

13 Os anestésicos para peixes podem ser divididos em produtos sintéticos e naturais (à
14 base de plantas) (Zahl et al., 2010; Aydin e Barbas, 2020). Dentre os anestésicos sintéticos
15 usados extensamente na aquicultura estão a benzocaína, que se torna uma opção por ser de fácil
16 obtenção e baixo custo, e o metanossulfonato de tricáína (MS-222) esse composto causa
17 depressão no sistema nervoso central e hipóxia, paralisando os peixes (Gomes et al., 2001;
18 Popovic et al., 2012; Sneddon 2012; Vera et al., 2013).

19 No entanto, o efeito desses anestésicos como redutores de estresse em peixes durante
20 o manejo se mostrou contraditório, pois reações adversas aos próprios anestésicos têm sido
21 observadas em peixes expostos à essas substâncias. Vários estudos reportaram efeitos
22 indesejáveis durante banhos anestésicos em peixes, como alterações nos parâmetros
23 bioquímicos e de estresse oxidativo, perda de muco, irritação de brânquias e olhos, e também
24 alguns desconfortos para os manipuladores (Velisek et al., 2011; Fujimoto et al., 2017; Roubach
25 e Gomes, 2001), tornando o uso de anestésicos naturais uma alternativa aos tradicionais.

26 Nos últimos anos diversas pesquisas com o uso de produtos naturais com baixa ou
27 nenhuma toxicidade como os extrativos vegetais (óleos essenciais - OE), extratos aquosos,
28 etanólicos e cerosos de plantas) têm sido usados como anestésicos e sedativos para peixes
29 (Inoue et al., 2005; Morais et al., 2012; Parodi et al., 2012; Barbas et al., 2016; Santos et al.,
30 2016; Barbas et al., 2017a,b; De Souza et al., 2019). Embora os OE tenham sido usados com
31 sucesso para anestesia em peixes e aparentemente com poucos riscos de intoxicação, alguns
32 estudos alertaram que essas substâncias devam ser avaliadas também com bastante critério,

1 como no caso do eugenol. Embora essa substância, derivada de uma planta, seja a mais
2 amplamente usada na anestesia de peixes (Cho e Heath, 2000; Cooke et al., 2004; Inoue et al.,
3 2011; Simões et al., 2011; Oliveira et al., 2009), estudos demonstraram efeito adverso
4 importante, com os peixes apresentando comportamento convulsivo e epileptiforme durante
5 exposição ao eugenol (Barbas et al., 2021). Outros produtos derivados de plantas também tem
6 sido explorados quanto a sua adequação para o manejo de peixes (Façanha e Gomes, 2005;
7 Barbas et al., 2016; Barbas et al., 2017a,b; Souza et al., 2019; Vilhenta et al., 2019; Barbas et
8 al., 2019; De Araújo et al., 2021; Costa et al., 2022).

9 Em geral, os efeitos farmacológicos dos OE e seus mecanismos de atuação no SNC de
10 peixes ainda são bastante desconhecidos, podendo ser resultado direto de um único composto
11 principal, interações de substâncias ou com efeito sinérgico dos fitoconstituintes (Heldwein et
12 al., 2014; Cunha et al., 2017). Mudanças no tipo e na proporção de substâncias ativas nos OE
13 são responsáveis por diferenças significativas nos efeitos sedativos e anestésicos. Vale ressaltar
14 que os OE contém várias substâncias e a composição e concentração dos componentes dos
15 óleos essenciais podem variar devido a fatores ecológicos e as condições edafoclimáticas,
16 refletindo diretamente nas propriedades funcionais, até mesmo em plantas de mesma espécie
17 (Steffens, 2010).

18 Por muito tempo o uso de extratos vegetais ou seus isolados, como os OEs, têm sido
19 usados na indústria farmacêutica devido as suas diversas atividades, antibacteriana, analgésica
20 e antioxidante. Os OE são substâncias voláteis, lipofílicas que se caracterizam por um forte
21 odor, já que são comumente encontradas em plantas aromáticas. São substâncias complexas e
22 com vários componentes, principalmente por terpenos, entre eles, estão os do tipo mono, que
23 são moléculas voláteis que desempenham múltiplos papéis na biologia da planta (Tholl et al.,
24 2004). São substâncias amplamente utilizadas nas indústrias farmacêutica por apresentar
25 diversas atividades biológicas (Bastos et al., 2009; Menezes et al., 2010a,b; Lima et al., 2013;
26 Santos et al., 2016) e recentemente estão sendo prospectados como anestésicos para peixes (De
27 Araújo et al., 2021). Dentre os compostos encontrados em OE de plantas, destacam-se o
28 geraniol e o citronelol, que são monoterpenos quimicamente relacionados e encontrados em
29 diversos OE incluindo o de *Cymbopogon nardus*.

30 O geraniol é um álcool terpeno primário, acíclico, insaturado que apresenta odor e
31 sabor floral por isso, é amplamente usado como fragrância e sabor na indústria alimentícia.
32 Diversos estudos já mostraram os efeitos farmacológicos desse composto, como antifúngico,
33 neuroprotetor, hepatoprotetor, além de efeito antiflamatório e antioxidante, inibindo a resposta

1 inflamatória e do estresse oxidativo e promovendo o metabolismo de células inflamatórias e
2 aumentando o conteúdo de GSH e estimulando as atividades de enzimas antioxidantes; e
3 também como antiaritmico em modelos de mamíferos (Martins, 2006; Tiwari e Kakkar, 2009;
4 Chen e Viljoen, 2010; Solorzano-Santos and Miranda-Novales, 2012). O citronelol é um álcool
5 acíclico natural e já mostrou efeitos cardioprotetores além de alguns efeitos farmacológicos
6 como antifúngico, antiespasmódico, hipotensivo, vasorelaxante e atividade anticonvulsivante
7 descrita (Bastos et al., 2009; Brito et al., 2012 Santos et al., 2019; Menezes et al., 2010).

8 De modo geral, é notória a aceitação que os produtos naturais tem ganhado nos últimos
9 anos, sendo promissores como alternativas para uso na aquicultura em substituição a algumas
10 drogas sintéticas que comprovadamente apresentaram efeitos adversos.

11 2.2 Marcadores Biológicos

12 Por muitos anos, a avaliação da anestesia em peixes tem se baseado, equivocadamente,
13 apenas na análise visual do comportamental como uma metodologia padrão, o que não
14 comprova a anestesia geral, analgesia ou miorrelaxamento. Atualmente, sabemos que o
15 anestésico interfere em vários parâmetros fisiológicos e bioquímicos dos animais, que têm sido
16 cada vez mais avaliados além disso, também, o tipo e a proporção de substâncias ativas no óleo
17 essencial são determinantes na eficácia do anestésico (Aydin e Barbas, 2020).

18 2.2.1 Indicadores Eletrofisiológicos

19 Existem vários mecanismos envolvidos na anestesia de peixes, entre eles, o bloqueio
20 de canais iônicos e modulação de receptores inibitórios de ácido gama-aminobutírico dos tipo
21 A (GABA_A). De modo geral, vários fenômenos biológicos são acompanhados por
22 manifestações elétricas celulares associadas à mecanismos seletivos de transporte de
23 permeabilidade iônica (K^+ , Na^+ , Ca^{+2} e Cl^-) que participam da geração de potencial de
24 membrana nas células (Neumcke et al., 1981; Yang e Uchida, 1996; Delatre, 2007).

25 Quando em repouso, a célula apresenta diferença de potencial elétrico de várias
26 dezenas de milivolts através da membrana plasmática, com meio intracelular negativo em
27 relação aos líquidos extracelulares (Delatre, 2007). Quando ocorre uma perturbação desse
28 estado, é gerado um potencial de ação, que pode se propagar e transmitir o estímulo para células
29 vizinhas que são igualmente excitáveis. Esse processo está associado ao fluxo de íons por meio
30 da membrana e é capaz de alterar a concentração iônica nos meios intra e extracelular, ou seja,
31 por ser eletricamente polarizada, a membrana se abre invertendo a sua polaridade
32 momentaneamente e essa difusão de íons a favor de gradientes de concentração é a mais

1 importante causa de manifestação elétrica em sistemas biológicos (Delatre, 2007; Krueger-
2 Beck et al., 2011).

3 Assim, a avaliação dos registros eletrofisiológicos é fundamental para a compreensão
4 dos processos de propagação de potenciais de ação em órgãos especializados. A condução de
5 potenciais de ação em tecidos especializados, nervosos ou musculares, por exemplo, dá origem
6 à manifestações eletrofisiológicas mensuráveis (Riberiro, 2013). A compreensão desses
7 processos em condições normais ou alteradas em modelos experimentais, permite corroborar a
8 avaliação comportamental normalmente reportada na literatura como metodologia de avaliação
9 de anestesia e sedação em peixes, aumentando a validade, objetividade e consistência dos
10 resultados.

11 Os anestésicos podem diminuir significativamente a frequência respiratória em peixes,
12 que é um indicativo indireto do fluxo de água que passa através das brânquias. Também é capaz
13 de alterar o perfil eletrocardiográfico e eletroencefalográfico, além de modular os parâmetros
14 eletromiográficos (Barbas et al., 2017a; De Souza et al., 2019; De Araújo et al., 2021; Vilhena
15 et al., 2019; Barbas et al., 2020; Costa et al., 2022). No entanto, estudos sobre o monitoramento
16 eletrofisiológico de peixes sob anestesia ainda são relativamente escassos.

17 De acordo com o acima exposto, a avaliação de marcadores eletrofisiológicos,
18 possibilitam um entendimento mais detalhado dos efeitos provocados por novos fármacos
19 durante e após a exposição, viabilizando ou não seu uso como anestésicos gerais para
20 procedimentos mais invasivos como cirurgias e até mesmo eutanásia. Já que facilita o
21 monitoramento dos efeitos de depressão sobre o SNC, podendo assim caracterizar a eficácia de
22 um produto como anestésico geral (Barbas et al., 2017b; De Souza et al., 2019; Vilhena et al.,
23 2019; De Araújo et al., 2021; Costa et al., 2022).

24

25 2.2.2 Bioquímico: Estresse Oxidativo

26 O estresse é capaz de causar distúrbios morfológicos, fisiológicos e bioquímicos, como
27 um excesso na geração de radicais livres, por exemplo. Por isso, os parâmetros bioquímicos
28 têm sido avaliados em peixes frente à xenobióticos, onde é possível se verificar os níveis
29 ocorrentes de atividade antioxidante (Tew e Ronai 1999). Apesar de a anestesia, por vezes, ser
30 capaz de atenuar distúrbios bioquímicos e fisiológicos em peixes causados pelas práticas de
31 manejo, o próprio anestésico pode atuar como um estressor e levar a alterações nos parâmetros
32 bioquímicos, promovendo uma condição de estresse oxidativo (Velisek et al., 2011).

1 Os organismos possuem a capacidade natural de se adaptar ao ambiente ao qual estão
2 inseridos, no entanto, quando submetidos a uma situação de estresse, a quantidade de radicais
3 livre é aumentada e o excesso na geração desses radicais tem como consequência o
4 enfraquecimento do sistema imunológico, afetando a capacidade de manutenção da
5 homeostase. A formação de radicais livres ocorre de forma natural, como resultado do
6 metabolismo aeróbico para a geração de ATP. Radicais livres se caracterizam por serem
7 moléculas altamente reativas, pois possuem número ímpar de elétrons em sua última camada
8 (Mariano, 2006; Oba et al., 2009; Hermes-Lima, 2004; Hermes-Lima et al., 2015).

9 No sistema biológico, os radicais livres buscam se estabilizar e reagem com os elétrons
10 de outras biomoléculas a sua volta, como proteínas, lipídeos, carboidratos e ácidos nucléicos.
11 Uma vez que essas biomoléculas perdem um elétron, sofrem modificação na sua forma e
12 função. Esses radicais livres e moléculas que surgem, são denominadas espécies reativas de
13 oxigênio (EROs) ou pró-oxidantes e ocorrem em diferentes tecidos, sendo comum para todos
14 os seres aeróbicos (Belló et al., 2000; Hermes-Lima, 2004).

15 Para se proteger e neutralizar a formação de EROS, os organismos dispõem de
16 mecanismos de defesa antioxidante, comumente divididas em enzimáticas e não-enzimáticas,
17 que se caracterizam como um conjunto de substâncias que reduzem os riscos de lesões
18 oxidativas por EROS (Comporti, 2010). Entre as principais defesas antioxidantes não-
19 enzimáticas estão o ácido ascórbico (vitamina C), α-tocoferol (vitamina E), carotenoides,
20 flavonoides, ácido lipóico e o tripeptídeo glutationa (GSH), todos sendo captadores de radicais
21 (Vasconcelos et al., 2007; Lobo et al., 2010; Kütter et al., 2014; Wu et al., 2015). A GSH é uma
22 molécula composta pela combinação de três resíduos de aminoácidos (cisteína, glicina e
23 glutamina), e atua contra a formação de radicais livres, na homeostase tiólica, na manutenção
24 do balanço redox da célula, agindo como primeira linha de defesa contra a geração excessiva
25 de ERO e na detoxificação de xenobióticos. Está presente nos organismos nas formas reduzidas
26 (GSH) e oxidada (GSSG) (Wang et al., 2018) e sua capacidade antioxidante se dá pelo
27 grupamento tiol (SH) reativo de sua cisteína, o qual também pode ser encontrado em proteínas
28 (P-SH) ou em tióis de baixo peso molecular (NPSH), como a cisteína e a GSH (Reischl et al.,
29 2007; Ventura-Lima et al., 2009; Wang et al., 2018).

30 No entanto, quando a ação dos antioxidantes não é suficiente e ocorre uma perturbação
31 do equilíbrio entre agentes pró-oxidantes e antioxidantes nos tecidos, se estabelece uma
32 situação de estresse oxidativo, capaz de provocar danos em várias estruturas moleculares com
33 danos permanentes a tecidos e órgãos (Halliwell e Gutteridge, 1989, 2007; Storey 1996;

1 Halliwell e Gutteridge, 2007; Lushchak et al., 2005; Jones, 2006; Bisbal et al., 2010; Lushchak,
2 2011; Liang et al., 2016).

3 Como vários mecanismos estão envolvidos na ação antioxidantcelular, muitos
4 antioxidantes enzimáticos e não enzimáticos já são utilizados como biomarcadores durante
5 exposição de peixes à novas substâncias candidatas à anestésico, a fim de aumentar a
6 capacidade antioxidantdurante a manipulação rotineiras dos animais (Saccol et al., 2017;
7 Souza et al., 2019; Boaventura et al., 2021).

8 **2.3 Modelo Experimental: Tambaqui (*Colossoma macropomum*)**

9 O tambaqui, *Colossoma macropomum*, é um caraciforme da família Serrasalmidae
10 com ampla distribuição em toda a bacia amazônica e bacia do Orinoco, nativo do rio Amazonas,
11 Orinoco e seus afluentes. Possui elevada tolerância às variações na qualidade água,
12 principalmente pH (intervalos entre 4 a 8) e oxigênio dissolvido. Neste último caso, esta espécie
13 apresenta um mecanismo de ajustes contra hipóxia, conferindo ao animal a capacidade de
14 realizar a respiração na superfície aquática quando a concentração de oxigênio diminui para o
15 nível de 0,5 mg L⁻¹ (Saint-Paul, 1984 a,b) através de uma adaptação morfo-anatômica que
16 consiste na expansão dermal na mandíbula inferior, que tem a função de direcionar o fluxo da
17 água superficial mais oxigenada para a região das brânquias (Braum & Junk, 1982; Saint-Paul,
18 1984a,b; Val, 1986). O tambaqui possui uma grande área de superfície branquial, que permite
19 à espécie uma maior capacidade de absorção do oxigênio em situações de elevada demanda
20 energética (Saint-Paul, 1984a,b). Sua resistência às condições de cultivo e às doenças, com
21 elevadas taxas de crescimento foram essenciais para a melhoria de suas condições de criação
22 (Saint-Paul, 1986; Valladão et al., 2016).

23 Há muito a se desvendar a respeito das respostas fisiológicas dos peixes expostos às
24 diferentes substâncias anestésica e antiestressantes, sendo que o tambaqui tem sido reforçado
25 como um modelo experimental *in vivo* promissor, considerando a sua resistência ao manuseio
26 e a sua alta sensibilidade aos testes de novos produtos anestésicos para uso na aquicultura
27 (Barbas et al., 2016; Barbas et al., 2017a,b; De Souza et al., 2019; Aydin e Barbas, 2020).

28

29 **3. OBJETIVO GERAL**

30 Avaliar a eficácia anestésica dos fitoconstituintes geraniol e citronelol em juvenis de
31 tambaqui, *Colossoma macropomum*, através da verificação dos tempos de indução e

1 recuperão, através de ensaios de concentrao-resposta, e seus efeitos sobre o
2 comportamento, parâmetros de eletrofisiologia e balanço oxidativo.

3 **3.1 Objetivos específicos**

- 4 • Avaliar as latências para anestesia rápida e profunda e a recuperão em juvenis de *C.*
5 *macropomum* submetidos a banhos anestésicos com geraniol e citronelol;
- 6 • Caracterizar a extensão do miorelaxamento através da análise do eletromiograma, além
7 de avaliar os impactos sobre a função cardiorrespiratória por meio dos registros de
8 eletrocardiograma, frequência cardíaca e intensidade e frequência dos batimentos
9 operculares de juvenis de *C. macropomum* expostos a banhos de curta duração com o
10 geraniol e citronelol;
- 11 • Caracterizar a extensão da depressão do SNC através das respostas e alterações no
12 traçado eletroencefalográfico em juvenis de *C. macropomum* expostos a banhos de curta
13 duração com o geraniol e citronelol;
- 14 • Avaliar o balanço oxidativo e o potencial quimioprotetivo dos compostos através da
15 verificação da capacidade antioxidante total (ACAP), níveis de GSH e P-SH, e do
16 indicador de peroxidação lipídica (TBARS) em amostras de brânquias, cérebro, fígado
17 e músculo de juvenis de *C. macropomum* submetidos a simulação de transporte por
18 diferentes tempos em água adicionada de concentrações sedativas de geraniol e
19 citronelol.

20 **4. REFERÊNCIAS**

- 21 Ackerman, P. A; Morgan, J. D.; Iwama, G. K. Physiology of Anesthesia. Exposure. 1–22, 1990.
- 22 Araujo-Lima, C., Goulding, M., 1998. Os frutos do tambaqui: ecologia, conservação e cultivo
23 na Amazônia. Brasília: MCT-CNPq, 186p.
- 24 Baldisserotto, B. (2013). Fisiologia de peixes aplicada à piscicultura. Santa Maria, RS. 3º 1120
25 ed. UFSM Ed. 352 p.
- 26 Barbas, L.A.L., Stringhetta, G.R., Garcia, L.O., Figueiredo, M.R.C., Sampaio, L.A., 2016.
27 Jambu, *Spilanthes acmella* as a novel anaesthetic for juvenile tambaqui, *Colossoma*
28 *macropomum*: Secondary stress responses during recovery. Aquaculture, 456, 70–75.
- 29 Barbas, L.A.L., Hamoy, M., De Mello, V.J., Barbosa, R.P.M., De Lima, H.D.S.T., Torres, M.F.,
30 Do Nascimento, L.A.S., Da Silva, J.K.R., Andrade, E.H.A., Gomes, M.R.F., 2017a. Essential
31 oil of citronella modulates electrophysiological responses in tambaqui *Colossoma*
32 *macropomum*: A new anaesthetic for use in fish. Aquaculture. 479, 60 – 68.
- 33 Barbas, L.A.L., Maltez, L.C., Stringhetta, G.R., de Garcia, L.O., Monserrat, J.M., da Silva,
34 D.T., Heinzmann, B.M., Sampaio, L.A., 2017b. Properties of two plant extractives as

- 1 anaesthetics and antioxidants for juvenile tambaqui *Colossoma macropomum*. Aquaculture
2 469, 79–87.
- 3 Barbas, L.A.L., Pereira-Cardona, P.M., Maltez, L.C., Garcia, L.O., Monserrat, J.M., Sampaio,
4 L.A., 2017c. Anaesthesia and transport of juvenile tambaqui *Colossoma macropomum* (Cuvier,
5 1818) with tricaine methane-sulphonate: Implications on secondary and oxidative stress
6 responses. J. Appl. Ichthyol. 00, 1–11. <https://doi.org/10.1111/jai.13382>
- 7 Barbas, L.A.L., De Araújo, E.R., Torres, M.F., Maltez, L.C., Garcia, L.O., Heinzmann, B.M.,
8 Sampaio, L.A., 2019. Stress relieving potential of two plant-based sedatives in the transport of
9 juvenile tambaqui *Colossoma macropomum*, Aquaculture, doi:
10 <https://doi.org/10.1016/j.aquaculture.2019.734681>
- 11 Barbas, L.A.L., Torres, M.F., da Costa, B.M.P.A., Feitosa, M.J.M., Maltez, L.C., Amado, L.L.,
12 Toda, Y.P.S., Batista, P.S., Cabral, D.A.C., Hamoy, M., 2021. Eugenol induces body
13 immobilization yet evoking an increased neuronal excitability in fish during short-term baths.
14 Aquat. Toxicol. 231, 105734. <https://doi.org/10.1016/j.aquatox.2020.105734>.
- 15 Barbosa, K.B.F., Costa, N.M.B., Alfenas, R.C.G., Paula, S.O., Minim, V.P.R., Bressan, J.,
16 2010. Estresse oxidativo: conceito, implicações e fatores modulatórios. Revista de Nutrição.
17 23, 629-643. <https://doi.org/10.1590/S1415-52732010000400013>
- 18 Barton, B.A., Peter, R.E., 1982. Plasma cortisol stress response in fingerling rainbow trout,
19 *Salmo guardieri* (Richardson), to vatious transport conditions, anaesthesia, and cold shock.
20 Journal of Fish Biology. 20, 39-51
- 21 Bastos, J.F., Moreira, I.J., Ribeiro, T.P., Medeiros, I.A., Antoniolli, A.R., De Sousa, D.P.,
22 Santos, M.R., 2009. Hypotensive and vasorelaxant effects of citronellol, a monoterpenic
23 alcohol, in rats. Basic Clin. Pharmacol. Toxicol. 106, 331–337. DOI [10.1111/j.1742-7843.2009.00492.x](https://doi.org/10.1111/j.1742-7843.2009.00492.x)
- 25 Belló, A.R.R., Fortes, E., Belló-Klein, A., Belló, A.A., Llesuy, S.F., Robaldo, R.B. & Bianchini,
26 A., 2000. Lipid peroxidation induced by *Clinostomum detruncatum* in muscle of the freshwater
27 fish *Rhamdia quelen*. Diseases of Aquatic Organisms 42, 233-236.
- 28 Bendhack, F., 2004. Uso de sulfato de cálcio como redutor de estresse no transporte de
29 matrinxãs (*Brycon cephalus*). Dissertação (Mestrado) – Universidade Estadual
30 Paulista/CAUNESP, Jaboticabal, São Paulo.
- 31 Berka, R., 1986. The transporo f live fish. Areview. EIFAC thech. Pap. 48, 52p.
- 32 Bisbal, C., Lamberta, k., Avignona, A., 2010. Antioxidants and glucose metabolism disorders.
33 Current Opinion in Clinical nutrition and Metabolic Care. 13, 439-446.
- 34 Boaventura, T.P., Souza, C.F., Ferreira, A.L., Favero, G.C., Baldissera, M.D., Heinzmann,
35 B.M., Baldisserotto, B., Luz, R.K., 2021. The use of *Ocimum gratissimum* L. essential oil
36 during the transport of *Lophiosilurus alexandri*: Water quality, hematology, blood biochemistry
37 and oxidative stress. Aquaculture, 531, e735964.
38 <https://doi.org/10.1016/j.aquaculture.2020.735964>.
- 39 Braum, E., Junk, W.J., 1982. Morphological adaptation of two Amazonian Characoids (Pisces)
40 for surviving in oxygen deficient waters. Int. Rev. Ges. Hydrobiol. 67: 869-886.
- 41 Burka, J. F., hammell, k. L., Horsberg, T. E., Johnson, G. R., Rainnie, D. J., Speare, D. J., 1997.
42 Drugs in salmonid aquaculture - a review. Journal of Veterinary Pharmacology and
43 Therapeutics 20:333-349.

- 1 Cantanhêde, S.M., Hamoy, M., Montag, L.F.A., Amado, L.L., 2020. Electrophysiological
2 responses in Amazonian fish species *Bryconops caudomaculatus* (Osteichthyes:
3 Characiformes) as biomarkers of xenobiotic toxicity. Comp. Biochem. Physiol. C Toxicol.
4 Pharmacol. 228, 108653. <https://doi.org/10.1016/j.cbpc.2019.108653>.
- 5 Carneiro, P.C.F., Urbinati, E.C., Martins, M.L., 2002. Transport with different benzocaíne
6 concentrations and its consequences on hematological parameters and gill parasite population
7 of matrinxã *Brycon cephalus* (Gunther, 1869) (Osteichthyes, Characidae). Acta Science 24:
8 555-560.
- 9 Castro, H.G., Barbosa, L.C.A., Leal, T.C.A.B., Souza, C.M., Nazareno, A.C., 2007.
10 Crescimento, teor e composição do óleo essencial de *Cymbopogon nardus* (L.). Revista
11 Brasileira de Plantas Medicinais, v.9, p.55–61.
- 12 Castro, H.G., Perini, V.B.M., Santos, G.R., Leal, T.C.A.B., 2010. Evaluation of content and
13 composition of the essential oil of *Cymbopogon nardus* (L.) in different harvest times. Rev.
14 Ciênc. Agron. 41: 308–314.
- 15 Chen, W., Viljoen, A.M., 2010. Geraniol-A review of a commercially important fragrance
16 material. South African Journal of Botany. 76, 643-651.
17 <https://doi.org/10.1016/j.sajb.2010.05.008>.
- 18 Cho, G.K., Heath, D.D., 2000. Comparison of tricaine methanesulphonate (MS222) and clove
19 oil anestesia effects on the physiology of juvenile chinook salmon *Oncorhynchus tshawytscha*
20 (Walbaum). Aquac. Res. 31, 537–546. DOI <https://doi.org/10.1046/j.1365-2109.2000.00478.x>.
- 21 Comporti, M., 2010. Free radicals, oxidative stress and antioxidants. Journal of the Siena
22 Academy of Sciences. 2, 13–26.
- 23 Cooke, S.J., Suski, C.D., Ostrand, K.G., Tufts, B.L., Wahl, D.H., 2004. Behavioral and
24 physiological assessment of low concentrations of clove oil anaesthetic for handling and
25 transporting largemouth bass (*Micropterus salmoides*). Aquaculture 239: 509-529.
- 26 Costa, B.M.A., Torres, M.F., Silva, R.A., Aydin, B., Amado, L.L., Hamoy, M., Barbas, L.A.L.,
27 2022. Integrated behavioural, neurological, muscular and cardiorespiratory response in
28 tambaqui, *Colossoma macropomum* anaesthetized with menthol. Aquaculture. 560, 738553.
29 <https://doi.org/10.1016/j.aquaculture.2022.738553>
- 30 Coyle, S.D., Durborow, R.M., Tidwell, H.J., 2004. Anaesthetics in Aquaculture. SRAC
31 Publication No. 3900. Southern Regional Aquaculture Center, USA.
- 32 Cunha, F.E.A., Rosa, I.L., 2006. Anesthetic effects of clove-oil on seven species of tropical reef
33 fishes (Teleostei). J Fish Biol. 69, 1504–1512.
- 34 Cunha, J.A., Scheeren, C.A., Scheeren, J., Gressler, L.T., Madaloz, L.M., Bandeira Junior, G.,
35 Biachini, A.E., Pinheiro, C.G., Bordignon, S.A.L., Heinzmann, B.M., Baldisserotto, B., 2017.
36 Essential oils of *Cunila galiooides* and *Origanum majorana* as anesthetics for *Rhamdia quelen*:
37 Efficacy and effects on ventilation and ionoregulation. Sociedade Brasileira de Ictiologia. 15,
38 883-887. DOI:10.1590/1982-0224-20160076.
- 39 De Araújo, E.R.L., Silva, J.S., Lopes, L.M., Torres, M.F., Alho da Costa, B.M.P., Amarante,
40 C.B., Hamoy, M., Barbas, L.A.L., Sampaio, L.A., 2021. Geraniol and citronellol as alternative
41 and safe phytoconstituents to induce immobilization and facilitate handling of fish. Aquaculture
42 537, 736517. <https://doi.org/10.1016/j.aquaculture.2021.736517>.
- 43 De Sousa, D.P., Gonçalves, J.C.R., Quintans-Júnior, L., Cruz, J.S., Araújo, D.A.M., Almeida,
44 R.N., 2006. Study of anticonvulsant effect of citronellol, a monoterpenic alcohol, in rodents.
45 Neurosci Lett 401, 231–5.

- 1 De Souza, A.S.L., Peret, A.C., Hamoy, M., De Souza, R.A.L., Torres, M.F., Barbas, L.A.L.,
2 2019. Propofol and essential oil of *Nepeta cataria* induce anaesthesia and marked
3 myorelaxation in tambaqui *Colossoma macropomum*: implications on cardiorespiratory
4 responses. Aquaculture 500, 160–169.
- 5 Delattre, E., 2007. Fundamentos de eletrofisiologia: potenciais de membrana. 40, 378-393.
- 6 Dias, A.M.A., Santos, P., Seabra, I.J., Júnior R.N.C., Braga, M.E.M., de Sousa H.C., 2012.
7 Spilanthal from Spilanthes acmella flowers, leaves and stems obtained by selective supercritical
8 carbon dioxide extraction. J. Supercrit. Fluids 61, 62–70.
- 9 Façanha, M.F., Gomes, L.C., 2005. A eficácia do mentol como anestésico para tambaqui
10 (*Colossoma macropomum*, Characiformes: Characidae). Acta Amaz. 35, 71–75.
- 11 Falahatkar, B., Poursaeid, S., 2017. Anaesthetic efficacy of tricaine methanesulfonate for
12 Persian sturgeon larvae. Aquaculture Research, 48, 4578–4581.
13 <https://doi.org/10.1111/are.13084>.
- 14 Food and Agriculture Organization of the United Nations (FAO), 2022. The State of World
15 Fisheries and Aquaculture. FAO, Rome.
- 16 Fujimoto, R.Y., Pereira, D.M., Silva, J.C., Oliveira, L.C.A.O., Inoue, L.A.K.A., Hamoy, M.,
17 Mello, V.J., Torres, M.F., Barbas, L.A.L., 2017. Clove oil induces anaesthesia and blunts
18 muscle contraction power in three Amazon fish species. Fish Physiol Biochem, 44, 245–256.
- 19 Ghisi, N.C.; Oliveira, E. C., 2016. Bem-estar em peixes: O status da ciência por meio de análise
20 ciênciométrica. Acta Scientiarum - Biological Sciences, [s. l.], v. 38, n. 3, p. 253–261.
- 21 Gomes, L.C., Chippari-Gomnes A.R., Lopes, N.P., Roubach, R., Araujo-Lima, C.A.R.M.,
22 2001. Efficacy of benzocaine as an anesthetic in juvenile tambaqui *Colossoma macropomum*. J.
23 World Aquac. Soc. Baton Rouge 32, 426–431. DOI <https://doi.org/10.1111/j.1749-7345.2001.tb00470.x>.
- 25 Gomes, L.C.; Araújo-Lima, C.A.R.M.; Roubach, R., Chippari-Gomes, A.R.; Lopes, N.P. 2003.
26 Effect of fish density during transportation on stress and mortality of juvenile tambaqui
27 *Colossoma macropomum*. Journal of the World Aquaculture Society, 34: 76–84.
- 28 Gomes, L. C., Simões, L. N., & Araújo-Lima, C. A. R. M. (2010). Tambaqui (*Colossoma*
29 *macropomum*). In: Baldisserotto, B., & Gomes, L.C. (Eds.), Espécies nativas para piscicultura
30 no Brasil (2 ed.) (pp. 175 – 204). Santa Maria: Ed. UFSM.
- 31 Gonçalves, A.F.N., Santos, E.C.C., Fernandes, J.B.K., Takahashi, L.S., 2008. Menthol and
32 eugenol as benzocaine substitutes in anesthetic induction of pacu juveniles. Acta Sci. Anim.
33 Sci. 30, 339–344. DOI 10.4025/actascianimsci.v30i3.1081
- 34 Halliwell, B., Gutteridge, J.M.C., 1989. Free radicals in biology and medicine. 2 ed. Oxford:
35 Claredon, 469p.
- 36 Halliwell, B., Gutteridge, J.M.C., 2007. Free radicals in biology and medicine (4th 877 ed.).
37 New York, NY: Oxford University Press.
- 38 Halliwell, B., Gutteridge, J.M.C., 2015. Free radicals in biology and medicine. Oxford. 5th ed.:
39 Oxford University Press. EUA. 944.
- 40 Heldwein, C.G., Silva, L.L., Gai, E.Z., Roman, C., Parodi, T.V., M.E., Burger, Baldisserotto,
41 B., Flores, E.M.M., Heinzmann, B.M., 2014. S-(+)-Linalool from *Lippia alba*: sedative and
42 anesthetic for silver catfish (*Rhamdia quelen*). Veterinary Anaesthesia and Analgesia.
43 doi:10.1111/vaa.12146.

- 1 Heo, G.J., Shin, G., 2010. Efficacy of benzocaine as an anaesthetic for Crucian carp (*Carassius*
2 *carassius*). Veterinary Anaesthesia and Analgesia. 37, 132–135. Doi:10.1111/j.1467-
3 2995.2009.00510.x
- 4 Hermes-Lima, M., 2004. Oxygen in biology and biochemistry: Role of free radicals, in: Storey,
5 K.B. (Ed.), Functional metabolism: Regulation and adaptation. Wiley-Liss, Hoboken, pp. 319-
6 368.
- 7 Hermes-Lima, M., Moreira, D.C., Rivera-Ingraham, G.A., Giraud-Billoud, M., Genaro-Mattos,
8 T. C., Campos, É.G. 2015. Preparation for oxidative stress under hypoxia and metabolic
9 depression: Revisiting the proposal two decades later. Free Radical Biology and Medicine, 89,
10 1122-1143.
- 11 IBGE. Sistema IBGE de Recuperação Automática – SIDRA: pesquisa da pecuária municipal,
12 2020. Disponível em: <https://sidra.ibge.gov.br/pesquisa/ppm/quadros/brasil/2020>
- 13 Inoue, L.A.K.A., Neto, C. do S., Moraes, G., 2003. Clove oil as anaesthetic for juveniles of
14 matrinxã *Brycon cephalus* (Gunther, 1869). Ciência Rural 33, 943–947.
15 <https://doi.org/10.1590/S0103-84782003000500023>.
- 16 Inoue, L.A.K.A., Afonso, L.O.B., Iwama, G.K., Moraes, G., 2005. Effects of clove oil on the
17 stress response of matrinxã (*Brycon cephalus*) subjected to transport. Acta Amaz. 35, 289–295.
18 DOI <https://doi.org/10.1590/S0044-59672005000200018>.
- 19 Inoue L.A.K.A., Boijink C.L., Ribeiro P.T., Silva A.M.D., Affonso E.G., 2011. Avaliação de
20 respostas metabólicas do tambaqui exposto ao eugenol em banhos anestésicos. Acta Amaz. 41,
21 327-32.
- 22 Jones, D.P. 2006. Extracellular redox state: refining the definition of oxidative stress in aging.
23 Rejuvenation Research, 9(2), 169-181.
- 24 Küller, M. T., Romano, L. A., Ventura-Lima, J., Tesser, M. B., & Monserrat, J. M., 2014.
25 Antioxidant and toxicological effects elicited by alpha-lipoic acid in aquatic organisms.
26 Comparative Biochemistry and Physiology Part C: Toxicology & Pharmacology, 162, 70-76.
27 Doi: 10.1016/j.cbpc.2014.03.008.
- 28 Krueger-Beck, E., Scheeren, E.M., Nogueira-Neto, G.N., Button, V.L.S.N., Neves, E.B.,
29 Nohama, P., 2011. Fisioterapia em Movimento, vol. 24, n. 3. <https://doi.org/10.1590/S0103-51502011000300018>
- 31 Lambooij, E., Kloosterboer, R. J., Gerritzen, M. A., Van De Vis, J. W., 2006. Assessment of
32 electrical stunning in fresh water of African Catfish (*Clarias gariepinus*) and chilling in ice
33 water for loss of consciousness and sensibility. Aquaculture, 254, 388–395.
- 34 Liang, Z., Liu, R., Zhao, D., Wang, L., Sun, M., Wang, M., Song, L., 2016. Ammonia exposure
35 induces oxidative stress, endoplasmic reticulum stress and apoptosis in hepatopancreas of
36 pacific white shrimp (*Litopenaeus vannamei*). Fish & Shellfish Immunology, 54, 523-528.
37 10.1016/j.fsi.2016.05.009
- 38 Lima, M. da S., Quintans-Júnior, L.J., de Santana, W.A., Martins Kaneto, C., Pereira Soares,
39 M.B., Villarreal, C.F., 2013. Anti-inflammatory effects of carvacrol: Evidence for a key role of
40 interleukin-10. Eur. J. Pharmacol. 699, 112–117. doi:10.1016/j.ejphar.2012.11.040
- 41 Lobo, V., Patil, A., Phatak, A., Chandra, N., 2010. Free radicals, antioxidants and functional
42 foods: Impact on human health. Pharmacognosy Reviews. 4, 118–126.
- 43 Lopez-Romero, J.C., González-Ríos, H., Borges, A., Simões, M., 2015. Antibacterial effects
44 and mode of action of selected essential oils components against *Escherichia*

- 1 *coli* and *Staphylococcus aureus*. Evid.-Based Compl. Alt. 2015, 1-9. DOI
2 <https://doi.org/10.1155/2015/795435>.
- 3 Lushchak, V. I., Bagnyukova, T. V., Husak, V. V., Luzhna, L. I., Lushchak, V., & Storey, K.
4 B., 2005. Hyperoxia results in transient oxidative stress and an adaptive response by antioxidant
5 enzymes in goldfish tissues. *The International Journal of Biochemistry & Cell Biology*, 37,
6 1670-1680. Doi: 10.1016/j.biocel.2005.02.024
- 7 Lushchak, V.I. 2011. Environmentally induced oxidative stress in aquatic animals. *Aquatic
8 Toxicology*, 101(1), 13-30.
- 9 Mahalwal V.S, Ali M., 2003. Volatile constituents of *Cymbopogon nardus* (Linn.) Rendle.
10 Flavour Fragr. J. 18, 73–76. DOI <http://dx.doi.org/10.1002/ffj.1144>.
- 11 Maltez, L., Rodrigues, G., Enamorado, A., Okamoto, M., Romano, L., Monserrat, J., Sampaio,
12 L., Garcia, L., 2017. Ammonia exposure and subsequent recovery trigger oxidative stress
13 responses in juveniles of Brazilian flounder *Paralichthys orbignyanus*. *Fish Physiology
14 Biochemical*. 43, 1747 –1759.
- 15 Mariano, W.S., 2006. Respostas Fisiológicas e Bioquímicas do jeju *Hoplerythrinus
16 unitaeniatus* (Characiformes, Erythrinidae) a exposição aérea. 72p. Dissertação (Mestrado).
17 Universidade Federal de São Carlos, São Carlos, SP.
- 18 Marking, L.L., Meyer, F.P., 1985. Are better anesthetics needed in fisheries? *Fisheries*, [s. l.],
19 v. 10, n. 6, p. 2–5.
- 20 Martins R.M., 2006. Estudio “in vitro” de la acción acaricida del aceite esencial de la gramínea
21 citronela de java (*Cymbopogon winterianus* Jowitt) no carrapato *Boophilus microplus*. *Rev.
22 Bras. Plantas Med.* 08, 71–78.
- 23 Mazeaud, M.M., Mazeaud, F., 1981. Adrenergic responses to stress in fish. In: Pickering, A.D.
24 Stress and Fish. London, New York, Toronto, Sydney, San Francisco: Academic Press, 49-75.
- 25 Menezes, I.A.C., Moreira, I.J.A., de Paula, J.W.A., Blank, A.F., Antoniolli, A.R.,
26 QuintansJúnior, L.J., Santos, M.R.V., 2010a. Cardiovascular effects induced by *Cymbopogon
27 winterianus* essential oil in rats: involvement of calcium channels and vagal pathway. *J. Pharm.
28 Pharmacol.* 62, 215–21. doi:10.1211/jpp.62.02.0009
- 29 Menezes, I.A.C., Barreto, C.M.N., Antoniolli, Â.R., Santos, M.R. V, de Sousa, D.P., 2010b.
30 Hypotensive activity of terpenes found in essential oils. *Zeitschrift fur Naturforsch. - Sect. C J.
31 Biosci.* 65 C, 562–566. doi:10.1515/znc-2010-9-1005.
- 32 Modesto, K.A., Martinez, C.B.R., 2010. Effects of Roundup Transorb on fish: Hematology,
33 antioxidant defenses and acetylcholinesterase activity. *Chemosphere.* 81, 781–787.
34 Doi:10.1016/j.chemosphere.2010.07.005.
- 35 Morais, S.R., Oliveira, T.L.S., Bara, M.T.F., Conceição, E. C., Rezende, M.H., Ferri, P. H.;
36 Paula, J. R. De., 2012. Chemical Constituents of Essential Oil from *Lippia sidoides* Cham.
37 (Verbenaceae) Leaves Cultivated in Hidrolândia, Goiás, Brazil. *International journal of
38 analytical chemistry*, [s. l.], v. 2012, p. 363919.
- 39 Mudado, M.A., Moreira, T.H., Cruz, J.S., 2003. O início da era dos canais iônicos. *Clínica Hoje
40* 33, 56–58.
- 41 Neumcke, B., Schwarz, W., Stämpfli, R., 1981. Block of Na channels in the membrane of
42 myelinated nerve by benzocaine. *Pflügers Arch. Eur. J. Physiol.* 390, 230–236.

- 1 Oba, E.T., Mariano, W.S., Santos, L.R.B., 2009. Estresse em peixes cultivados: agravantes e
2 atenuantes para o manejo rentável. In: Tavares-Dias, M. (Org.) Manejo e Sanidade de Peixes
3 em Cultivo. Embrapa Amapá, AP. 226-247.
- 4 Oliveira, J.R., Carmo, J.L., Oliveira, K.K.C., Soares, M.C.F., 2009. Cloreto de sódio,
5 benzocaína e óleo de cravo-da-índia na água de transporte de tilápia-do-nilo. Revista Brasileira
6 de Zootecnia, 38, 1163-1169.
- 7 Park, M.O., Hur, W.J., Im, S.Y., Seol, D.W., Lee J., Park, I.S., 2008. Anaesthetic efficacy and
8 physiological responses to clove oil-anaesthetized kelp grouper *Epinephelus bruneus*. Aquac.
9 Res. 39, 877–884. DOI <https://doi.org/10.1111/j.1365-2109.2008.01941.x>.
- 10 Park, J-Y., Kim, J-Y., Jang, S-H., Kim, H-J., Lee S-J, Park, S-C., 2015. Biological activities
11 and acute oral toxicity of citronella and lemongrass oil. Korean J. Vet. Res. 55, 13–20. DOI
12 <https://doi.org/10.14405/kjvr.2015.55.1.13>.
- 13 Pawar, H.B., Sanaye, S.V., Sreepada, R.A., Harish, V., Suryavanshi, U., Tanu, Ansari, Z., 2011.
14 Comparative efficacy of four anaesthetic agents in the yellow seahorse, Hippocampus kuda
15 (Bleeker, 1852). Aquaculture, [s. l.], v. 311, n. 1– 4, p. 155–161.
16 <http://dx.doi.org/10.1016/j.aquaculture.2010.12.007>.
- 17 Parodi, T.V., Cunha, M.A., Heldwein, C.G., De Souza, D.M., Martins, Á.C., Garcia L.O.,
18 Wasielesky, W.Jr., Monserrat J.M., Schmidt, D., Caron, B.O., Heinzmann, B., Baldisserotto,
19 B., 2012. The anesthetic efficacy of eugenol and the essential oils of *Lippia alba* and *Aloysia*
20 *triphylla* in post-larvae and sub-adults of *Litopenaeus vannamei* (Crustacea, Penaeidae). Comp.
21 Biochem. Phys. C 155, 462–8. DOI [10.1016/j.cbpc.2011.12.003](https://doi.org/10.1016/j.cbpc.2011.12.003).
- 22 Popovic, N.T., Strunjak-Perovic, I., Coz-Rakovac, R., Barisic, J., Jadan, M., Berakovic, A.P.,
23 Klobucar, R.S., 2012. Tricaine methane-sulfonate (MS-222) application in fish anaesthesia.
24 Journal of Applied Ichthyology, [s. l.], v. 28, n. 4, p. 553–564.
- 25 Quintans-Júnior, L.J., Souza, T.T., Leite, B.S., Lessa, N.M.N., Bonjardim, L.R., Santos,
26 M.R.V., Blank, A.F., Antoniolli, A.R., 2008. Phytochemical screening and anticonvulsant
27 activity of *Cymbopogon winterianus* Jowitt (Poaceae) leaf essential oil in rodents.
28 Phytomedicine 15, 619–24. DOI [10.1016/j.phymed.2007.09.018](https://doi.org/10.1016/j.phymed.2007.09.018).
- 29 Readman, G.D., Owen, S.F., Knowles, T.G., Murrell, J.C., 2017. Species specific anaesthetics
30 for fish anaesthesia and euthanasia. Scientific Reports, [s.l.], n. June, p. 1-7.
31 <http://dx.doi.org/10.1038/s41598-017-06917-2>
- 32 Reischl, E., Dafre, A.L., Franco, J.L., Wilhelm Filho, D., 2007. Distribution, adaptation and
33 physiological meaning of thiols from vertebrate hemoglobins. Comp Biochem Physiol C
34 Toxicol Pharmacol. 146, 22-53. Doi: [10.1016/j.cbpc.2006.07.015](https://doi.org/10.1016/j.cbpc.2006.07.015).
- 35 Ribeiro, L.C., 2013. Investigação do efeito ictiotóxico do extrato etanólico da raiz de spilanthes
36 acmella (jambú) em zebrafish através da análise eletrofisiológica e comportamental.
37 (Dissertação Mestrado)Universidade Federal do Pará, [s. l.]
- 38 Ross, L.G., Ross, B., 2008. Anaesthetic and Sedative Techniques for Aquatic Animals.
39 Blackwell Publishing, Oxford, UK. (228 p.).
- 40 Roubach, R., Gomes, L.D.C., 2001. O Uso de Anestésicos Durante o Manejo de Peixes. PhD
41 Proposal, [s. l.], v. 1, p. 37–40.
- 42 Saccol, E.M., Toni, C., Pê, T.S., Ourique, G.M., Gressler, L.T., Silva, L.V., Mourão, R.H.V.,
43 Oliveira, R.B., Baldisserotto, B., Pavanato, M.A., 2017. Anaesthetic and antioxidant effects of
44 *Myrcia sylvatica* (G. Mey.) DC. and *Curcuma longa* L. essential oils on tambaqui (*Colossoma*
45 *macropomum*). Aquaculture Research, 48, 2012-2031. <https://doi.org/10.1111/are.13034>.

- 1 Saint-Paul, U. 1984a. Ecological and physiological investigations of *Colossoma macropomum*,
2 a new species for fish culture in Amazonia. Mem. Soc. Latinoam. Acuicult. 5: 501-518.
- 3 Saint-Paul, U. 1984b. Physiological adaptation to hypoxia of a neotropical characoid fish
4 *Colossoma macropomun*, Serrasalmidae. Env. Biol. Fish. 11: 53-62.
- 5 Saint-Paul, U., 1986. Potential for aquaculture of South American freshwater fishes: a review.
6 Aquaculture 54, 205–240. DOI [https://doi.org/10.1016/0044-8486\(86\)90329-7](https://doi.org/10.1016/0044-8486(86)90329-7).
- 7 Sampaio, F.D., Freire, C.A., 2016. An overview of stress physiology of fish transport: changes
8 in water quality as a function of transport duration. Fish and Fisheries, 17, 1055-1072.
9 <https://doi.org/10.1111/faf.12158>.
- 10 Santos, P.L., Brito, R.G., Oliveira, M.A., Quintans, J.S.S., Guimarães, A.G., Santos, M.R. V,
11 Menezes, P.P., Serafini, M.R., Menezes, I.R.A., Coutinho, H.D.M., Araújo, A.A.S., Quintans-
12 Júnior, L.J., 2016. Docking, characterization and investigation of βcyclodextrin complexed
13 with citronellal, a monoterpenic present in the essential oil of *Cymbopogon* species, as an anti-
14 hyperalgesic agent in chronic muscle pain model. Phytomedicine 23, 948–57.
15 doi:10.1016/j.phymed.2016.06.007
- 16 Santos, P. L., Matos, J. P. S.C.F., Picot, L., Almeida, J. R.G.S., Quintans, J. S. S., Quintans-
17 Júnior, L. J. 2019. Citronellol, a monoterpenic alcohol with promising pharmacological
18 activities - A systematic review. Food and Chemical Toxicology. 123, 459-469.
19 Doi:10.1016/j.fct.2018.11.030
- 20 Sladky, K.K. Swanson, C.R., Stoskopf, M.K., Loomis, M.R., Lewbart, G.A., 2001. Comparative efficacy of tricaine methanesulfonate and clove oil for use as anesthetics in red
21 pacu (*Piaractus brachypomus*). Am. J. Vet. Res. 62, 337–342. DOI
22 <https://doi.org/10.2460/ajvr.2001.62.337>.
- 23
- 24 Simões, L.N., Lombardi, D.C., Gomide, A.T.M., Gomes, L.C., 2011. Efficacy of clove oil as
25 anesthetic in handling and transportation of Nile tilapia, *Oreochromis niloticus* (Actinopterygii:
26 Cichlidae) juveniles. Zoologia. 28,285–290. Doi: 10.1590/S1984-46702011000300001
- 27 Solórzano-Santos, F., Miranda-Novales, M.G., 2012. Essential oils from aromatic herbs as
28 antimicrobial agents. Curr. Opin. Biotechnol. 23, 136–141. DOI [10.1016/j.copbio.2011.08.005](https://doi.org/10.1016/j.copbio.2011.08.005).
- 29 Souza, C.F., Baldissera, M., Baldisserotto, B., Heinzmann, B.M., Martos-Sitcha, J.A., Mancera,
30 J.M., 2019. Essential oils as stress-reducing agents for fish aquaculture: A Review. Frontiers in
31 Physiology, 10, 785. <https://doi.org/10.3389/fphys.2019.00785>.
- 32 Sneddon, L.U., 2003. The evidence for pain in fish: The use of morphine as an analgesic.
33 Applied Animal Behaviour Science. 83, 153:162.
- 34 Sneddon, L.U., 2012. Clinical Anesthesia and Analgesia in Fish. Journal of Exotic Pet Medicine
35 21, 32-43.
- 36 Steffens, A.H., 2010. Estudo da composição química dos óleos essenciais obtidos por destilação
37 por arraste a vapor em escala laboratorial e industrial. Porto Alegre. Dissertação. Programa de
38 Pós-Graduação em Engenharia e Tecnologia de Materiais, Pontifícia Universidade Católica do
39 Rio Grande Do Sul.
- 40 Storey, K.B., 1996. Oxidative stress: animal adaptations in nature. Braz. J. Med. Biol. Res. 29,
41 1715–1733.
- 42 Svoboda, M., Kolarova, J., 1999. A survey of anaesthetics used in the fish farming. Health
43 Protection of Fish - Proceeding of Papers. Research Institute of Fish Culture and Hydrobiolo y
44 odňany pp 49-72.

- 1 Sylvester, J.R., 1975. Factors influencing the efficacy of MS-222 to striped mullet (*Mugil*
2 *cephalus*) Aquaculture 6, 163–169. DOI [https://doi.org/10.1016/0044-8486\(75\)90067-8](https://doi.org/10.1016/0044-8486(75)90067-8).
- 3 Tew, K.D., Ronai, Z., 1999. GST function in drug and stress response. Drug Resistance Updates
4 2, 143-147.
- 5 Tholl, D., Kish, C.M., Orlova, I., Sherman, D., Gershenson, J., Pichersky, E., Dudareva, N.,
6 2004. Formation of Monoterpene in *Antirrhinum majus* and *Clarkia breweri* Flowers Involves
7 Heterodimeric Geranyl Diphosphate Synthases. The Plant Cell. 16, 977–992.
8 <https://doi.org/10.1105/tpc.020156>.
- 9 Tiwari, M., Kakkar, P., 2009. Plant derived antioxidants-geraniol and camphene protect rat
10 alveolar macrophages against t-BHP induced oxidative stress. Toxicol. in Vitro 23, 295–301.
11 DOI [10.1016/j.tiv.2008.12.014](https://doi.org/10.1016/j.tiv.2008.12.014).
- 12 Treves-Brown, K.M., 2000. Anaesthesia. Em: Treves-Brown, K.M. (Ed.), Anaesthetics in
13 Applied Fish Pharmacology. Kluwer Academic Publishers, Dordrecht, Netherlands: 206–217.
- 14 Uehara, S.A., Andrade, D.R., Takata, R., Gomes Junior, A.V., Vidal, M.V., 2019. The
15 effectiveness of tricaine, benzocaine, clove oil, and menthol as anaesthetics for lambari-bocarra
16 *Oligosarcus argenteus*. Aquaculture. 502, 326–331.
17 <https://doi.org/10.1016/j.aquaculture.2018.12.054>
- 18 Val, A.L. (1986) Hemoglobinas de *Colossoma macropomum* Cuvier, 1818 (Charcoidei,
19 Pisces): Aspectos adaptativos (Ilha da Marchantaria, Manaus, AM). Tese de Doutorado.
20 INPA/FUA, Manaus. 112p
- 21 Valladão, G.M.R., Gallani, S.U., Pilarski, F., 2016. South American fish for continental
22 aquaculture. Rev. in Aquacult., 10, 351–369. DOI <https://doi.org/10.1111/raq.12164>.
- 23 Vasconcelos, S.M., Goulart, M.O., Moura, J.B., Manfredini, V., Benfato, M.S., Kubota, L.T.,
24 2007. Espécies reativas de oxigênio e de nitrogênio, antioxidantes e marcadores de dano
25 oxidativo em sangue humano: Principais métodos analíticos para sua determinação. Química.
26 Nova, 30, 1323–1338. <http://dx.doi.org/10.1590/S0100-40422007000500046>
- 27 Velisek, J., Stara, A., Li, Z-H., Silovska, S., Turek, J., 2011. Comparison of the effects of four
28 anaesthetics on biochemical blood profiles. Aquaculture. 310, 369-375.
29 <https://doi.org/10.1016/j.aquaculture.2010.11.010>.
- 30 Ventura-Lima, J., de Castro, M.R., Acosta, D., Fattorini, D., Regoli, F., de Carvalho, L.M.,
31 Bohrer, D., Geracitiano, L.A., Barros, D.M., Marins, L.F.F., da Silva, R.S., Bonan, C.D., Bogo,
32 M.R., Monserrat, J.M. 2009. Effects of arsenic (As) exposure on the antioxidant status of gills
33 of the zebrafish *Danio rerio* (Cyprinidae). Comparative Biochemistry and Physiology Part C:
34 Toxicology & Pharmacology, 149(4), 538- 543.
- 35 Vera, L.M, Montoya, A., Sánchez-Vázquez, F.J., 2013. Effectiveness of the anaesthetic MS-
36 222 in gilthead seabream, *Sparus aurata*: Effect of feeding time and day-night variations in
37 plasma MS-222 concentration and GST activity. Physiology & Behavior 110-111, 51-57.
- 38 Vidal, L.V.O., Albinati, R.C.B., Albinati, A.C.L., Lira, A.D., Almeida,T. R., Santos, G.B.,
39 2008. Eugenol como anestésico para a tilápia-do-nilo. Pesquisa Agropecuaria Brasileira, [s. l.],
40 v. 43, n. 8, p. 1069–1074.
- 41 Vilhena, C.S., Nascimento, L.A.S., Andrade, E.H.A., Silva, J.K.R., Hamoy, M., Torres, M.F.,
42 Barbas, L.A.L., 2019. Essential oil of *Piper divaricatum* induces a general anaesthesia-like
43 state and loss of skeletal muscle tonus in juvenile tambaqui, *Colossoma macropomum*.
44 Aquaculture, 510, 169-175.

- 1 Wang, X., Xu, W., Zhou, H., Zhang, Y., Gao, W., Zhang, W., Mai, K. 2018. Reduced
2 glutathione supplementation in practical diet improves the growth, anti-oxidative capacity,
3 disease resistance and gut morphology of shrimp *Litopenaeus vannamei*. Fish and Shellfish
4 Immunology, 73, 152-157 Zahl, I.H., Kiessling, A., Samuelsen, O.B., Hansen, M.K., 2009.
5 Anaesthesia of Atlantic cod (*Gadus morhua*) – effect of pre-anaesthetic sedation, and
6 importance of body weight, temperature and stress. Aquaculture 295, 52–59. DOI
7 [10.1016/j.aquaculture.2009.06.019](https://doi.org/10.1016/j.aquaculture.2009.06.019).
- 8 Weber, R. A.; Peleteiro, J. B.; Martín, L. O. G.; Aldegunde, M., 2008. The efficacy of 2-
9 phenoxyethanol, metomidate, clove oil and MS-222 as anaesthetic agents in the Senegalese
10 sole (*Solea senegalensis* Kaup 1858). Aquaculture, [s. l.], v. 288, p. 147–150.
- 11 Wu, S.M., Liu, J.H., Shu, L.H., Chen, C.H. 2015. Anti-oxidative responses of zebrafish (*Danio*
12 *rerio*) gill, liver and brain tissues upon acute cold shock. Comparative Biochemistry and
13 Physiology Part A: Molecular & Integrative Physiology, 187, 202-213.
- 14 Woody, C.A., Nelson, J., Ramstad, K., 2002. Clove oil as an anaesthetic for adult sockeye
15 salmon: field trials. Journal of Fish Biology, [s. l.], v. 1, p. 1–8.
- 16 Yang, J., Uchida, I., 1996. Mechanisms of etomidate potentiation of GABA_A receptor-gated
17 currents in cultured postnatal hippocampal neurons. Neuroscience. 73, 69–78.
- 18 Zahn, I.H., A. Kiessling, O.B. Samuelsen, Olsen, R.E., 2010. Anesthesia induces stress in
19 Atlantic salmon (*Salmo salar*), Atlantic cod (*Gadus morhua*) and Atlantic halibut (i). Fish
20 Physiol. Biochem., 36: 719-730.
- 21 Zahn, I.H., Samuelsen, O., Kiessling, A., 2012. Anaesthesia of farmed fish: Implications for
22 welfare. Fish Physiol. Biochem. 38, 201–218. <https://doi.org/10.1007/s10695-011-9565-1>.

23

1 CAPÍTULO 1

2 Geraniol and citronellol as alternative and safe phytoconstituents to induce 3 immobilization and facilitate handling of fish

4

5 Ednara Ronise L. de Araújo^a, Jhusicleide da Silva e Silva^b, Larissa Matias Lopes^b, Marcelo
6 Ferreira Torres^b, Brenda M. P. Alho da Costa^b, Cristine Bastos do Amarante^c, Moisés Hamoy^{d,1},
7 Luis André L. Barbas^{b,2}, Luís André Sampaio^{a,3}

8

9 ^aLaboratório de Piscicultura Estuarina e Marinha, Programa de Pós-graduação em Aquicultura,
10 Universidade Federal do Rio Grande, Instituto de Oceanografia, Rio Grande – RS, Brazil

11 ^bLaboratório de Aquacultura de Espécies Tropicais, Instituto Federal de Educação Ciência e
12 Tecnologia do Pará, Castanhal – PA, Brazil

13 ^cCoordenação de Ciências da Terra e Ecologia, Museu Paraense Emílio Goeldi, Belém – PA,
14 Brazil

15 ^dLaboratório de Farmacologia e Toxicologia de Produtos Naturais, Instituto de Ciências
16 Biológicas, Universidade Federal do Pará, Belém – PA, Brazil

17

18 Corresponding authors at:

19

20 * Correspondence to: M. Hamoy, Laboratório de Farmacologia e Toxicologia de Produtos Naturais, Universidade
21 Federal do Pará, UFPA Campus Belém, Rua Augusto Corrêa nº 01 Guamá, CEP 66075–110 Belém, PA, Brazil.

22 ** Correspondence to: L. A. L. Barbas, Laboratório de Aquacultura de Espécies Tropicais, Instituto Federal de
23 Educação Ciência e Tecnologia do Pará, IFPA Campus Castanhal, BR 316, Km 63 S/N, CEP 68740–970
24 Castanhal, PA, Brazil.

25 *** Correspondence to: L. A. Sampaio, Laboratório de Piscicultura Estuarina e Marinha, Universidade Federal do
26 Rio Grande, FURG, Instituto de Oceanografia, CP 474, CEP 96201–900 Rio Grande, RS, Brazil.

27 E-mail addresses: hamoyufpa@gmail.com (M. Hamoy), andre.barbas@hotmail.com (L.A.L. Barbas),
28 sampaio@mikrus.com.br (L.A. Sampaio).

29

30

31 Manuscrito publicado na revista *Aquaculture*

32 **Fator de impacto: 5.135**

33 <https://doi.org/10.1016/j.aquaculture.2021.736517>

34 Received 29 October 2020; Received in revised form 11 February 2021; Accepted 12 February 2021

35 Available online 16 February 2021

1 **Abstract**

2 The efficacy of a product as an anaesthetic can be determined through combining behavioural
3 assessment and the evaluation of selected electrophysiological markers, such as the
4 electromyogram (EMG) and electrocardiogram (ECG) for muscle contraction power and
5 cardiac function characterizations, respectively. This study aimed to evaluate the anaesthetic
6 efficacy of geraniol (GRL) and citronellol (CTL) in tambaqui juveniles, *Colossoma*
7 *macropomum*, through concentration-response trials, and their effects on behaviour and
8 cardiorespiratory responses. Fish (24.78 ± 2.50 g) were assayed into two experimental groups:
9 I – Behavioural Assessment: In which six concentrations were tested (10; 30; 50; 70; 90; and
10 $110 \mu\text{L L}^{-1}$) for each compound. For both isolates the concentration of $10 \mu\text{L L}^{-1}$ did not induce
11 any signs of anaesthesia. As for the other concentrations, all fish were anaesthetized and fully
12 recovered according to behaviour evaluation. Concentrations of $70 \mu\text{L L}^{-1}$ GRL and $90 \mu\text{L L}^{-1}$
13 CTL were considered the most effective doses as they promoted anaesthesia and allowed for
14 recovery within appropriate time intervals; II – Electrophysiological Characterization:
15 Concentrations of $70 \mu\text{L L}^{-1}$ GRL and $90 \mu\text{L L}^{-1}$ CTL were used for the recordings of EMG,
16 ECG, opercular beat intensity and rate (OBI and OBR), and heart rate (HR). For both
17 experiments, nine fish per concentration ($n = 9$) per analysis were used and each animal was
18 considered a replicate. Our results demonstrated that geraniol and citronelol induced full body
19 immobilization, which resulted at least in part, from the myorelaxant properties of these
20 compounds. GRL and CTL at $70 \mu\text{L L}^{-1}$ and $90 \mu\text{L L}^{-1}$, respectively were sufficient to render
21 fish fully and rapidly immobilized. Both products transiently reduced ventilation during
22 anaesthesia, nevertheless allowing for complete recovery after exposure. Although either
23 isolate significantly decreased heart rates, they did not compromise resumption of normal
24 cardiac function. In general, no mortalities were observed and all animals recovered after
25 exposure. Both products could be considered safe alternatives for fish handling and other
26 aquaculture-related activities that might require fish immobilization.

27

28 1. INTRODUCTION

29 Intensive aquaculture demands close monitoring and frequent handling of aquatic
30 organisms for biometrics, transport, spawning, and other potentially stressful procedures
31 (Façanha and Gomes, 2005; Ross and Ross, 2008). The use of stress-relieving agents such as
32 anaesthetics has increased in fish farming to mitigate stress, ensure increased yields, better

1 health conditions and survival rates, and also for welfare purposes (Sneddon, 2012; Barbas et
2 al., 2017a, 2017b; Aydin and Barbas, 2020).

3 A general anaesthetic should act promptly on the central nervous system (CNS)
4 without further complications to the fish. Moreover, anaesthetics are expected to reversibly
5 promote CNS depression with loss of sensation and response to environmental stimuli
6 (Sylvester, 1975; Ross and Ross, 2008). The choice of an anaesthetic is usually associated with
7 economic feasibility and depends on legal constraints.

8 Several synthetic substances have been used to induce anaesthesia and facilitate stress
9 prevention, including products such as benzocaine and methanesulfonate of tricaine (MS-222),
10 which are commonly used drugs (Gomes et al., 2001; Cotter and Rodnick, 2006; Sneddon,
11 2012). However, some studies have warned about undesirable effects such as bleeding,
12 hyperglycaemia, loss of mucus, olfactory problems, intense irritability, damage to the corneas,
13 stress and death (Losey and Hugie, 1994; Ross et al., 2007; Sneddon, 2012; Aydin and Barbas,
14 2020).

15 On the other side, several studies have shown advantages with the use of natural
16 products, e.g., herbal extractives (essential oils, aqueous extracts, ethanolic and waxy plant
17 extracts, etc....) which were of similar or superior efficacy, showing less toxicity to fish
18 compared to commonly used synthetic anaesthetics (Inoue et al., 2005; Parodi et al., 2012;
19 Barbas et al., 2016; Barbas et al., 2017a, 2017b). Natural anaesthetics or plant-derived stress
20 relieving products could be less expensive compared to synthetic drugs, without compromising
21 safety and efficacy (Cho and Heath, 2000; Gonçalves et al., 2008).

22 Citronella grass, *Cymbopogon nardus*, is a plant originated from Sri Lanka and India
23 (Mahalwal and Mahalwal and Ali, 2003) that has shown antibacterial and antioxidant properties
24 in vitro being widely used in teas for its soothing properties (Castro et al., 2010; Park et al.,
25 2015). Its anaesthetic activity has been suggested by Barbas et al. (2017a) when exposing
26 juveniles of tambaqui, *Colossoma macropomum*, to citronella essential oil (EO) in baths.
27 However, there is no information as to which major constituent of this oil would be responsible
28 for the biological and behavioural effects observed in anaesthetized fish, or alternatively, if
29 such effects could be a result of synergistic action among its phytoconstituents.

30 The major chemical compounds of *C. nardus* are the monoterpenes geraniol and
31 citronellol, which are responsible for the characteristic odour of the EO (Castro et al., 2010). In
32 addition to the use of these compounds in various commercial products, including cosmetics
33 and fragrances, geraniol exerted a broad pharmacological activity as an antiinflammatory,
34 antioxidant, anti-ulcerative, neuroprotective, acaricidal, and antiseptic agent, inhibiting fungal

1 and bacterial growth (Martins, 2006; Solórzano-Santos and Miranda-Novales, 2012). Moreover
2 it presented cytoprotective and antioxidant effects in animal models subjected to oxidative
3 stress (Tiwari and Kakkar, 2009). Citronellol has shown bacteriostatic and bactericidal
4 activities (Lopez-Romero et al., 2015) as well as antifungal, antispasmodic, analgesic and
5 anticonvulsant properties (De Sousa et al., 2006; Quintans-Júnior et al., 2008). Although these
6 compounds are commercially available at relatively affordable prices, there are no studies on
7 the potential of these isolates as general anaesthetics for fish.

8 Behavioural assessment is usually reported in literature as a standard methodology for
9 fish anaesthesia evaluation; however, electrophysiological evaluation should be more
10 frequently used to corroborate such observations as they increase the validity, objectivity, and
11 consistency of the data. A number of important biological phenomena are accompanied by
12 cellular electrical manifestations associated with selective ion permeability transport
13 mechanisms (K^+ , Na^+ and Cl^-) participating in the generation of membrane potential in cells.
14 These ion fluxes are responsible for the electrical transmission in live animals through different
15 channels, throughout the nervous system and participating in numerous physicochemical and
16 biomechanical processes such as muscle contraction (Mudado et al., 2003; Delattre, 2007) and
17 cardiorespiratory function (De Souza et al., 2019). The evaluation of the electromyogram,
18 electroencephalogram, frequency and cardiorespiratory rhythms allows for a more detailed
19 understanding of the neuropharmacological phenomena that take place in animals exposed to
20 general anaesthetics. For more invasive procedures such as surgeries or euthanasia, recordings
21 of these markers enable the evaluation of the muscle relaxation extent attained and CNS
22 depression. Cardiorespiratory monitoring throughout and after anaesthesia will allow for a life-
23 compatibility assessment and shed light on the impacts that might be implicated with these vital
24 systems (Barbas et al., 2017b; De Souza et al., 2019).

25 Tambaqui, *C. macropomum*, is a native species to the Amazon River, Orinoco and its
26 tributaries, being a common fish species in floodplain lakes and an economically important fish
27 to many Northern Latin American countries. It is characterized by its resistance to farming
28 conditions and diseases, showing good growth rates. Such features were essential for the
29 improvement of its rearing conditions (Saint-Paul, 1986; Valladão et al., 2016).

30 Different studies have used juveniles of tambaqui in anaesthesia trials (Façanha and
31 Gomes, 2005; Roubach et al., 2005; Barbas et al., 2016). This species has been reinforced as a
32 promising in vivo model for tests with novel anaesthetics, in which not only the anaesthetic
33 potential of herbal products has been evaluated, but also their stress relieving and antioxidant

1 properties (Barbas et al., 2016; Barbas et al., 2017a, 2017b; De Souza et al., 2019; Aydin and
2 Barbas, 2020).

3 Thus, this study aimed to evaluate the anaesthetic-like properties of geraniol and
4 citronellol in tambaqui juveniles through concentration-response trials and their effects on
5 behaviour, muscle contraction power and cardiorespiratory modulation.

6

7 2. MATERIAL AND METHODS

8 2.1 Acquisition of the plant constituents

9 The oils were purchased from a commercial establishment (AROMACH
10 ingredientsTM) and stored in amber glass bottles at 4 °C until use. According to the
11 manufacture's information the products were certified for purity as follows: geraniol (GRL)
12 (68.2%) and citronellol (CTL) (96.0%).

13 2.2 Animals and acclimation period

14 All procedures in this study were approved by the Animal Ethics Committee of the
15 Federal Institute of Para/IFPA – Castanhal – Protocol # 6686081118 (ID 000021).

16 For this study, juveniles of tambaqui, *Colossoma macropomum* were purchased from
17 a commercial farm with initial average weight of 3.0 ± 0.5 g. Prior to the experiments, animals
18 were acclimated for 30 days to a recirculation system (six 300-L fibre tanks connected to a
19 biofilter), continuously aerated, at a density of 33 fish per tank (~ 0.35 kg/m³) and photoperiod
20 set at 12 h Light: 12 h Dark. Water quality parameters were controlled and maintained as
21 follows: pH 6.3 ± 0.6 , temperature 28.5 ± 0.6 °C and dissolved oxygen 5.3 ± 0.4 mg L⁻¹ were
22 measured using a multiparameter equipment (HANNATM HI9828). Total ammonia nitrogen
23 (TAN) 1.97 ± 0.29 mg L⁻¹ N-NH₃ was determined following methodology of Unesco (1983),
24 nitrite 0.16 ± 0.02 mg L⁻¹ N-NO₂ was evaluated according to Bendschneider and Robinson
25 (1952), and alkalinity (57.7 ± 8.8 mg CaCO₃ L⁻¹) was evaluated by titration according to Eaton
26 et al. (2005) guidelines.

27 The feed (commercial feed - 32% protein) was supplied three times daily until satiety.

28 For the trials, fish were assayed in groups (treatments) for the evaluation of times to
29 anaesthesia and recovery (latencies) (Experiment I) and the effects of the compounds on
30 selected electrophysiological markers (Experiment II) as described ahead.

1 2.3 *Experiment I: Behavioural Assessment*

2 Stock solutions of the compounds were prepared by pre-dilution in ethanol (96%) at a
3 1:9 ratio (oil: ethanol). Thereafter, anaesthetic efficacy of the oils was tested in six
4 concentrations (10; 30; 50; 70; 90; and 110 $\mu\text{L L}^{-1}$) for each compound: GRL and CTL. After
5 acclimation, nine fish (24.78 ± 2.50 g) per concentration were used and each animal was
6 considered a replicate ($n = 9$). Latencies (in seconds) to anaesthesia and recovery stages were
7 visually assessed and recorded with a digital stopwatch. For the anaesthesia tests, animals were
8 transferred to aquaria (30L) containing 15 L water added by the respective anaesthetic
9 concentration. For recovery evaluation an identical aquarium was used with the same volume
10 of clean water. Fish were observed individually, always by the same observer and used only
11 once. Two control groups (9 animals per group) were monitored in an aquarium similar to the
12 one used in the tests. Sham fish were handled in anaesthetic/ethanol-free water and the other
13 control group was exposed to ethanol-only added water (vehicle control) at a concentration
14 which corresponded to the highest volume used to dilute the highest concentration of oil. The
15 same water from the maintenance tanks was used throughout the behavioural evaluation.

16 The maximum observation time was 30 min, including the controls. Behavioural cues
17 associated with induction and recovery were characterized according to Park et al. (2008) with
18 modifications as suggested by Barbas et al. (2016): agitation (A1), loss of equilibrium and
19 erratic swimming (A2) and absence of or minimum opercular beating with loss of reaction to
20 tail pinch stimulus (A3) were used as behavioural indicators of anaesthesia induction; erratic
21 swimming and recovery of equilibrium (R1), normal opercular beating and normal swimming
22 (R2) were used as markers to evaluate recovery.

23 Upon reaching A3 stage, the fish were measured, weighed and immediately transferred
24 to the anaesthetic-free aquarium, for the observation and registration of the different stages of
25 recovery. The water was completely changed and the aquariums were washed after each test.
26 After full recovery (R2), animals were handled back to their maintenance tanks, according to
27 their respective treatments, and monitored for 72 h to check for mortalities.

28 2.4 *Experiment II: Electrophysiological Characterization*

29 The concentrations used for the recordings were 70 $\mu\text{L L}^{-1}$ GRL and 90 $\mu\text{L L}^{-1}$ CTL,
30 as they promoted deep and fast immobilization, i.e., anaesthesia (< 3 min) (see results in Table
31 1). For the recordings of the electrical signals and analyses of the acquired data, the
32 methodologies of Barbas et al. (2017a) and De Souza et al. (2019) were followed.

1 Table 1: Latencies to induction and recovery stages (seconds \pm SD) in tambaqui, *Colossoma macropomum*
 2 juveniles exposed to anaesthetic concentrations of geraniol (GRL) and citronellol (CTL).

[μ L L $^{-1}$]	Latencies to stages of induction (s)			Latencies to stages of recovery (s)	
	A1	A2	A3	R1	R2
GRL	10	-	-	-	309 ± 69
	30	-	192 ± 43^a	528 ± 163^a	137 ± 53
	50	-	104 ± 32^b	240 ± 42^b	169 ± 59
	70	-	71 ± 17^{bc}	191 ± 40^b	146 ± 49
	90	-	73 ± 13^{bc}	170 ± 30^b	189 ± 41
	110	-	52 ± 9^c	130 ± 33^b	179 ± 96
CTL	10	-	-	-	449 ± 125
	30	-	153 ± 55^a	422 ± 140^a	160 ± 23^a
	50	-	104 ± 31^b	293 ± 84^b	215 ± 55^{ab}
	70	-	79 ± 23^b	261 ± 68^b	$261 \pm 77^{bc*}$
	90	-	87 ± 18^b	183 ± 22^{bc}	$323 \pm 77^{c*}$
	110	35 ± 7	67 ± 19^b	103 ± 36^c	$314 \pm 66^{c*}$
					$699 \pm 132^{b*}$

3 Traces denote absence of any stage after a 30 min observation. The times to reach the different stages of induction
 4 or recovery are cumulative. Lower case letters in the same column indicate significant differences between
 5 concentrations within the same anaesthetic and values with an asterisk indicate significant differences within the
 6 same concentrations between anaesthetics (two-way ANOVA, Tukey's test, $P < 0.05$), $n = 9$.

7
 8 The juveniles of tambaqui (24.78 ± 2.50 g) were assayed into four groups: a) control
 9 (basal), b) fish submitted to GRL induction and recovery, c) fish submitted to CTL induction
 10 and recovery, and d) fish submitted to ethanol (vehicle control) and recovery (if applicable).
 11 Recordings of electromyography (EMG), opercular beat intensity (OBI) and opercular beat rate
 12 (OBR), electrocardiography (ECG) and heart rate (HR) were then carried out. Nine fish per
 13 electrophysiological recording were used ($n = 9$), including controls and ethanol-exposed fish
 14 for each indicator. Mean values for EMG and ECG (including calculations of HR) were
 15 obtained from the same animals, and the same procedure was used for the OBI and OBR mean
 16 values which were measured in the same group of fish. The same water from the maintenance
 17 tanks was used during the recordings.

18 After recordings, the experimental animals were killed with a blow to the head
 19 followed by mechanical destruction of the brain.

20 2.5 Statistical analyses

21 To verify the homogeneity of variances and normality, data were submitted to Levene
 22 and Kolmogorov-Smirnov tests, respectively. After assumptions were met, comparisons of
 23 mean latencies for induction and recovery stages were made using two-way ANOVA (with
 24 concentrations and anaesthetic being used as factors) followed by Tukey's test. Comparisons

1 among mean amplitudes (power) of EMG and OBI, mean heart rate (HR) and mean opercular
2 beat rate (OBR) were performed using one-way ANOVA followed by Tukey's test. Moreover,
3 Pearson correlation was carried out between times to A3 or R2 stages and increasing
4 concentrations of GRL or CTL. The GraphPad Prism™ 5 software was used for the analyses
5 and the minimum significance level was set at $p < 0.05$ in all cases (Zar, 1996).

6 **3. RESULTS**

7 *3.1 Behavioural assessment*

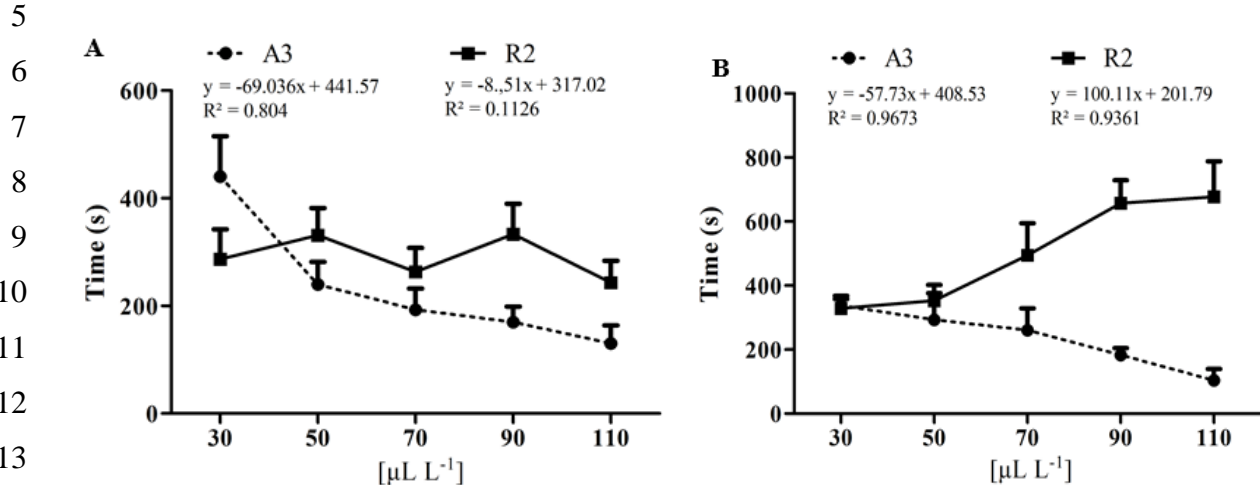
8 Control fish and fish exposed to ethanol (vehicle) did not show any signs of
9 anaesthesia after 30 min observation. No mortality was observed during exposure to the
10 anaesthetics or throughout 72 h in observation. All results for latencies to anaesthesia and
11 recovery are shown in Table 1.

12 Agitation (A1) was not observed upon exposure to either anaesthetic, except at $110 \mu\text{L}$
13 L^{-1} CTL after 35 ± 7 s. For both GRL and CTL exposure, the concentration of $10 \mu\text{L L}^{-1}$ did
14 not induce A1, A2 and A3 stages, however, mild sedation was attained with resumption of
15 normal swimming (R2) after 309 ± 69 s and 449 ± 125 s for GRL and CTL, respectively. Time
16 to reach A3 stage in group exposed to anaesthesia with GRL was longer at $30 \mu\text{L L}^{-1}$ ($528 \pm$
17 163 s) ($p < 0.05$) relative to the other concentrations within the same anaesthetic. Likewise, the
18 same pattern is observed for CTL exposure, with 90 and $110 \mu\text{L L}^{-1}$ concentrations showing
19 even lower latencies ($p < 0.05$) compared to other concentrations. Yet, times to reach A3 stage
20 were similar within the same concentrations and between anaesthetics, not showing significant
21 differences.

22 Regardless of concentration, GRL did not elicit a dose-dependent response after
23 induction, showing no significant differences among mean times in recovery. On the other
24 hand, R2 in CTL-exposed fish was positively correlated with increasing concentrations, being
25 shorter ($p < 0.05$) at 30 and $50 \mu\text{L L}^{-1}$ than at the concentrations of 70 , 90 and $110 \mu\text{L L}^{-1}$. As
26 for the recovery response within the same concentration and between anaesthetics, return times
27 were longer ($p < 0.05$) for CTL-exposed fish at 70 , 90 and $110 \mu\text{L L}^{-1}$. Irrespective of
28 concentration or time to R2, all fish were considered fully recovered in the behavioural
29 evaluation.

30 For GRL (Fig. 1A), the higher the concentration of the product, the shorter the
31 induction time (A3) was. The same pattern of induction with CTL was observed (Fig. 1B). On
32 the other hand, during recovery (R2) no clear pattern could be observed, as time for recovery

1 from GRL exposure did not vary significantly over increasing concentrations. On the other
 2 hand, the CTL trial showed a clear opposite correlation in time vs. concentration. In the
 3 equations, "y" corresponds to the time required for deep anaesthesia (A3) while "x"
 4 corresponds to the GRL and CTL concentrations used.



15 Fig. 1: Trends of induction (A3) and recovery (R2) in juvenile tambaqui, *Colossoma macropomum* exposed to
 16 short-term baths with increasing concentrations of geraniol (A) e citronellol (B).

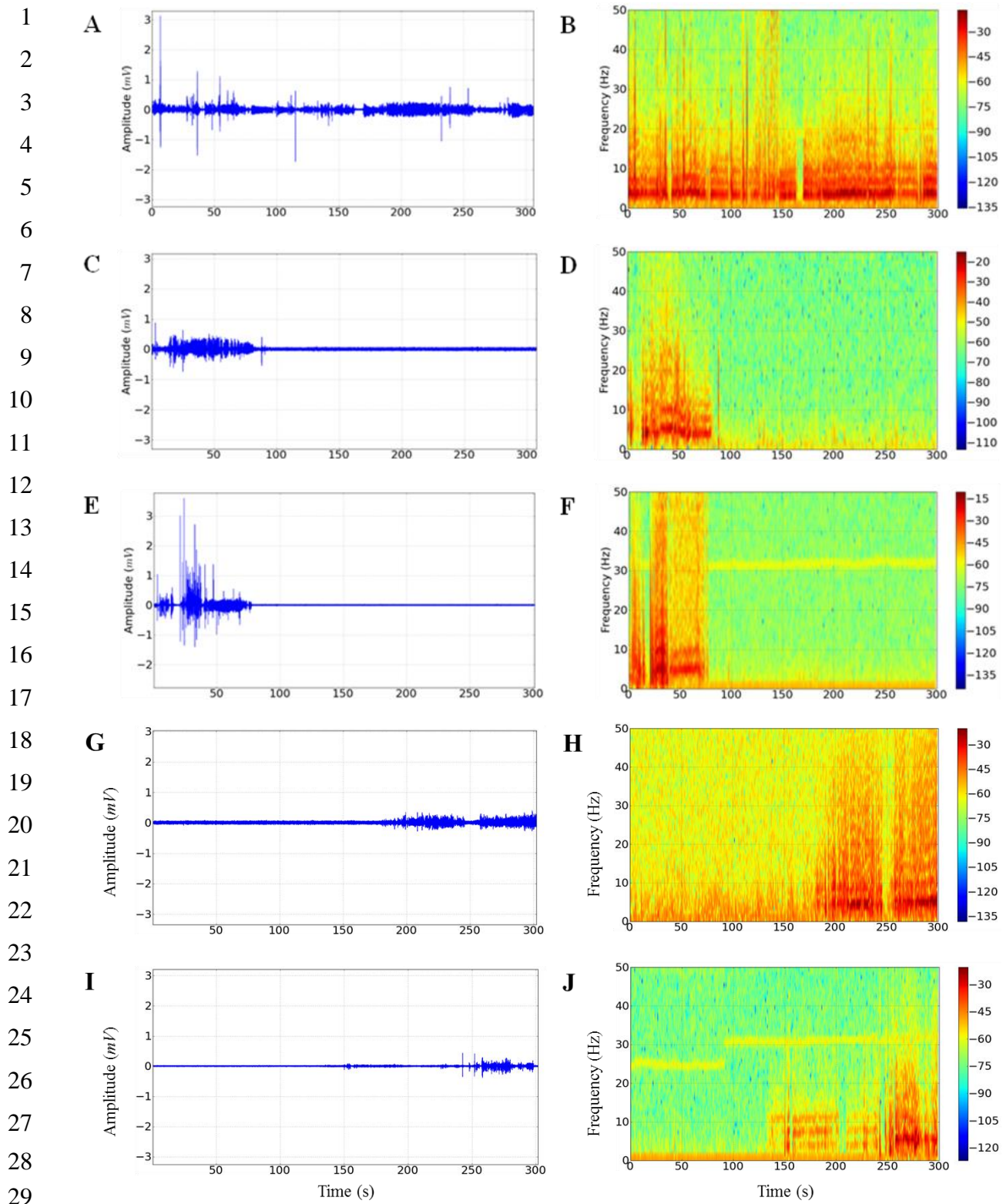
17 3.2 Electrophysiological responses

18 Since no differences ($p > 0.05$) were observed between mean amplitude and frequency
 19 values of the control (basal) and ethanol (vehicle control) groups for any of the measured
 20 electrophysiological markers, only mean values of the former (basal) were used for comparison
 21 purposes with GRL and CTL-exposed groups.

22 3.2.1 Electromyography (EMG)

23 Electromyographic tracings showed continuous activity with intense muscle
 24 contraction under normal conditions (Fig. 2A). Signal intensity increased in frequencies up to
 25 20 Hz, as observed in the correspondent frequency spectrogram (Fig. 2B). Mean power
 26 amplitude observed in the control (basal values) corresponded to $7.62 \pm 0.72 \text{ mV}^2 / \text{Hz} \times 10^{-3}$
 27 (Fig. 3). Dorsal muscle contraction activity is observed in Fig. 2C for GRL-exposed fish,
 28 following with myorelaxation after 100 s, as also evidenced by the frequency spectrogram (Fig.
 29 2D). In earlier moments of the induction, i.e., during the first half of the record (Ind I_{GRL}) the
 30 average amplitude ($10.67 \pm 0.86 \text{ mV}^2 / \text{Hz} \times 10^{-3}$) was significantly higher than that of the basal
 31 group. Mean amplitude significantly reduced to $0.14 \pm 0.06 \text{ mV}^2 / \text{Hz} \times 10^{-3}$ in the second half
 32 of the induction (Ind II_{GRL}) as observed in Fig. 3.

33



30 Fig. 2: Electromyographic records (EMG) of tambaqui, *Colossoma macropomum* in the basal state (A and B);
 31 submitted to short-term baths with geraniol (GRL) at $70 \mu\text{L L}^{-1}$ (C and D), citronellol (CTL) at $90 \mu\text{L L}^{-1}$ (E and
 32 F) and during recovery after anaesthesia with GRL (G and H) and CTL (I and J). Recordings were performed for
 33 300 s. A colorimetric scale is used in the frequency spectrograms whereby the reddish colours indicate a more
 34 intense electrical signal over time and across different frequencies.

35

Differently from GRL, CTL induced a more intense excitability, which is reflected by high amplitude spikes in the first 100 s (Fig. 2E) also corroborated by the intensity of the signal in the colorimetric scale of the frequency spectrogram (Fig. 2F) within the same interval, following with muscle relaxation afterwards. This high mean amplitude is quantified in Fig. 3 with higher averages ($15.69 \pm 3.23 \text{ mV}^2/\text{Hz} \times 10^{-3}$, $p < 0.001$) relative to the control in the first half of the induction (Ind I_{CTL}), whereas during the second half of the induction with CTL (Ind II_{CTL}), mean amplitude of $0.26 \pm 0.10 \text{ mV}^2/\text{Hz} \times 10^{-3}$ was significantly lower ($p < 0.001$) compared to the control and Ind I_{CTL}.

During recovery post-anaesthesia low amplitude tracings were initially observed for both products. The resumption of muscle activity progressed over time, and muscle contraction power augmented during the second half of the tracings (Fig. 2G and I), as also evidenced by the frequency spectrograms in both cases (Fig. 2H and J). Mean amplitude of tracings for the whole recovery interval were 5.99 ± 1.15 and $2.63 \pm 0.92 \text{ mV}^2/\text{Hz} \times 10^{-3}$ for GRL and CTL-exposed fish, respectively, thus returning ($p > 0.05$) to basal values. Further, it was clear that mean amplitudes increased significantly during recovery as it can be seen when mean values were compared against values during Ind II in both cases (Fig. 3).

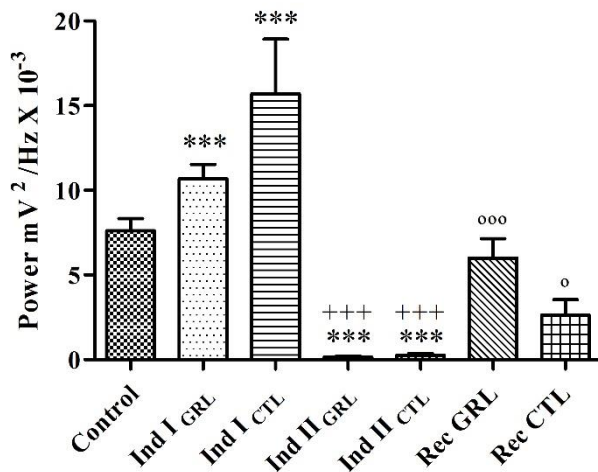


Fig. 3: Mean amplitudes recorded in the electromyogram (EMG) of *Collossoma macropomum* juveniles submitted to anaesthesia with geraniol (GRL) and citronellol (CTL). Recordings performed for 300 s in the controls, fish undergoing anaesthetic baths with GRL at $70 \mu\text{L L}^{-1}$, CTL at $90 \mu\text{L L}^{-1}$ and in recovery post-anaesthesia (Rec GRL and Rec CTL). The Ind I and Ind II periods correspond to the mean amplitude within standardized intervals from 1 to 150 s and 150 to 300 s, respectively. *** Indicates significant differences ($p < 0.001$) from Ind I to control; +++ Indicates significant differences ($p < 0.001$) from Ind II to Ind I within the same anaesthetic; ° Indicates significant differences ($^o, p < 0.05$; $^{ooo}, p < 0.001$) in Recovery compared to Ind II relative to the same anaesthetic, [ANOVA and Tukey's test ($p < 0.05$, $n = 9$)].

1 3.2.2 *Opercular Beat Intensity (OBI) and Opercular Beat Rate (OBR)*

2 The tracings in the control group (Fig. 4A) showed constant and regular waves, also
3 corroborated by the pattern attained in the frequency spectrogram (Fig. 4B) during normal
4 beats. The mean power in the control was $3.29 \pm 0.71 \text{ mV}^2/\text{Hz} \times 10^{-3}$ (Fig. 5A) while OBR
5 was calculated to be at $114.2 \pm 4.74 \text{ bpm}$ (Fig. 5A and B).

6 Upon contact with GRL and within the 150 s of the recordings, a transient apnea was
7 observed, followed later on by an adaptation to a regular beating (Fig. 4C). This reduction in
8 amplitude can be confirmed by the respective mean OBI value $0.52 \pm 0.16 \text{ mV}^2/\text{Hz} \times 10^{-3}$ (Fig.
9 5A). Nevertheless, the OBR in Ind I_{GRL} is higher ($p < 0.05$) ($122.8 \pm 4.06 \text{ bpm}$) than that of the
10 basal group, and the frequency spectrogram (Fig. 4D) showed higher intensity of the signal
11 mainly in frequencies below 10 Hz. However, during Ind II_{GRL}, OBR decreased to 62.44 ± 7.27
12 bpm ($p < 0.001$) compared to the control and compared to the first half of the induction period
13 (Fig. 5B).

14 CTL decreased the opercular beat power throughout the induction period (Fig. 4E)
15 which was reduced ($p < 0.001$) relative to basal recordings (Fig. 5A). A more irregular
16 distribution and less intense signal can be seen in the CTL frequency spectrogram (Fig. 4F).
17 Although a reduced mean amplitude value for OBI was recorded ($0.27 \pm 0.10 \text{ mV}_2/\text{Hz} \times 10^{-3}$)
18 compared to the control, the mean OBR was 121.8 ± 6.67 during Ind ICTL, being unchanged
19 compared to the control. Later, during Ind IICTL, the rate reduced to $62.44 \pm 7.27 \text{ bpm}$ ($p <$
20 0.001) relative to the control (Fig. 5B).

21 During recovery, both products proved to be reversible. However, GRL seemed to
22 allow for a faster recovery of the movements (Fig. 4G) as tracings showed a relative greater
23 amplitude and better energy distribution in the frequency spectrogram (Fig. 4H) compared to
24 the CTL's spectrogram as per the colour pattern attained (Fig. 4J). The OBI mean values were
25 higher ($p < 0.001$) compared to induction values for both products, 1.79 ± 0.41 and 1.39 ± 0.18
26 $\text{mV}^2/\text{Hz} \times 10^{-3}$ for GRL and CTL, respectively (Fig. 5A). Moreover, increased OBRs ($p <$
27 0.001) for GRL ($88.44 \pm 2.40 \text{ bpm}$) and CTL ($78.44 \pm 6.62 \text{ bpm}$) during recovery were also
28 observed compared to mean OBRs in the second half of the induction in either case (Fig. 5B).

29

30

31

32

33

34

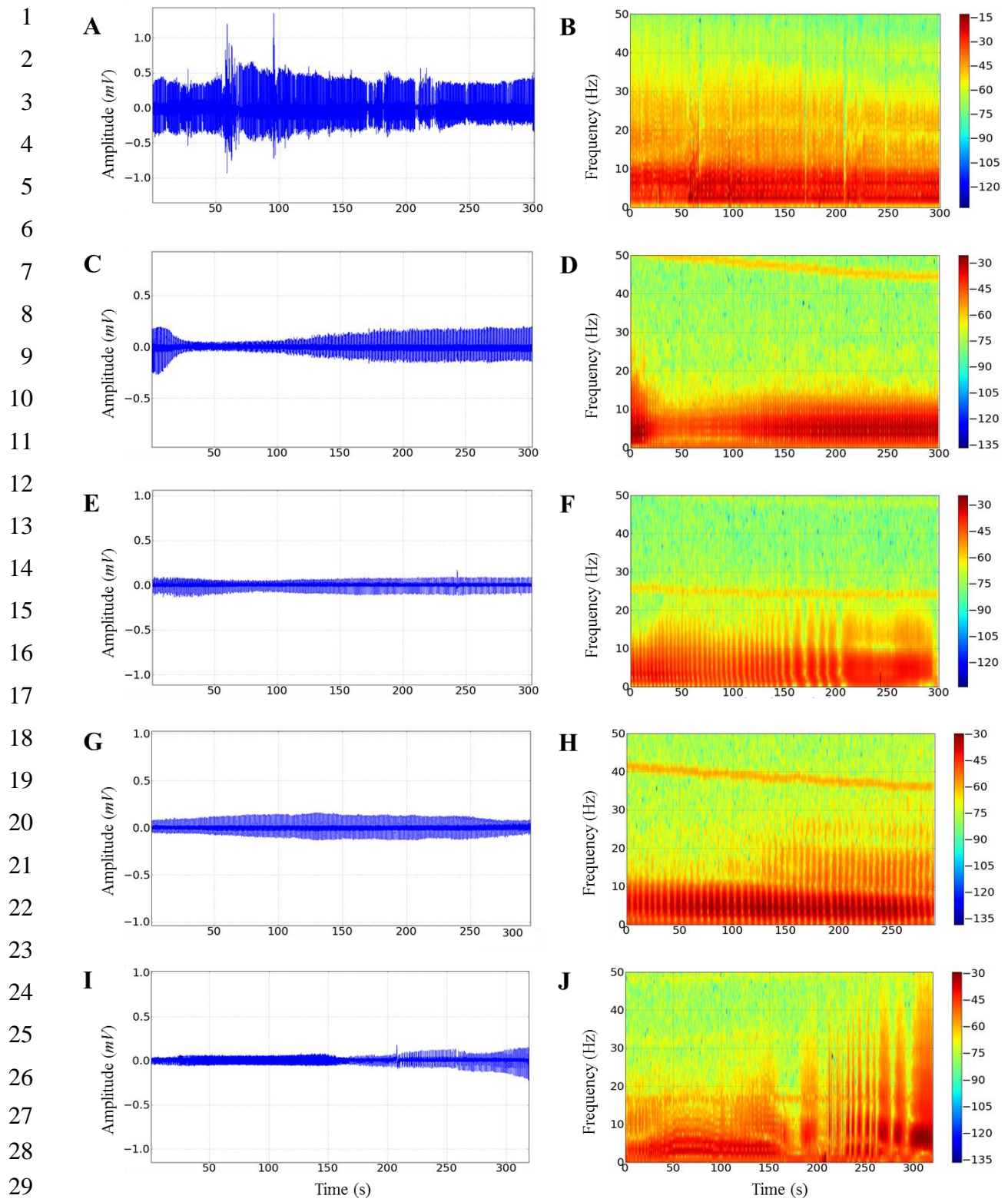


Fig. 4: Opercular beat intensity (OBI) records of tambaqui, *Colossoma macropomum* in the basal state (A and B), submitted to baths with geraniol (GRL) at 70 µL L⁻¹ (C and D) and citronellol (CTL) at 90 µL L⁻¹ (E and F) and during recovery after anaesthesia with GRL (G and H) and CTL (I and J). Recordings were performed for 300 s. A colorimetric scale is used in the frequency spectrograms whereby the reddish colours indicate a more intense electrical signal over time and across different frequencies.

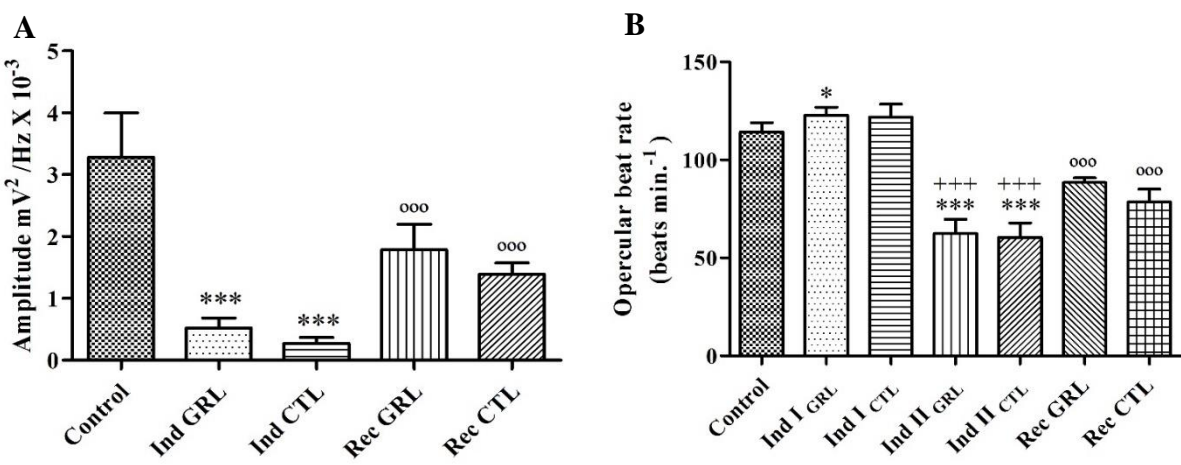


Fig. 5: Record of mean amplitude of opercular beat intensity (OBI) (A) and opercular beat rate (OBR), in beats per minute (bpm) (B) of *Colossoma macropomum* juveniles submitted to anaesthesia with geraniol (GRL) and citronellol (CTL). Recordings made in 300 s in the controls, fish submitted to anaesthetic baths with GRL at 70 $\mu\text{L L}^{-1}$, CTL at 90 $\mu\text{L L}^{-1}$ and during recovery after anaesthesia (Rec GRL and Rec CTL). The Ind I and Ind II periods correspond to the average amplitude of standardized intervals from 1 to 150 s and 150 to 300 s, respectively. * Indicates significant differences (*, $p < 0.05$; ***, $p < 0.001$) from Ind I to control; +++ Indicates significant differences ($p < 0.001$) from Ind II to Ind I within the same anaesthetic; ooo Indicates significant differences ($p < 0.001$) of Recovery in relation to Ind II within the same anaesthetic, [ANOVA and Tukey's test ($p < 0.05$, $n = 9$)].

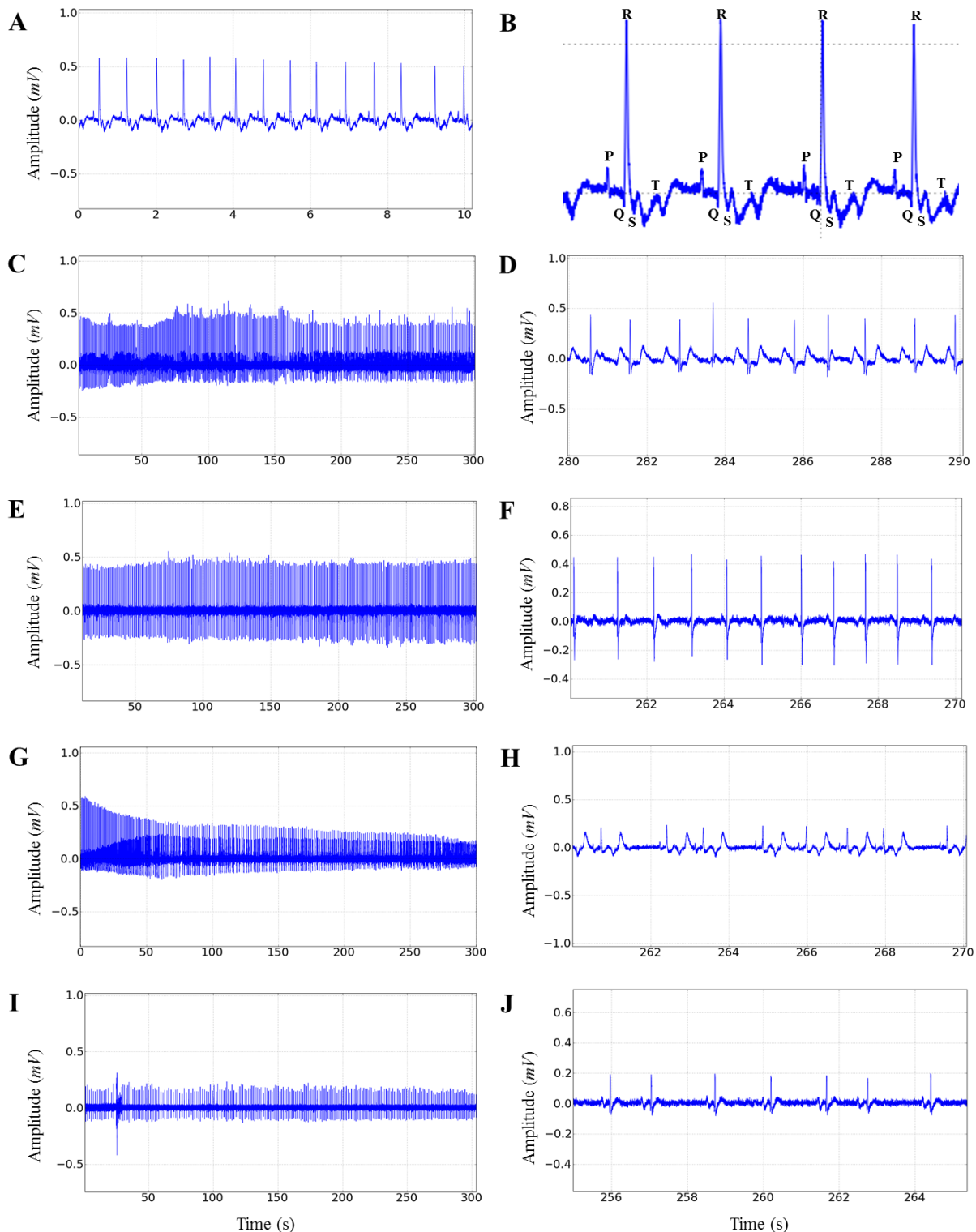
3.2.3 Electrocardiographic recordings (ECG)

The basal electrocardiogram of tambaqui is presented in Fig. 6A. Fig. 6B presents a 2-s snapshot, showing the P wave, QRS complex and T wave. The average beat rate was 104.0 ± 4.00 bpm in sham fish.

During the induction with GRL, heart rate decreased, but the amplitude of the ECG tracings was maintained, as can be seen by the regularity of the P and T waves and the amplitude of QRS complex (Fig. 6C and D). The mean frequency of heart beats in GRL-exposed fish was 59.56 ± 3.58 bpm, which was lower ($p < 0.001$) compared to the control group. Upon recovery, there was a gradual reversibility of the effect with return of amplitude without major changes in the tracings and maintenance of sinus rhythm (Fig. 6E and F), with an increase of heart rate to 70.22 ± 2.73 bpm ($p < 0.001$) in relation to the induction response (Fig. 7).

On the other hand, during induction with CTL some arrhythmia was observed, showing irregularities in the tracings, reduced amplitude, elevation of the T wave and distortion of the QRS complex at some points (Fig. 6G and H). Upon contact with CTL, a decreased heart rate 48.44 ± 2.19 bpm was observed relative to the control ($p < 0.001$) (Fig. 7). During recovery,

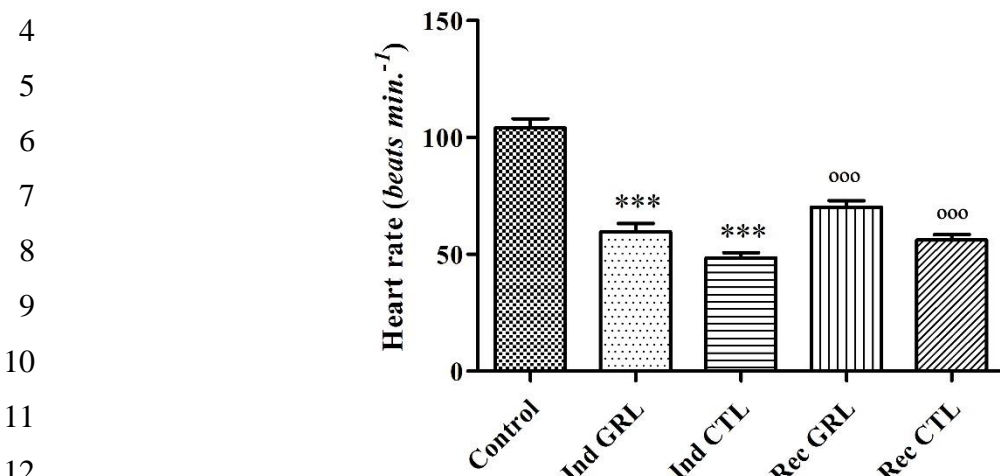
1 a reduced amplitude (Fig. 6I and J) and a significantly depressed heart rate (56.00 ± 2.45 bpm)
 2 was still observed ($p < 0.001$) compared to responses during induction (Fig. 7).



31 Fig. 6: Normal electrocardiographic (ECG) tracings of tambaqui *Colossoma macropomum* (10 s) (A) and 2-s
 32 snapshots showing the P and T waves, and the QRS complex (B); and fish undergoing short-term baths with
 33 geraniol (GRL) at $70 \mu\text{L L}^{-1}$ (C and D) and during recovery after anaesthesia (E and F), citronellol (CTL) at 90

1 $\mu\text{L L}^{-1}$ (G and H) and during recovery after anaesthesia (I and J). Recordings were all performed for 300 s (left
2 panels) showing 10-s fragment amplifications (right panels except for B panel).

3



13 Fig. 7: Heart rate (HR), in beats per minute (bpm) of *Colossoma macropomum* juveniles submitted to anaesthesia
14 with geraniol (GRL) and citronellol (CTL). Recordings made in 300 s in the controls, fish submitted to anaesthetic
15 baths with GRL at $70 \mu\text{L L}^{-1}$ (Ind GRL), CTL at $90 \mu\text{L L}^{-1}$ (Ind CTL) and during recovery post anaesthesia (Rec
16 GRL and Rec CTL). *** Indicates significant differences ($p < 0.001$) of Induction relative to the control; ooo
17 Indicates significant differences (ooo, $p < 0.001$) of Recovery in relation to Induction within the same anaesthetic,
18 [ANOVA and Tukey's test ($p < 0.05$, $n = 9$)].

19

20 4. DISCUSSION

21 Throughout exposure, both products induced a reversible full body immobilization and
22 significantly modulated electrophysiological responses with distinctive characteristics. GRL
23 and CTL did not elicit agitated behaviour during exposure except for the concentration of 110
24 $\mu\text{L L}^{-1}$ in the latter. Although anaesthetic induction should preferably occur with low or no
25 hyperactivity, such a reaction is commonly observed in animals exposed to anaesthetic baths
26 with different substances, as reported in other studies (Gomes et al., 2001; Ross and Ross, 2008;
27 Barbas et al., 2016; Barbas et al., 2017a; De Souza et al., 2019; Vilhena et al., 2019).

28 Anaesthetics act on the fish CNS, which are usually anaesthetized in baths added with
29 products that can be rapidly absorbed through the gills and thus enter the bloodstream (Ross
30 and Ross, 2008). The time to render fish anaesthetized is important as it can influence the stress
31 response and a long induction time can negatively impact recovery (Sladky et al., 2001; Woody
32 et al., 2002; Zahl et al., 2009; Barbas et al., 2016). Ideally, an anaesthetic should induce rapid
33 immobilization and allow for a fast recovery in an as much as possible stress-free condition.
34 Our findings showed that induction time was inversely correlated with concentration, which

1 corroborates other similar studies on fish (Barbas et al., 2016; Barbas et al., 2017a; Fujimoto et
2 al., 2017; De Souza et al., 2019; Vilhena et al., 2019).

3 Concentrations of $70 \mu\text{L L}^{-1}$ GRL and $90 \mu\text{L L}^{-1}$ CTL were sufficient to render fish
4 fully immobilized in approximately three minutes, and thus complying with the guidelines as
5 proposed for fish anaesthesia (Ross and Ross, 2008; Barbas et al., 2017a, 2017b). Compounds
6 used in this study are the major components of the *C. nardus* essential oil, and concentrations
7 used herein were much lower than those reported by Barbas et al. (2017a) when investigating
8 the effects of citronella essential oil as an anaesthetic for *C. macropomum* juveniles. While the
9 citronella essential oil at $600 \mu\text{L L}^{-1}$ was recommended as a suitable concentration to promote
10 fast and deep anaesthesia in *C. macropomum*, our findings suggest that a 6.5 to 8.5-fold
11 reduction in concentration for an effective anaesthesia is possible when using these isolated
12 citronella essential oil derivatives. Thus, it could represent reduction of costs depending on the
13 technology used for the oil extractions.

14 Regardless of anaesthetic concentration, induction time may vary among specimens,
15 which could be related to variations in the rate of water flow across the gills (Treves-Brown,
16 2000) and the level of anaesthetic depression depending on the purpose of the procedure
17 (biometrics, surgery, transportation and others). Herein, concentrations of $30 \mu\text{L L}^{-1}$ and above
18 induced all stages of anaesthesia for either product, however, the animals showed distinct
19 responses during recovery.

20 While GRL promoted timely recovery irrespective of the concentration used, the group
21 exposed to CTL oil had longer recovery periods, i.e., more than 5 min to resumption of normal
22 swimming in anaesthetic-free water, and thus not complying with the time threshold criteria for
23 recovery. Recovery time response was inversely proportional to induction time and directly
24 correlated to increments in concentration. However, prediction of fish recovery after
25 anaesthesia is always an issue, as several studies have reported irregular responses during that
26 stage (Mylonas et al., 2005; Barbas et al., 2016; Barbas et al., 2017a; De Souza et al., 2019;
27 Vilhena et al., 2019).

28 Electrophysiological responses seemed to be consistent with a general anaesthetic
29 effect. According to the EMG data, there were clear differences in muscle contraction power in
30 the first half of the induction, showing excitability during exposure in both cases in relation to
31 the basal group. When under anaesthesia, fish are expected to show CNS depression and
32 increased muscle relaxation, which in turn will lead to reduced motor coordination, and
33 impairing the righting reflex and normal swimming behaviour. During the second half of the
34 record the oils promoted loss of muscle tonus with general immobilization, as corroborated by

1 the low amplitude in tracings, which were overlapped by A3 stage. These results are in line
2 with those reported by De Souza et al. (2019) working with *Nepeta cataria* essential oil in *C.*
3 *macropomum* juveniles and by Fujimoto et al. (2017) who reported a depression in muscle
4 contraction power in fish anaesthetized with clove oil.

5 Reversibility of the effects occurred for both products as per the EMG tracing patterns
6 observed during recovery. Overall, there was a gradual and progressive recovery in muscle
7 contraction power post-exposure, showing partial reversibility of the muscular tonus without
8 indication of excitability or spasms throughout the recordings. Mean amplitude values for
9 REC_{CTL} are below basal and REC_{GRL} values, indicating the need for a longer time for
10 resumption of the muscle contraction power as also reported in other studies using the same
11 species as a model (Barbas et al., 2017a; De Souza et al., 2019; Vilhena et al., 2019).
12 Indisputably, these results show that the myorelaxant effects of GRL and CTL are reversible.

13 Both anaesthetics reduced the power and frequency of the opercular beat throughout
14 the first half of the recovery. In animals exposed to GRL, the OBI decreased by 84.17% during
15 induction and OBR by 45.33% during the second half of the record. For the group in contact
16 with CTL, the OBI was much lower (91.66%) compared to the control, and the reduction in
17 OBR was in the order of 47.08% during second half of the induction. These results are expected
18 in view of the synchronization that occurs between beat power and frequency. Water flow
19 depends on the opercular beat, which in turn is essential for an effective gas exchange across
20 blood and water. As total suppression of ventilation did not occur during baths, severe hypoxia
21 does not seem to represent a threat to life of fish submitted to short-term exposure using these
22 compounds.

23 The HR in GRL-exposed fish during induction was 42.74% lower than that of the
24 control. The tracings were continuous and regular, allowing for a progressive return of the HR
25 during recovery, with no signs of arrhythmias. Reductions in HR of tambaqui were observed in
26 other studies using different anaesthetics (Barbas et al., 2017a; De Souza et al., 2019).

27 Although either isolate significantly decreased heart rates, it did not compromise
28 resumption of normal cardiac function. However, CTL caused a more severe depression of the
29 cardiac function with mild arrhythmia. Barbas et al. (2017a) and De Souza et al. (2019)
30 observed transient arrhythmia during recovery of juvenile tambaqui exposed to essential oil of
31 citronella and propofol, respectively. Similarly to our findings, both studies also showed
32 reduction in the OBI. As the flow occurs to the benefit of the arteries, a combination of central
33 and peripheral control of cardiorespiratory interactions is capable of generating synchronization

1 between respiration and the heart function, with a component related to breathing through the
2 vagal nerve innervating to the heart (Taylor, 1992; Taylor et al., 1999).

3 Geraniol has the ability to inhibit Ca^{2+} currents and prevent arrhythmic effects on the
4 atrial tissue (De Menezes-filho et al., 2014). It could explain our findings, since the control of
5 the heart rate in fish is exerted by the action potentials of the sinoatrial node, i.e., activities
6 generated by the pacemaker tissue in the heart, which involves the activation of K^+ , Na^+ and
7 Ca^{2+} channels, where K^+ -induced contractions are inhibited by blocking Ca^{2+} channels or by
8 removing Ca^{2+} to the external environment and therefore are dependent on the Ca^{2+} fluxes.

9 Rhythmic oscillations occurred in animals exposed to CTL. In this group, bradycardia
10 was observed during the induction period (48.44 ± 2.19 bpm) with a reduction of 53.42% in
11 relation to the control, which remained depressed throughout the recovery period (56.00 ± 2.45
12 bpm). This is likely related to the partial blockade of voltage-dependent Na^+ channels induced
13 by CTL, resulting in the stabilization of excitable membranes, since voltage-dependent Na^+
14 channels are a major contributor to rapid membrane depolarization (De Sousa et al., 2006). It
15 has been previously reported that this isolated compound determined significant cardiovascular
16 effects, whereas the bradycardic condition can improve cardiac contractility as an adaptive
17 response during anaesthesia (Schwerte et al., 2006; Bastos et al., 2009; Menezes et al., 2010;
18 Santos et al., 2011).

19 The effects of monoterpenes can occur by various mechanisms due to their structural
20 diversity, as they can be cyclic or acyclic molecules. In addition, changes in vagal tone affect
21 heart rate, and this increase affects bradycardia (Taylor et al., 2010) which is associated with
22 hypoventilation. As suggested by De Souza et al. (2019), these events may occur due to an
23 indirect consequence of central neuronal depression or a result of the direct depressant effect
24 of anaesthetics in the cardiac and respiratory tissues. Presumably, their vasodilatory action
25 appears to be caused by an inhibition of Ca^{2+} influx across the plasma membrane, as studies
26 have concluded that the use of these monoterpenes promotes hypotensive and bradycardic
27 activity (De Sousa et al., 2006; Bastos et al., 2009).

28 In summary, the present study discussed some effects caused by CTL and GRL at the
29 behavioural and physiological levels in an attempt to make sense of any deleterious implications
30 that could be involved during exposure to these substances. Moreover, the importance of
31 pursuing more specific indicators, such as EEG recordings, could shed more light on the
32 potential of these substances to cause CNS depression in fish. Future studies should focus on a
33 more prolonged monitoring of fish undergoing anaesthesia and recovering from exposure to
34 these compounds to further characterize responses in muscle or any late impacts on cardiac

1 function, especially in the case of exposure to CTL including the characterization of the ECG
2 complex and waves.

3

4 **5. CONCLUSION**

5 In conclusion, our results showed that geraniol and citronelol were able to promote
6 full body immobilization, which resulted at least in part, from the myorelaxant properties of
7 these citronella-derived compounds. Concentrations of $70 \mu\text{L L}^{-1}$ GRL and $90 \mu\text{L L}^{-1}$ CTL
8 were sufficient to render fish fully and rapidly immobilized. Both products transiently reduced
9 ventilation during anaesthesia, nevertheless allowing for complete recovery after exposure.
10 Although either isolate significantly decreased heart rates, they did not compromise resumption
11 of normal cardiac function. In general, as no mortalities were observed and all animals
12 recovered after exposure, both products could be considered safe alternatives for fish handling
13 and other aquaculture-related activities that might require short-term fish immobilization.

14 **Author statement**

15 Conceptualization and formal analyses: E.R.L.A., M.F.T., C.B.A., L.A. L.B., M.H.
16 and L.A.S.; Data curation: E.R.L.A., J.S.S., L.M.L., B.M.P.A.C., L.A.L.B. and M.H.; Writing
17 – original draft: E.R.L.A., L.A.L.B., M.F.T. and M.H. All authors contributed equally to the
18 review & editing of this manuscript's final version.

19 **Declaration of Competing Interest**

20 The authors declare that they have no known competing financial interests or personal
21 relationships that could have appeared to influence the work reported in this paper.

22 **Acknowledgements**

23 E.R.L.A is grateful to the Coordination for the Improvement of Higher Education
24 Personnel (Brazilian CAPES) for the scholarship provided. Authors are also thankful to
25 students and staffs of the Tropical Species Aquaculture Laboratory (LAET/IFPA – Castanhal)
26 and Natural Products Toxicology Laboratory (UFPA – Belém) for their technical support
27 during the experiments. L.A.S is a research fellow of the National Council for Scientific and
28 Technological Development – CNPq, Brazil.

1 REFERENCES

- 2 Aydin, B., Barbas, L.A.L., 2020. Sedative and anesthetic properties of essential oils and their
3 active compounds in fish: A review. *Aquaculture* 520, 1–9. DOI
4 <https://doi.org/10.1016/j.aquaculture.2019.734681>
- 5 Barbas, L.A.L., Stringhetta, G.R., Garcia, L.O., Figueiredo, M.R.C., Sampaio, L.A., 2016.
6 Jambu, *Spilanthes acmella* as a novel anaesthetic for juvenile tambaqui, *Colossoma*
7 *macropomum*: Secondary stress responses during recovery. *Aquaculture* 456, 70–75. DOI
8 <http://dx.doi.org/10.1016/j.aquaculture.2016.01.026>
- 9 Barbas, L.A.L., Hamoy, M., De Mello, V.J., Barbosa, R.P.M., De Lima, H.D.S.T., Torres, M.F.,
10 Do Nascimento, L.A.S., Da Silva, J.K.R., Andrade, E.H.A., Gomes, M.R.F., 2017a.
11 Essential oil of citronella modulates electrophysiological responses in tambaqui
12 *Colossoma macropomum*: A new anaesthetic for use in fish. *Aquaculture* 479, 60–68. DOI
13 <http://dx.doi.org/10.1016/j.aquaculture.2017.05.027>
- 14 Barbas, L.A.L., Maltez, L.C., Stringhetta, G.R., de Garcia, L.O., Monserrat, J.M., da Silva,
15 D.T., Heinzmann, B.M., Sampaio, L.A., 2017b. Properties of two plant extractives as
16 anaesthetics and antioxidants for juvenile tambaqui *Colossoma macropomum*. *Aquaculture*
17 469, 79–87. DOI <http://dx.doi.org/10.1016/j.aquaculture.2016.12.012>
- 18 Bastos, J.F., Moreira, I.J., Ribeiro, T.P., Medeiros, I.A., Antonioli, A.R., De Sousa, D.P.,
19 Santos, M.R., 2009. Hypotensive and vasorelaxant effects of citronellol, a monoterpenic
20 alcohol, in rats. *Basic Clin. Pharmacol. Toxicol.* 106, 331–337. DOI [10.1111/j.1742-7843.2009.00492.x](https://doi.org/10.1111/j.1742-7843.2009.00492.x)
- 21 Bendschneider, K., Robinson, R.J., 1952. A new spectrophotometric method for the
22 determination of nitrite in sea water. *J. Mar. Res.* 11, 87–96.
- 23 Castro, H.G., Perini, V.B.M., Santos, G.R., Leal, T.C.A.B., 2010. Evaluation of content and
24 composition of the essential oil of *Cymbopogon nardus* (L.) in different harvest times. *Rev.*
25 *Ciênc. Agron.* 41, 308–314. DOI <https://doi.org/10.1590/S1806-66902010000200020>
- 26 Cotter, P.A., Rodnick, K.J., 2006. Differential effects of anaesthetics on electrical properties of
27 the rainbow trout (*Oncorhynchus mykiss*) heart. *Comp. Biochem. Physiol. A.* 145, 158–
28 165. DOI [10.1016/j.cbpa.2006.06.001](https://doi.org/10.1016/j.cbpa.2006.06.001)
- 29 Cho, G.K., Heath, D.D., 2000. Comparison of tricaine methanesulphonate (MS222) and clove
30 oil anesthesia effects on the physiology of juvenile chinook salmon *Oncorhynchus*
31 *tshawytscha* (Walbaum). *Aquac. Res.* 31, 537–546. DOI <https://doi.org/10.1046/j.1365-2109.2000.00478.x>
- 32 De Menezes-Filho, J.E.R., Gondim, A.N.S., Cruz, J.S., De Souza, A.A., Santos, J.N.A., Conde-
33 Garcia, E. A., Sousa, D.P., Santos, M.S., Oliveira, E.D., Vasconcelos, C. M. L., 2014.
34 Geraniol blocks calcium and potassium channels in the mammalian myocardium: useful
35 effects to treat arrhythmias. *Basic Clin. Pharmacol. Toxicol.* 115, 534–544. DOI
36 [10.1111/bcpt.12274](https://doi.org/10.1111/bcpt.12274)
- 37 De Sousa, D.P., Gonçalves, J.C.R., Quintans-Júnior, L., Cruz, J.S., Araújo, D.A.M., Almeida,
38 R.N., 2006. Study of anticonvulsant effect of citronellol, a monoterpenic alcohol, in rodents.
39 *Neurosci. Lett.* 401, 231–235. DOI [10.1016/j.neulet.2006.03.030](https://doi.org/10.1016/j.neulet.2006.03.030)
- 40 De Souza, A.S.L., Peret, A.C., Hamoy, M., De Souza, R.A.L., Torres, M.F., Barbas, L.A.L.,
41 2019. Propofol and essential oil of *Nepeta cataria* induce anaesthesia and marked
42 myorelaxation in tambaqui *Colossoma macropomum*: implications on cardiorespiratory
43 responses. *Aquaculture* 500, 160–169. DOI
44 <https://doi.org/10.1016/j.aquaculture.2018.10.017>
- 45 Delattre, E., 2007. Fundamentos de eletrofisiologia: potenciais de membrana. 40, 378-393.
- 46 Façanha, M.F., Gomes, L.C., 2005. A eficácia do mentol como anestésico para tambaqui
47 (*Colossoma macropomum*, Characiformes: Characidae). *Acta Amaz.* 35, 71–75.

- 1 Eaton, A.D., Clesceri, L.S., Rice, E.W., Greenberg, A.E., 2005. Standard Methods for the
2 Examination of Water and Wastewater. 21st ed. American Public Health Association,
3 Springfield. (8p.).
- 4 Fujimoto, R.Y., Pereira, D.M., Silva, J.C., Oliveira, L.C.A.O., Inoue, L.A.K.A., Hamoy, M.,
5 Mello, V.J., Torres, M.F., Barbas, L.A.L., 2017. Clove oil induces anaesthesia and blunts
6 muscle contraction power in three Amazon fish species. Fish Physiol. Biochem. 44, 245–
7 256. DOI <https://doi.org/10.1007/s10695-017-0430-8>
- 8 Gomes, L.C., Chippari-Gommes A.R., Lopes, N.P., Roubach, R., Araujo-Lima, C.A.R.M.,
9 2001. Efficacy of benzocaine as anesthetic in juvenile tambaqui *Colossoma*
10 *macropomum*. J. World Aquac. Soc. Baton Rouge 32, 426–431. DOI
11 <https://doi.org/10.1111/j.1749-7345.2001.tb00470.x>.
- 12 Gonçalves, A.F.N., Santos, E.C.C., Fernandes, J.B.K., Takahashi, L.S., 2008. Menthol and
13 eugenol as benzocaine substitutes in anesthetic induction of pacu juveniles. Acta Sci.
14 Anim. Sci. 30, 339–344. DOI [10.4025/actascianimsci.v30i3.1081](https://doi.org/10.4025/actascianimsci.v30i3.1081)
- 15 Inoue, L.A.K.A., Afonso, L.O.B., Iwama, G.K., Moraes, G., 2005. Effects of clove oil on the
16 stress response of matrinxã (*Brycon cephalus*) subjected to transport. Acta Amaz. 35, 289–
17 295. DOI <https://doi.org/10.1590/S0044-59672005000200018>.
- 18 Lopez-Romero, J.C., González-Ríos, H., Borges, A., Simões, M., 2015. Antibacterial effects
19 and mode of action of selected essential oils components against *Escherichia*
20 *coli* and *Staphylococcus aureus*. Evid.-Based Compl. Alt. 2015, 1-9. DOI
21 <https://doi.org/10.1155/2015/795435>.
- 22 Losey, G.S., Hugie, D.M., 1994. Prior anesthesia impairs a chemically mediated fright response
23 in a gobiid fish. J. of Chem. Ecol. 20, 1877–1883. DOI
24 <https://doi.org/10.1007/BF02066229>.
- 25 Mahalwal V.S, Ali M., 2003. Volatile constituents of *Cymbopogon nardus* (Linn.) Rendle.
26 Flavour Fragr. J. 18, 73–76. DOI <http://dx.doi.org/10.1002/ffj.1144>.
- 27 Martins R.M., 2006. Estudio “in vitro” de la acción acaricida del aceite esencial de la gramínea
28 citronela de java (*Cymbopogon winterianus* Jowitt) no carrapato *Boophilus microplus*.
29 Rev. Bras. Plantas Med. 08, 71–78.
- 30 Menezes, I.A.C., Barreto, C.M.N., Antoniolli, A.R., Santos, M.R.V., De Sousa, D.P., 2010.
31 Hypotensive activity of terpenes found in essential oils. Z Naturforsch. C. J. Biosci. 65,
32 562–566. DOI [10.1515/znc-2010-9-1005](https://doi.org/10.1515/znc-2010-9-1005).
- 33 Mudado, M.A., Moreira, T.H., Cruz, J.S., 2003. O início da era dos canais iônicos. Clínica Hoje
34 33, 56–58.
- 35 Mylonas, C.C., Cardinaletti, G., Sigelaki, I., Polzonetti-Magni, A., 2005. Comparative efficacy
36 of clove oil and 2-phenoxyethanol as anesthetics in the aquaculture of European sea bass
37 (*Dicentrarchus labrax*) and gilthead sea bream (*Sparus aurata*) at different
38 temperatures. Aquaculture 246, 467–481. DOI [10.1016/j.aquaculture.2005.02.046](https://doi.org/10.1016/j.aquaculture.2005.02.046).
- 39 Park, M.O., Hur, W.J., Im, S.Y., Seol, D.W., Lee J., Park, I.S., 2008. Anaesthetic efficacy and
40 physiological responses to clove oil-anaesthetized kelp grouper *Epinephelus bruneus*.
41 Aquac. Res. 39, 877–884. DOI <https://doi.org/10.1111/j.1365-2109.2008.01941.x>.
- 42 Park, J-Y., Kim, J-Y., Jang, S-H., Kim, H-J., Lee S-J, Park, S-C., 2015. Biological activities
43 and acute oral toxicity of citronella and lemongrass oil. Korean J. Vet. Res. 55, 13–20. DOI
44 <https://doi.org/10.14405/kjvr.2015.55.1.13>.
- 45 Parodi, T.V., Cunha, M.A., Heldwein, C.G., De Souza, D.M., Martins, Á.C., Garcia L.O.,
46 Wasielesky, W.Jr., Monserrat J.M., Schmidt, D., Caron, B.O., Heinzmann, B.,
47 Baldissarro, B., 2012. The anesthetic efficacy of eugenol and the essential oils of *Lippia*
48 *alba* and *Aloysia triphylla* in post-larvae and sub-adults of *Litopenaeus vannamei*
49 (Crustacea, Penaeidae). Comp. Biochem. Phys. C 155, 462–8. DOI
50 [10.1016/j.cbpc.2011.12.003](https://doi.org/10.1016/j.cbpc.2011.12.003).

- 1 Quintans-Júnior, L.J., Souza, T.T., Leite, B.S., Lessa, N.M.N., Bonjardim, L.R., Santos,
2 M.R.V., Blank, A.F., Antoniolli, A.R., 2008. Phytochemical screening and anticonvulsant
3 activity of *Cymbopogon winterianus* Jowitt (Poaceae) leaf essential oil in rodents.
4 *Phytomedicine* 15, 619–24. DOI [10.1016/j.phymed.2007.09.018](https://doi.org/10.1016/j.phymed.2007.09.018).
- 5 Roubach, R., Gomes, L.C., Fonseca, F.A.L., Val, A.L., 2005. Eugenol as an efficacious
6 anaesthetic for tambaqui, *Colossoma macropomum* (Cuvier). *Aquac. Res.* 36, 1056–1061.
7 DOI <https://doi.org/10.1111/j.1365-2109.2005.01319.x>.
- 8 Ross, L.G., Blanco, J.S., Martínez-Palacios, C., Racotta, I.S., Cuevas, M.T., 2007. Anesthesia,
9 sedation and transportation of juvenile *Menidia estor* (Jordan) using benzocaine and
10 hypothermia. *Aquac. Res.* 38, 909–917. DOI [10.1111/j.1365-2109.2006.01642.x](https://doi.org/10.1111/j.1365-2109.2006.01642.x)
- 11 Ross, L.G., Ross, B., 2008. Anaesthetic and Sedative Techniques for Aquatic Animals.
12 Blackwell Publishing, Oxford, UK. (228 p).
- 13 Saint-Paul, U., 1986. Potential for aquaculture of South American freshwater fishes: a review.
14 *Aquaculture* 54, 205–240. DOI [https://doi.org/10.1016/0044-8486\(86\)90329-7](https://doi.org/10.1016/0044-8486(86)90329-7).
- 15 Santos, M.R.V., Moreira, f.v., Fraga, B.P., De Sousa, D.P., Bonjardim, L.R., Quintans-Júnior,
16 L.J., 2011. Cardiovascular effects of monoterpenes: A review. *Rev. Bras. Farmacog.* 21, 4,
17 764–771. DOI [10.1590/S0102-695X2011005000119](https://doi.org/10.1590/S0102-695X2011005000119).
- 18 Schwerte, T., Prem, C., Mairösl, A., Pelster, B., 2006. Development of the sympatho-vagal
19 balance in the cardiovascular system in zebrafish (*Danio rerio*) characterized by power
20 spectrum and classical signal analysis. *J. Exp. Biol.* 209, 1093–1100. DOI
21 [10.1242/jeb.02117](https://doi.org/10.1242/jeb.02117)
- 22 Sladky, K.K. Swanson, C.R., Stoskopf, M.K., Loomis, M.R., Lewbart, G.A., 2001.
23 Comparative efficacy of tricaine methanesulfonate and clove oil for use as anesthetics in
24 red pacu (*Piaractus brachypomus*). *Am. J. Vet. Res.* 62, 337–342. DOI
25 <https://doi.org/10.2460/ajvr.2001.62.337>.
- 26 Sneddon, L.U., 2012. Clinical anesthesia and analgesia in fish. *J. Exot. Pet Med.* 21, 32–43.
- 27 Solórzano-Santos, F., Miranda-Novales, M.G., 2012. Essential oils from aromatic herbs as
28 antimicrobial agents. *Curr. Opin. Biotechnol.* 23, 136–141. DOI
29 [10.1016/j.copbio.2011.08.005](https://doi.org/10.1016/j.copbio.2011.08.005).
- 30 Sylvester, J.R., 1975. Factors influencing the efficacy of MS-222 to striped mullet (*Mugil*
31 *cephalus*) *Aquaculture* 6, 163–169. DOI [https://doi.org/10.1016/0044-8486\(75\)90067-8](https://doi.org/10.1016/0044-8486(75)90067-8).
- 32 Taylor E.W., 1992. Nervous control of the heart and cardiorespiratory interactions. In: Hoar,
33 W.S., Randall, D.J., Farrell, A.P. (Editors), *Fish physiology*. Vol. XIIB. New York:
34 Academic Press; 343–387.
- 35 Taylor, E.W., Jordan, D., Coote, J.H., 1999. Central control of the cardiovascular and
36 respiratory systems and their interactions in vertebrates. *Physiol Rev.* 79, 855–916. DOI
37 [10.1152/physrev.1999.79.3.855](https://doi.org/10.1152/physrev.1999.79.3.855).
- 38 Taylor, E.W., Leite, C.A.C., Skovgaard, N., 2010. Autonomic control of cardiorespiratory
39 interactions in fish, amphibians and reptiles. *Brazilian J. Med. Biol. Res.* 43, 600–610. DOI
40 <https://doi.org/10.1590/S0100-879X2010007500044>.
- 41 Tiwari, M., Kakkar, P., 2009. Plant derived antioxidants-geraniol and camphene protect rat
42 alveolar macrophages against t-BHP induced oxidative stress. *Toxicol. in Vitro* 23, 295–
43 301. DOI [10.1016/j.tiv.2008.12.014](https://doi.org/10.1016/j.tiv.2008.12.014).
- 44 Treves-Brown, K.M., 2000. Anaesthesia. Em: Treves-Brown, K.M. (Ed.), *Anaesthetics in
45 Applied Fish Pharmacology*. Kluwer Academic Publishers, Dordrecht, Netherlands: 206–
46 217.
- 47 Unesco, 1983. Chemical methods for use in marine environmental monitoring. Manual and
48 Guides 12, Intergovernmental Oceanographic Commissiony. France, Paris.
- 49 Valladão, G.M.R., Gallani, S.U., Pilarski, F., 2016. South American fish for continental
50 aquaculture. *Rev. in Aquacult.*, 10, 351–369. DOI <https://doi.org/10.1111/raq.12164>.

- 1 Vilhena, C.S., Nascimento, L.A.S., Andrade, E.H.A., Silva, J.K.R., Hamoy, M., Torres, M.F.,
2 Barbas, L.A.L., 2019. Essential oil of *Piper divaricatum* induces a general anaesthesia-like
3 state and loss of skeletal muscle tonus in juvenile tambaqui, *Colossoma macropomum*.
4 Aquaculture, 510, 169–175. DOI <https://doi.org/10.1016/j.aquaculture.2019.05.057>.
- 5 Woody, C.A., Nelson, J., Ramstad, K., 2002. Clove oil as an anaesthetic for adult sockeye
6 salmon-field trials. J. Fish Biol. 60, 340–347. DOI [10.1006/jfbi.2001.1842](https://doi.org/10.1006/jfbi.2001.1842).
- 7 Zahl, I.H., Kiessling, A., Samuelsen, O.B., Hansen, M.K., 2009. Anaesthesia of Atlantic cod
8 (*Gadus morhua*) – effect of pre-anaesthetic sedation, and importance of body weight,
9 temperature and stress. Aquaculture 295, 52–59. DOI [10.1016/j.aquaculture.2009.06.019](https://doi.org/10.1016/j.aquaculture.2009.06.019).
- 10 Zar J.H., 1996. Biostatistical analysis, 3rd ed. New Jersey, USA: Prentice-Hall. 662 p.

CAPÍTULO 2

Shifting patterns in cardiac response of tambaqui *Colossoma macropomum* exposed to short-term baths using geraniol and citronellol

Ednara Ronise L. de Araújo^a, Marcelo F. Torres^c, Moisés Hamoy^{b*}, Luis André L. Barbas^{c***}, Luís André Sampaio^{a***},

^aLaboratório de Piscicultura Estuarina e Marinha, Programa de Pós-graduação em Aquicultura, Universidade Federal do Rio Grande, Instituto de Oceanografia, Rio Grande – RS, Brazil

^bLaboratório de Farmacologia e Toxicologia de Produtos Naturais, Instituto de Ciências Biológicas, Universidade Federal do Pará, Belém – PA, Brazil

^cLaboratório de Aquacultura de Espécies Tropicais, Instituto Federal de Educação Ciência e Tecnologia do Pará, Castanhal – PA, Brazil

* Correspondence to: M. Hamoy, Laboratório de Farmacologia e Toxicologia de Produtos Naturais, Universidade Federal do Pará, UFPA Campus Belém, Rua Augusto Corrêa nº 01 Guamá, CEP 66075-110 Belém, PA, Brazil.

^{**} Correspondence to: L. A. Sampaio, Laboratorio de Piscicultura Estuarina e Marinha, Universidade Federal do Rio Grande, FURG, Instituto de Oceanografia, CP 474, CEP 96201-900 Rio Grande, RS, Brazil.

*** Correspondence to: L. A. L. Barbas, Laboratório de Aquacultura de Espécies Tropicais, Instituto Federal de Educação Ciência e Tecnologia do Pará, IFPA Campus Castanhal, BR 316, Km 63 S/N, CEP 68740-970 Castanhal, PA, Brazil.

E-mail addresses: hamoyufpa@gmail.com (M. Hamoy), sampaio@mikrus.com.br (L.A. Sampaio), andre.barbas@hotmail.com (L.A.L. Barbas).

Manuscrito submetido à revista *Aquaculture* (em fase final de revisão pelos revisores).

Fator de impacto: 5.135

1 **Abstract**

2 Electrocardiographic recordings (ECG) provide information on the duration of the action
3 potential and the heart rhythm. Altered ECG may reflect important disturbances to the cardiac
4 function. The aim of this study was to evaluate putative cardiotoxic effects in *Collossoma*
5 *macropomum* upon exposure to geraniol (GRL – 70 µL L⁻¹) and citronellol (CTL – 90 µL L⁻¹)
6 in anaesthetics baths. The fish were randomly distributed across the following treatments: a)
7 control (basal recordings), b) vehicle control (ethanol), c) fish exposed to GRL – 70 µL L⁻¹ and
8 subsequent recovery, and d) fish exposed to CTL – 90 µL L⁻¹ and subsequent recovery, and e)
9 washout from ethanol. Five minute long recordings were used. The parameters heart rate (HR)
10 (beats min.⁻¹), amplitude record (mV), R-R interval (s), Q-T interval (s) and QRS duration (s)
11 were investigated. No mortality was observed and all animals recovered post exposure. The
12 controls and ethanol-exposed fish presented normal patterns in ECG tracings showing sinus
13 rhythm. Some alterations were observed during induction, e.g., a negative chronotropic effect
14 was observed in fish exposed to GRL, however, with maintenance of the sinus rhythm. Only
15 the Q-T interval was longer than that of the controls. On the other hand, during induction with
16 CTL, marked bradycardia with arrhythmia and prolongation of the Q-T and R-R intervals and
17 QRS complex duration were observed, indicating a potential for atrioventricular blockade.
18 During recovery, albeit slow, all parameters returned to sinus rhythm, suggesting that although
19 important cardiac changes occurred during induction, mostly with CTL, they proved to be
20 reversible. In conclusion, both anaesthetics provoked cardiac alterations without
21 compromising the recovery, which proved to be fast and effective. Such findings lend more
22 credence to geraniol and citronellol to be used as fish anaesthetics.

23 **Keywords:** **Electrocardiogram, anaesthetic, biomarker, phytoconstituent, ECG**

24 **1. INTRODUCTION**

25 The evaluation of anaesthesia efficacy in fish should go beyond the sole recording of
26 time to reach full body immobilisation and recovery. The assessment of behavioural markers
27 alone does not allow for the verification of general anaesthesia, analgesia or myorelaxation
28 (Barbas et al., 2017a). Moreover, the safety of the anaesthetic procedure, e.g. through
29 characterization of cardiorespiratory response should not be overlooked (De Souza et al., 2019;
30 Araújo et al., 2021; Cantanhêde et al., 2021). Other biomarkers can be monitored to prevent
31 deleterious physiological effects to occur in fish submitted to anaesthesia.

1 Despite the growing number of studies evaluating the potential of essential oils (EO)
2 and their isolated compounds as anaesthetics for fish (Aydin and Barbas, 2020), little efforts
3 have been directed to the characterization of undesired side effects and margin of safety. In
4 addition to behavioural assessment and fish survival, many other implications of anaesthesia
5 should be considered. Clove EO, for instance, presents eugenol as its main active constituent
6 (Jirovetz et al., 2006) and is widely used in aquaculture (Inoue et al., 2003; Mylonas et al.,
7 2005; Roubach et al., 2005; Aydin and Barbas, 2020). Although clove oil or eugenol (as an
8 isolate) continue to be proposed as suitable products for use in fish (Fujimoto et al., 2017; De
9 Oliveira et al., 2019; Wang et al., 2019), they should always be carefully scrutinized as several
10 adverse effects such as seizure-like neuronal excitability (Barbas et al., 2021), ventilatory
11 failure, neurotoxic and hepatotoxic effects (Sladky et al., 2001) and cardiorespiratory failure
12 (Cotter and Rodnick, 2006) have also been reported in eugenol-exposed fish. Effects such as
13 seizure-like neuronal excitability (Barbas et al., 2021), ventilatory failure, neurotoxic and
14 hepatotoxic effects (Sladky et al., 2001) and cardiorespiratory failure (Cotter and Rodnick,
15 2006) have also been reported in eugenol-exposed fish.

16 The depression of the central nervous system (CNS) is a direct consequence of general
17 anaesthesia, which can affect cardiac and respiratory function and lead to bradycardia or even
18 cardiorespiratory arrest during or after exposure to the anaesthetic (Zahl et al., 2012; Barbas et
19 al., 2017a; De Souza et al., 2019; Araújo et al., 2021; Cantanhêde et al., 2021). Thus, the
20 characterization of the electrocardiogram (ECG) is important to identify changes in action
21 potentials reflected by tracing patterns that might suggest cardiotoxicity.

22 The characterizations encompass descriptions of the QRS complex duration which
23 represents the depolarization of the ventricle and the propagation of the cardiac impulse,
24 whereby Q is a negative wave that precedes an ascending R wave and subsequently, a
25 descending S wave; also the duration of the Q-T intervals, which is the time from the first
26 activation to the last repolarization of the ventricular myocardium, and also the duration of the
27 R-R interval, in which the distance between two successive R waves depends on the heart rate
28 (HR) (Yoshikawa et al., 1988; Keating and Sanguinetti, 2001; Harmer et al., 2011; Xing et al.,
29 2017).

30 The ECG markers have been increasingly used as complementary information in the
31 evaluation of the anaesthetic efficacy of plant extracts and isolated compounds in live fish,
32 proving to be a reliable and safe tool (Barbas et al., 2017a; De Souza et al., 2019; Araújo et al.,
33 2021; Cantanhêde et al., 2021). A recent study using menthol, which is a compound obtained

1 from the EO of mint (*Mentha* spp.), confirmed its anaesthetic effect in juveniles of tambaqui
2 (*Colossoma macropomum*) without impairment of cardiac function at doses of 40 and 60 mg L⁻¹, presenting reversible cardiac depression (Cantanhêde et al., 2021). This reversibility in
3 cardiac depression has also been reported by Barbas et al. (2017a), De Souza et al. (2019) and
4 Araújo et al. (2021) using this same fish species exposed to EO of *Cymbopogon nardus*
5 (citronella), *Nepeta cataria* (catnip), geraniol and citronellol (citronella EO-derived
6 compounds).

8 Geraniol and citroneloll are monoterpenes found in the EO of several medicinal plants
9 such as *C. nardus*, *Cymbopogon citratus*, *Cymbopogon winterianus* and *Lippia alba* (Bastos et
10 al., 2010; Castro et al., 2010). These plants have stood out for their pharmacological effects
11 showing anticonvulsant, antinociceptive, antibacterial, antiarrhythmic, hypotensive and
12 vasorelaxant effects (De Sousa et al., 2006; Quintans-Júnior, 2008; Bastos et al., 2010; De
13 Menezes-Filho et al., 2014; Lopez-Romero et al., 2015), also presenting promising anaesthetic
14 properties in fish (Araújo et al., 2021).

15 Tambaqui (*C. macropomum*) fish stands out for its good growth rate and resistance to
16 diseases and high tolerance to low concentrations of dissolved oxygen, being the most reared
17 native species in Brazil and other Latin American countries (Inoue et al., 2011; Valladão et al.,
18 2016; Valenti et al., 2021). This species has been used as a promising model to evaluate new
19 natural anaesthetic candidates (Façanha and Gomes, 2005; Roubach et al., 2005; Inoue et al.,
20 2011; Pádua et al., 2013; Barbas et al., 2016, 2017a, 2017b; Saccò et al., 2017; Baldisserotto
21 et al., 2018; Santos Batista et al., 2018; De Souza et al., 2019; Vilhena et al., 2019; Araújo et
22 al., 2021; Cantanhêde et al., 2021).

23 Therefore, considering the potential properties of geraniol and citronellol as anaesthetics
24 for fish, and the lack of detailed information on the effects of these compounds on the cardiac
25 function, the aim of this study was to provide a thorough assessment of the cardiac effects of
26 these compounds in tambaqui juveniles submitted to short-term baths.

27 2. MATERIAL AND METHODS

28 2.1 Animals and acclimation period

29 Juveniles of tambaqui, *Colossoma macropomum* were acquired from a commercial farm
30 after induced spawning. Upon arrival, fish were stocked in aquariums at the Bioterium of the
31 Laboratory of Pharmacology and Toxicology of Natural Products at the Universidade Federal

1 do Pará (UFPA) under controlled room temperature (25 a 28 °C) and photoperiod fixed at 12 h
2 L: 12 h D. Feeding was carried out twice a day with commercial feed (32% protein) until satiety.
3 The water was partially renewed every day (approximately 20% of the aquarium volume) with
4 dechlorinated tap water from the same source. During the acclimation period (15 days), the
5 water quality variables Temperature: 26.8 ± 0.7 °C, Dissolved Oxygen (DO): 5.3 ± 0.4 mg L⁻¹
6 and pH: 7.5 ± 0.3 were measured using a multiparameter equipment (HANNATM). Total
7 ammonia nitrogen (TAN): 0.1 ± 0.07 mg L⁻¹ NH₄⁺ + NH₃⁻ – N were quantified according to
8 Unesco (1983).

9

10 2.2 *Anaesthetic preparation and conservation*

11 The oils and dosages used were in accordance with those determined in a previous study
12 by Araújo et al. (2021). Briefly, stock solutions were prepared using a pre-dilution of the oils
13 in ethanol (96%) at a ratio of 1:9, from which aliquots were taken for the ECG trials. The stock
14 solution was added directly to the aquarium water at concentrations of 70 and 90 µL L⁻¹ for
15 geraniol and citronellol, respectively. The ethanolic solutions were stored in amber glass vials
16 at 4 °C, until use.

17 2.3 *Experimental Design*

18 The tambaqui juveniles (13.9 ± 1.4 g) were randomly distributed across the following
19 treatments: a) control (basal recordings), b) vehicle control (ethanol), c) fish exposed to geraniol
20 (GRL) and subsequent recovery, and d) fish exposed to citronelol (CTL) and subsequent
21 recovery, e) washout from ethanol. Nine fish were used for each recording (n = 9 per treatment).
22 EEG analyses were carried out for 5 minutes during expose and recovery.

23 2.3.1 *Electrocardiogram (ECG) Recordings and Analyses*

24 ECG recordings were performed inside a Faraday cage (TMCTM) and the acquired data
25 were later analysed following the same methodology reported for other studies of our research
26 group (Barbas et al., 2017a; De Souza et al., 2019; Cantanhêde et al., 2020; 2021).

27 Briefly, for the monitoring, the electrodes were built in stainless steel rods with 0.3 mm
28 in diameter and 5.0 mm in length. The affixation of the reference electrode followed the
29 indication of the cardiac vector, being ventrally affixed, 0.2 mm after the opercular cavity end
30 whereas the recording electrode was inserted 2.0 mm below the pectoral fin. Subsequently, the
31 electrodes were connected to a high impedance amplifier. Parameters analysed consisted of

1 mean values for heart rate (in beats min⁻¹), wave amplitude (mV), R-R interval (s), Q-T interval
2 (s) and QRS duration (s).

3 After recordings, the experimental animals were killed with a blow to the head followed
4 by mechanical destruction of the brain.

5 The electrodes were connected to a digital data acquisition system using a high
6 impedance differential amplifier (Grass Technologies, Modelo P511), adjusted with 0.3 and
7 300 Hz filterings, with 2000X amplification and monitored by an oscilloscope (ProteK, Modelo
8 6510). The Records were continuously digitized at 1 KHz (National Instruments, Austin, TX)
9 and stored on a hard disk for later processing using a specialized software (LabVIEW express).

10 The analysis of the acquired signals was performed through the programming language
11 Python version 2.7. The Numpy and Scipy libraries were used for mathematical data processing
12 and the Matplotlib library was used for graphing. The graphical interface was developed using
13 the library PyQt4. The amplitude graphs present the potential differences between the reference
14 and recording electrodes. The record signals were observed at 1000 samples per second.

15 2.4 Statistical analyses

16 Assumptions of normality and homogeneity of variances were made using the
17 Kolmogorov-Sminov and Levene tests, respectively. Comparisons of mean power values were
18 made using one-way ANOVA, followed by the Tukey's test. The software GraphPad Prism® 5
19 was used for the analyses and a p<0.05 value was considered statistically significant in all cases.

20

21 3. RESULTS

22 3.1 Electrocardiogram (ECG) and Heart Rate (HR) during induction

23 No mortality occurred during induction with GRL and CTL or during recovery. The
24 ECG of tambaqui in the basal group and ethanol-exposed group are shown in Fig. 1 and 2,
25 respectively, also with details on the QRS complex and description of the corresponding waves
26 (Fig. 1B and 2B). All cardiac parameters for these groups were considered normal and regular.
27 The T wave indicates ventricular repolarization and the QRS complex represents the
28 depolarization of the ventricle, whereby the Q wave is negative and precedes an ascending R
29 wave, followed by a descending S wave that represents the depolarization of the ventricle. After
30 the initial 150 s of the exposure with either substance, changes were observed in the tracings as
31 shown by the 2s-amplification records (Fig. 3 A and B).

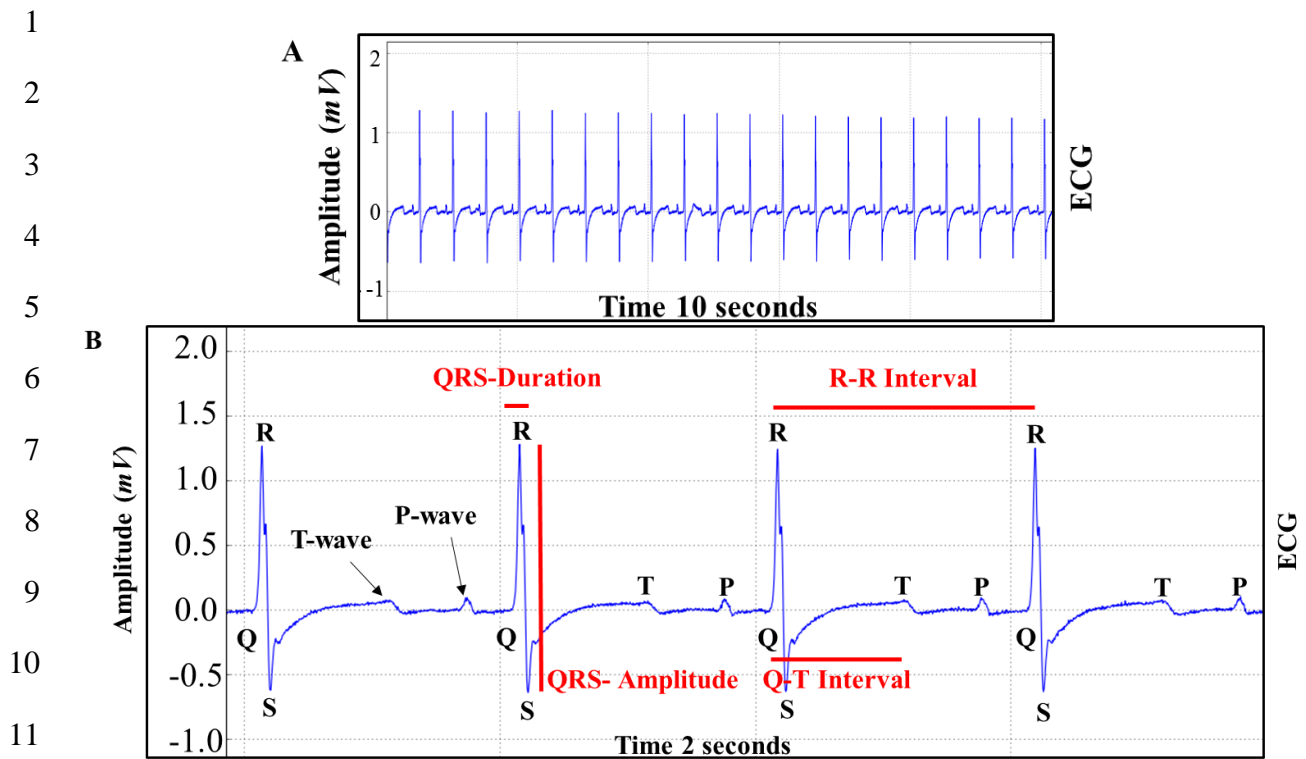


Fig. 1. Normal electrocardiographic (ECG) recording of Tambaqui, *Colossoma macropomum* in the Basal group with sinus rhythm in 10s (A) and 2s amplification demonstrating P, T waves, duration of R-R and Q-T intervals and QRS complex amplitude (B).

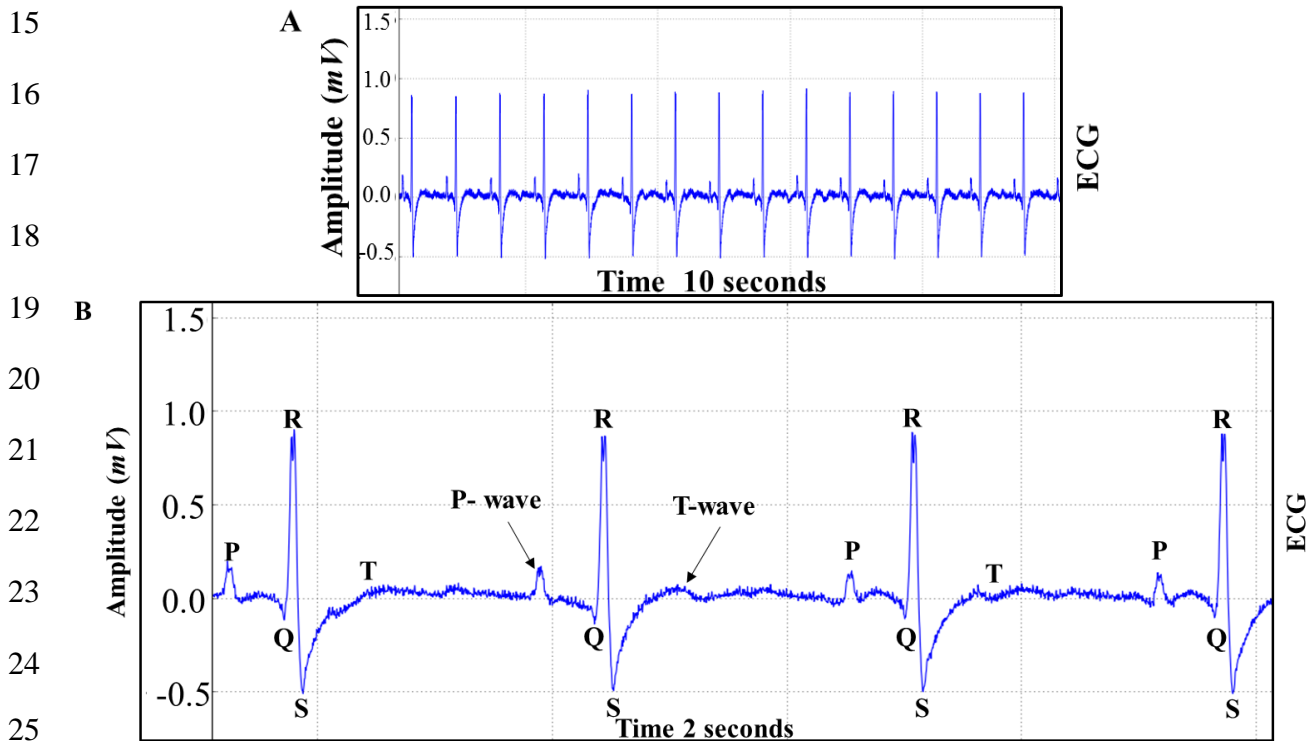
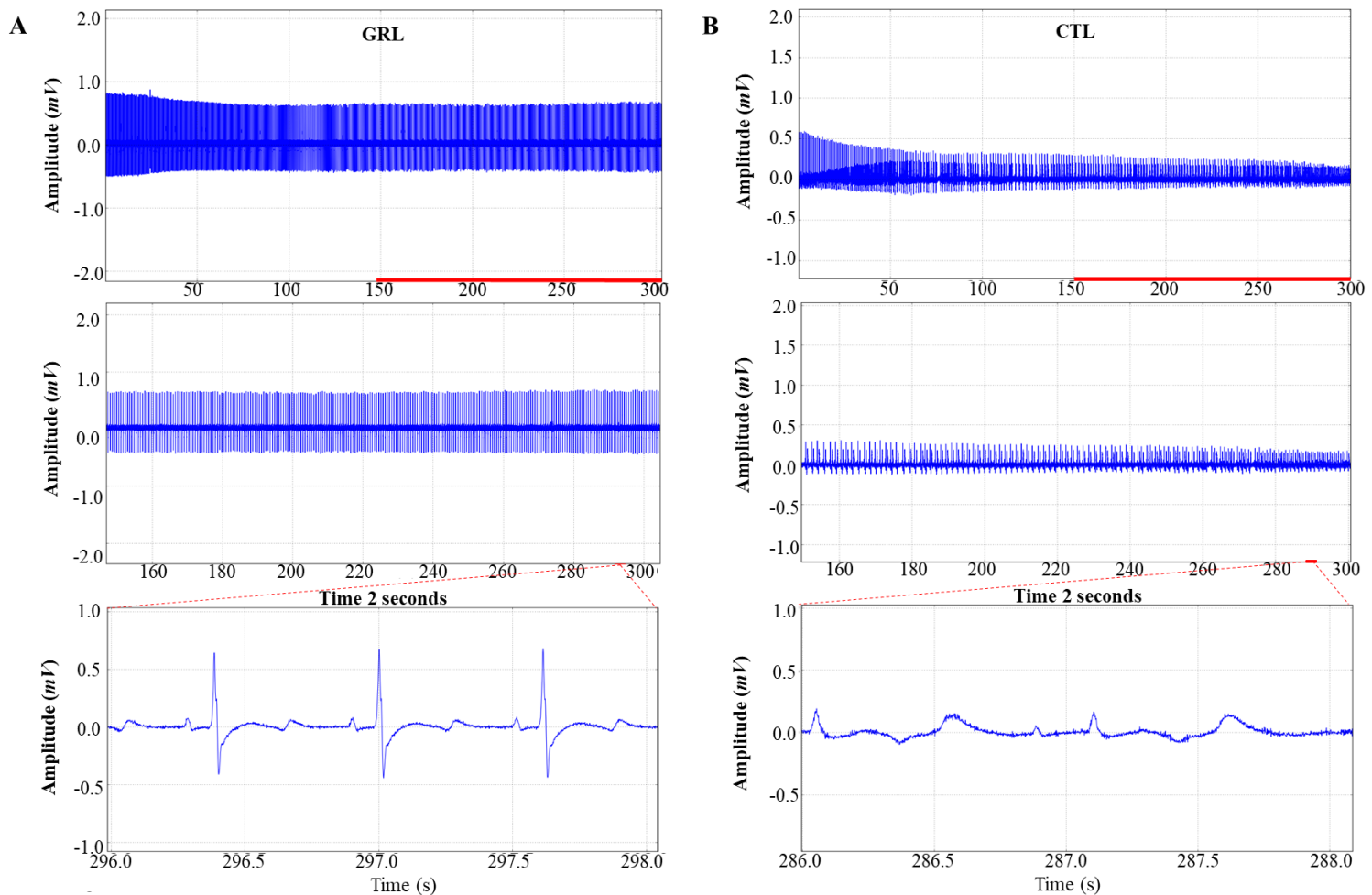


Fig. 2. Electrocardiographic (ECG) recording of Tambaqui, *Colossoma macropomum* during contact with Ethanol (A), and 2s amplification demonstrating P, T waves, duration of R-R and Q-T intervals and QRS complex amplitude (B).

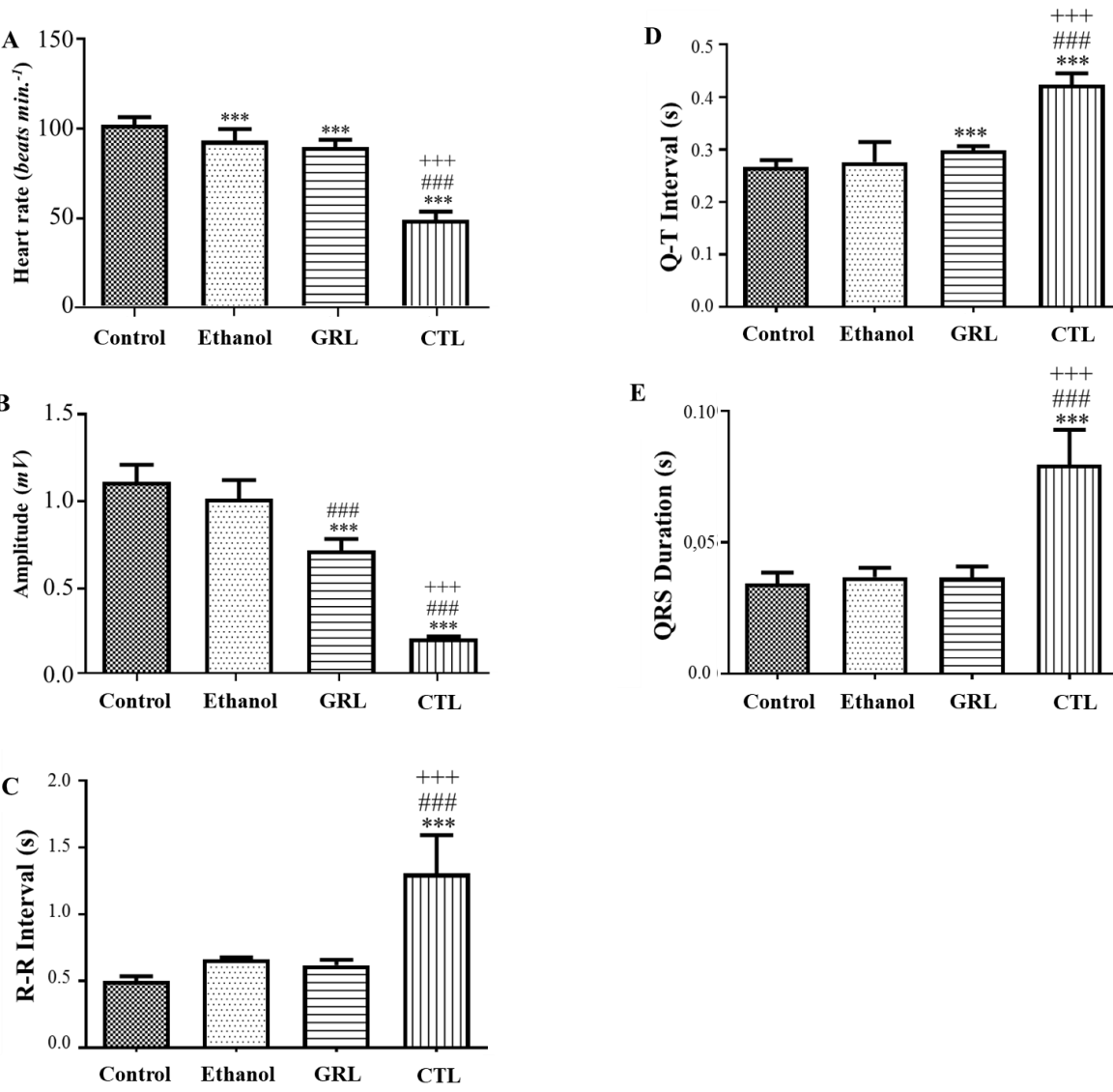
1 The HR in the controls was regular (102 ± 4 beats min.⁻¹) and mean power (amplitude)
 2 was 1.11 ± 0.09 mV. On the other hand, ethanol-exposed fish had a mean frequency of 93 ± 6
 3 beats min.⁻¹, which was lower ($p < 0.05$) than the controls, however, no significant differences
 4 in amplitudes were observed (1.28 ± 1.58 mV) (Fig. 4A and B).

5 There were variations in the tracings upon exposure to the anaesthetics. For the GRL
 6 group, the HR was 90 ± 4 beats min.⁻¹, showing a difference in relation to the basal group ($p <$
 7 0.05) with amplitude reaching 0.72 ± 0.07 mV lower ($p < 0.05$) when compared to the control
 8 and ethanol-exposed fish (Fig. 4A and B), however a sinus rhythm was maintained (Fig. 3A).
 9 Differently, fish exposed to CTL showed changes in the ECG pattern, evidenced in the
 10 amplification of the tracings in Fig. 3B. This group showed a sharp drop in HR (49 ± 5 beats
 11 min.⁻¹) and amplitude (0.21 ± 0.01 mV) much lower ($p < 0.05$) when compared to the other
 12 groups.



27 Fig. 3. Electrocardiographic recording (ECG) of Tambaqui, *Colossoma macropomum* upon contact with Geraniol
 28 ($70 \mu\text{L L}^{-1}$) and Citronellol ($90 \mu\text{L L}^{-1}$), with a total duration of 5 minutes, the red line indicates the
 29 tracing that was evaluated with magnification of the last 150 seconds of exposure with either substance and 2-
 30 second magnification of the tracing demonstrating the ECG components.

1 The interval between R-R waves remained regular in the controls, with an average of
 2 0.50 ± 0.03 s (Fig. 4C); and the time to start ventricular depolarization (Q wave) and ventricular
 3 repolarization (T wave) represented by the Q-T interval (Fig. 4D) was 0.27 ± 0.01 s. The
 4 duration of the QRS complex was 0.03 ± 0.00 s (Fig. 4E). In the ethanol control, these
 5 parameters did not differ in relation to the basal control, and maintained the sinus rhythm, with
 6 an R-R interval of 0.67 ± 0.01 s, Q-T interval of 0.28 ± 0.04 s and QRS duration of 0.04 ± 0.00
 7 s.

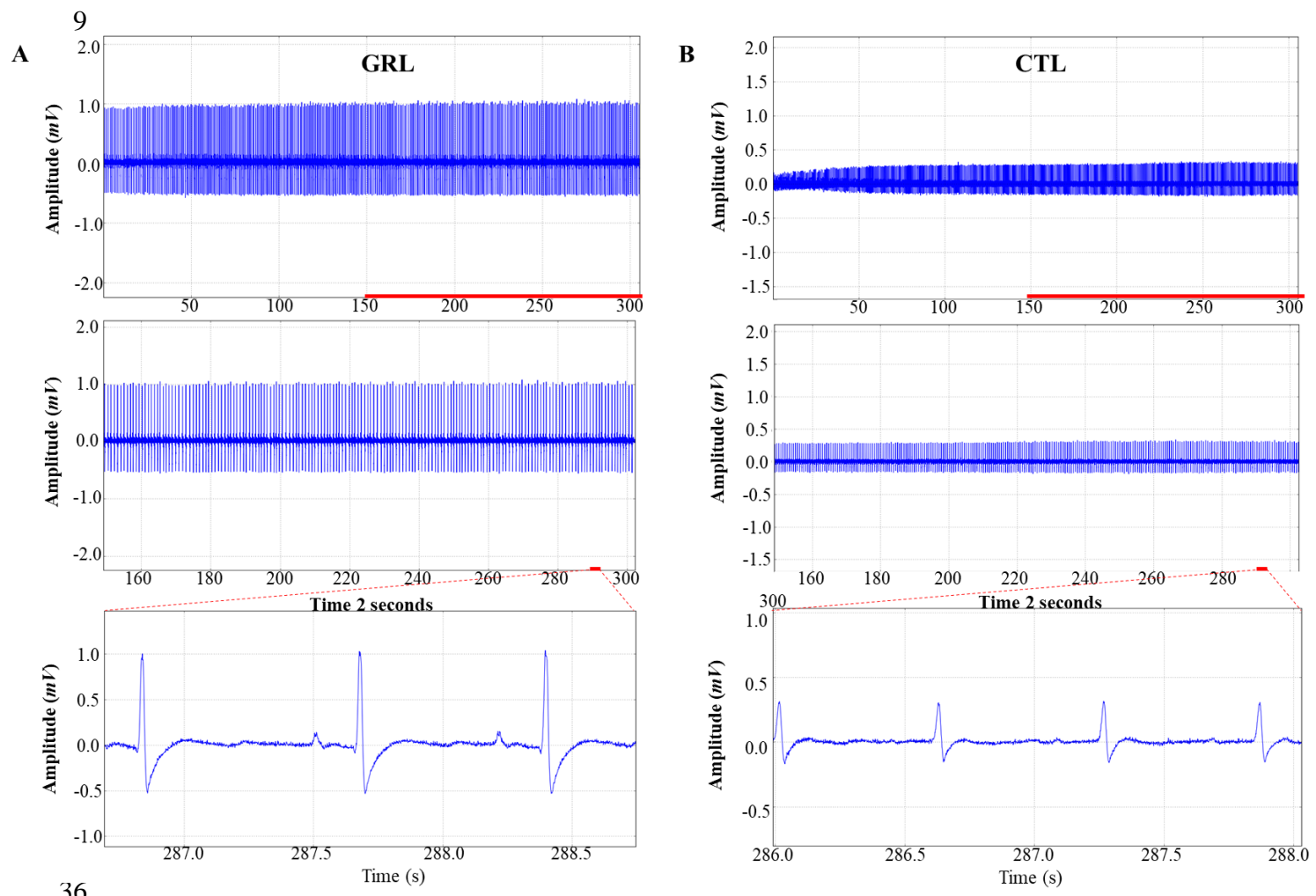


24 Fig.4. Mean values recorded in the control group, vehicle control (ethanol), (GRL) $70 \mu\text{L L}^{-1}$ and Citronellol
 25 (CTL) $90 \mu\text{L L}^{-1}$ in juvenile Tambaqui, *Colossoma macropomum* during 5 minutes of induction, showing
 26 comparisons between means of electrocardiographic heart rate (beats min.^{-1}) recordings (A) ; Amplitude averages
 27 (mV) (B); Comparison between R-R interval means (seconds) (C); Evaluation of Q-T interval means (seconds)
 28 (D); Evaluation of the average duration of the QRS complex (seconds) (E). *** indicates statistical difference for
 29 the control; # indicates statistical difference for the control group Ethanol; +++ Indicates statistical difference for
 30 the geraniol group. [ANOVA and Tukey's test ($p < 0.05$, $n = 9$)].

1

Upon exposure to GRL, the distances between the R waves were maintained, as well as the QRS duration, with averages of 0.62 ± 0.04 and 0.04 ± 0.00 s, respectively. Only the Q-T interval (0.30 ± 0.01 s) was significantly higher ($p < 0.05$) compared to the controls. However, all parameters changed in fish exposed to CTL, differing ($p < 0.05$) from the other groups, showing averages for R-R interval of 1.31 ± 0.29 s, QT interval of 0.42 ± 0.02 s and duration of the QRS complex of 0.08 ± 0.01 s.

3.2 Electrocardiogram (ECG) and Heart Rate (HR) during recovery



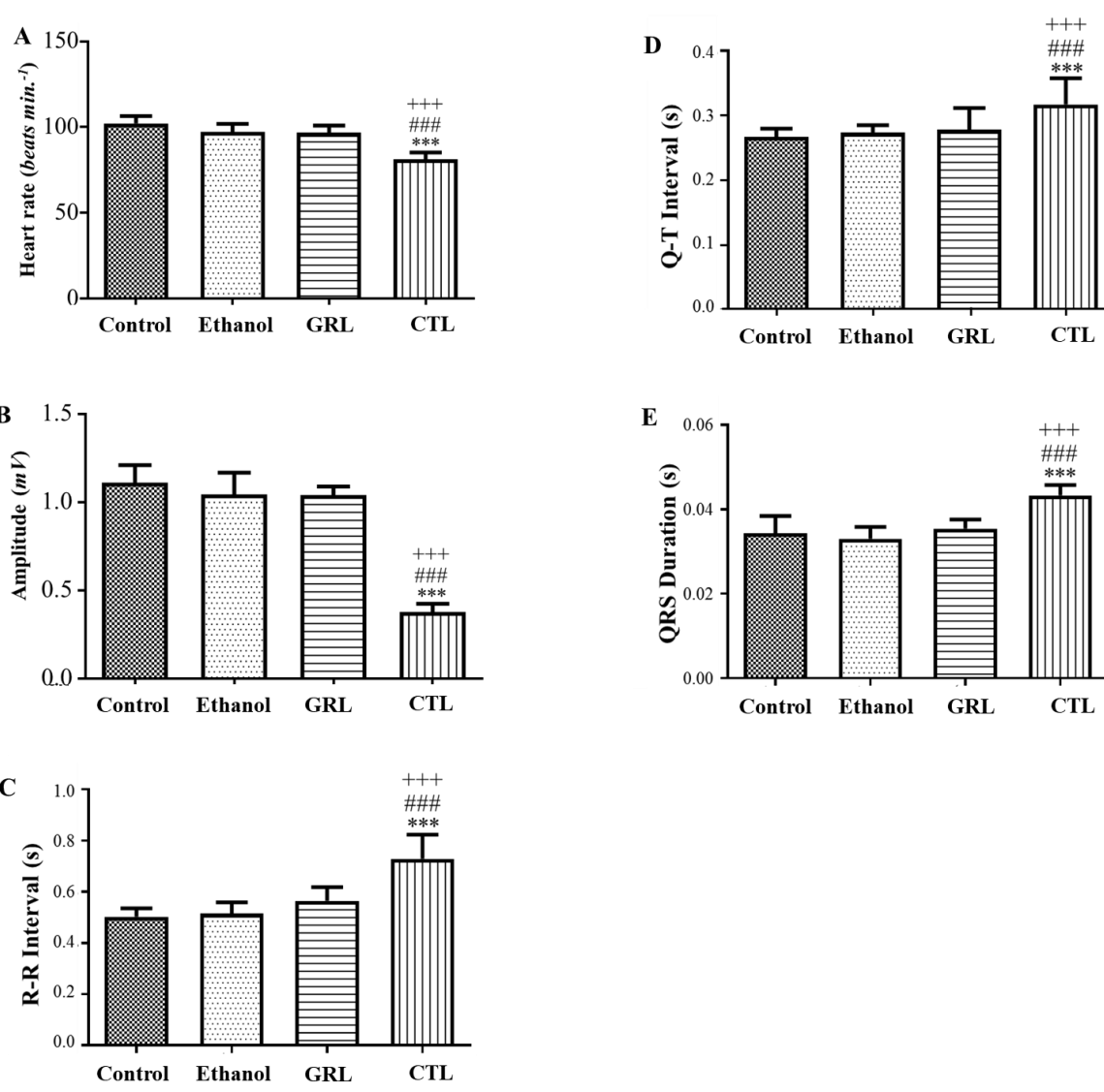
36

Fig. 5. Electrocardiographic recording (ECG) of Tambaqui, *Colossoma macropomum* in 5-min recovery after (GRL) $70 \mu\text{L L}^{-1}$ and Citronellol (CTL) $90 \mu\text{L L}^{-1}$ exposure. The red line indicates magnification of the last 150 seconds of exposure with the substances and 2-second magnification of the tracing demonstrating the ECG components.

41

42

1 No differences were observed between the controls during recovery, and ECG
 2 recordings were performed only for ethanol control, which remained no significant differences
 3 in relation to the basal group, and presenting HR values, mean amplitude, R-R and Q-T intervals
 4 and QRS duration of 97 ± 5 beats min^{-1} , 1.05 ± 0.12 mV, 0.52 ± 0.04 s, 0.27 ± 0.01 s and 0.03
 5 ± 0.00 s, respectively. However, for animals exposed to GRL and CTL, a gradual return to
 6 normal ECG was observed (Fig. 5A and B).



23 Fig. 6. Mean values recorded in the control group, vehicle control (Ethanol), (GRL) $70 \mu\text{L L}^{-1}$ and Citronellol
 24 (CTL) $90 \mu\text{L L}^{-1}$ in juvenile Tambaqui, *Colossoma macropomum* during 5 minutes in recovery. Comparisons were
 25 made between means of electrocardiographic heart rate (beats min^{-1}) recordings (A); Amplitude averages (mV)
 26 (B); Comparison between R-R interval means (seconds) (C); Evaluation of Q-T interval means (Seconds) (D);
 27 Evaluation of the average duration of the QRS complex (seconds) (E). *** Indicates statistical difference from the

1 controls; *** Indicates statistical differences from the Ethanol control group; +++ Indicates statistical difference from
2 the geraniol group. [ANOVA and Tukey's test ($p < 0.05$, $n = 9$)].
3

4 In recovering fish exposed to GRL, the records showed differences in tracings relative
5 to the induction group (Fig. 7), with a gradual increase in HR (97 ± 4 beats min^{-1}) and amplitude
6 (1.04 ± 0.05 mV) (Fig. 6A and B), showing no statistical differences against the controls. On
7 the other hand, animals exposed to CTL (Fig. 5B) presented a slow recovery. HR was relatively
8 low (81 ± 4 beats min^{-1}), and amplitude of 0.38 ± 0.05 mV was lower ($p < 0.05$) relative to the
9 other groups (Fig. 6A e B), showing a yet lingering anaesthetic effect in recovery.

10 The R-R interval during recovery in GRL-exposed fish showed a gradual return to the
11 initial condition (0.56 ± 0.05 s), with a Q-T interval of 0.28 ± 0.03 s and a QRS duration of 0.04
12 ± 0.00 s. No significant differences occurred between the controls (Fig. 10A and B). On the
13 other hand, animals exposed to CTL showed higher averages in the R-R (0.73 ± 0.09 s) and Q-
14 T (0.32 ± 0.04 s) intervals, with a QRS of 0.04 ± 0.00 s, being the higher ($p < 0.05$) in relation
15 to all groups (controls and GRL) (Fig. 6C, D and E).

16 4. DISCUSSION

17 The ECG profile is relevant for the evaluation of the effects regarding several
18 substances used in aquatic animals (Vanegas et al., 2016; Barbas et al., 2017a; Xing et al., 2017;
19 Song et al., 2018; Yonekura et al., 2018; De Souza et al., 2019). Cardiac responses are
20 modulated by external agents to which fish are exposed. ECG records allow for the assessment
21 of cardiac alterations that may indicate tissue damage or acute cardiotoxicity, including possible
22 longterm impacts to the heart function (Vornanen, 2017; Xing et al., 2017; Cantanhêde et al.,
23 2020).

24 While the heart maintained its sinus rhythm in the controls, GRL and CTL did
25 modulate cardiac responses in tambaqui. Fish exposed to GRL had reduced HR and mean
26 amplitude compared to the controls, which indicates a negative chronotropic effect, despite not
27 presenting marked cardiac depression. Similar to our findings, other studies found reductions
28 in the HR and progressive resumption thereof during recovery of tambaqui exposed to citronella
29 and *Nepeta cataria* EO and menthol (Barbas et al., 2017a; De Souza et al., 2019; Cantanhêde
30 et al., 2020).

31 Heart rate is determined by the pacemaker activity rate. The electrical impulses that
32 generate the sinus rhythm in fish are determined by specialized pacemaker tissue cells located

1 in the sinoatrial node and exerted by action potentials upon which Na^+ , K^+ and Ca^{2+} ions are
2 involved (Farrell and Jones, 1992; Hassinen et al., 2017; Rantin et al., 2020).

3 The inhibition of contractions mediated by the activation of voltage-dependent Ca^{2+}
4 channels has already been described for the GRL in vitro and *in vivo* studies. It caused a
5 vasorelaxant effect, in addition to promoting negative chronotropic and inotropic effects after
6 direct blockade of L-type Ca^{2+} channels (De Menezes-Filho et al., 2014). However, the
7 relationship of Ca^{2+} influx on myocardial contractility of fish is still poorly understood
8 (Driedzic and Gesser, 1994). This negative chronotropism was also observed in our results for
9 the animals submitted to anaesthesia with GRL.

10 Similar to the controls, fish exposed to GRL showed rather rhythmic recordings, with
11 R-R interval without much variation (low SD), and despite the prolongation of the Q-T interval,
12 the substance did not affect the QRS complex. These results were similar to those described for
13 this substance in studies that evaluated the contractile and electrophysiological properties of
14 GRL in isolated hearts (De Menezes-Filho et al., 2014).

15 The greatest alterations in tracings were observed in CTL-exposed fish, which showed
16 longer cardiac cycle with bradycardia. As proposed in previous studies, it could be a result of
17 the CNS depression or a direct consequence of the depressant effect of this substance on the
18 cardiac and respiratory tissues (De Souza et al., 2019). The HR dropped sharply, presenting
19 quite reduced power, indicated by the decreased amplitude of the R wave, showing a negative
20 CTL-related chronotropic effect. Clinical studies have suggested that the reduced amplitude of
21 the R wave may be a predictor of myocardial infarction (Sun et al., 2013).

22 The prolongation of the Q-T and R-R intervals occurred and was a similar condition
23 to that described by Cantanhêde et al. (2021) in a study using different dosages of menthol as
24 an anaesthetic for tambaqui. Such a prolongation was ascribed to a bradycardic condition. In
25 fact, this condition is related to these intervals, as they are associated with HR (Ahnve and
26 Vallin, 1982; Browne et al., 1982; Vornanen, 2017; Rantin et al., 2020). Studies using zebrafish
27 suggested that Q-T prolongation is associated with arrhythmia (Xing et al., 2017; Lin et al.,
28 2018), a condition also evidenced in fish exposed to CTL. Prolongation of this interval usually
29 indicates delayed ventricular repolarization (Fermini and Fossa, 2003; Xing et al., 2017), since
30 the duration of the Q-T interval indicates the ventricular cycle, where Q marks the beginning
31 of the depolarization and T the ventricular myocardial repolarization process (Cotter and
32 Rodnick, 2006; McGrath and Li, 2008).

1 The changes in the R-R interval with absence of the QRS complex in animals exposed
2 to CTL found herein, suggest arrhythmia and therefore a potential for atrioventricular blockade.
3 Tracing patterns between P waves, showed cardiac activity without sinus rhythm and with a
4 longer ventricular cycle. However, during washout when fish were transferred to anaesthetic
5 free water, this condition was rather rapidly reversed within five minutes.

6 These ECG changes probably occurred as a result of the indirect effect on the
7 ventricular conduction by the partial blockade of voltage gated-dependent Na^+ channels
8 induced by CTL, since these channels are responsible for the rapid depolarization of the
9 membrane. In addition, this blockade can promote a delayed intracardiac conduction,
10 prolonging the QRS complex, as they decrease the availability of channels for depolarization
11 (Keating and Sanguinetti, 2001; De Sousa et al., 2006; Delk et al., 2007; Harmer et al., 2011).
12 It was corroborated by our results, where fish exposed to CTL showed a prolongation during
13 the ventricular contraction process that corresponds to the QRS complex, indicating a negative
14 chronotropism effect, *i.e*, this group took longer to depolarize, showing weaker contraction
15 power.

16 QRS complex prolongation represents changes in action potentials and depolarization
17 time in all ventricular myocytes, as the influx of Na^+ promotes a gradual increase in
18 depolarization. Fish exposed to CTL showed similar responses to those reported for two
19 neotropical freshwater fish species (*Brycon amazonicus* and *Hoplias malabaricus*) previously
20 exposed to mercury (Hg) and subjected to hypoxia in which prolongations of the R-R and Q-T
21 intervals and duration of the QRS complex were described (Monteiro et al., 2020), with
22 atrioventricular blockade and arrhythmia.

23 Although GRL and CTL induced reversible body immobilisation and distinct
24 electrophysiological features in fish, which were compatible with anaesthesia (Araújo et al.,
25 2021), electrocardiographic characterization should be systematically used so as to rule out the
26 possibility of deleterious implications that might be involved throughout or after the exposure
27 to a given compound in anaesthetic baths. Future studies focusing on mechanistic aspects of
28 the induction with both compounds, *e.g.* recordings of intracellular action potentials and
29 sarcolemma ion currents, could shed more light on the cardiac safety and suitability of these
30 isolates to be broadly recommended and used as fish anaesthetics.

31 In summary, both anaesthetics elicited cardiac effects without compromising recovery.
32 However, GRL showed some advantages over CTL as it reduced heart rate without profoundly
33 changing the duration of the R-R, Q-T intervals or the amplitude and duration of the QRS

1 complex. In addition, the GRL allowed for the maintenance of the sinus rhythm. On the other
2 hand, CTL induced bradycardia and arrhythmia with an indication for potential atrioventricular
3 blockade, prolonging the duration of the QRS complex and the R-R and Q-T intervals after
4 exposure. Notwithstanding, results of this study showed that both compounds allowed for a fast
5 effect reversibility during recovery in clean water. Overall, such findings lend more credence
6 to the use of these substances as fish anaesthetics, mainly in the case of geraniol.

7

8 **Disclosures**

9 Authors have no conflict of interest to declare.

10

11 **Acknowledgements**

12 E.R.L.A is grateful to the Coordination for the Improvement of Higher Education Personnel
13 (Brazilian CAPES) for the scholarship provided. Authors are also thankful to students and staffs
14 of the Tropical Species Aquaculture Laboratory (LAET/IFPA – Castanhal) and Natural
15 Products Toxicology Laboratory (UFPA – Belém) for their technical assistance during the
16 experiments. L.A.S is a research fellow of the National Council for Scientific and
17 Technological Development (Brazilian CNPq).

18 **REFERENCES**

19

- 20 Ahnve, S., Vallin, H., 1982. Influence of heart rate and inhibition of autonomic tone on the QT
21 interval. *Circulation* 65, 435–439. <https://doi.org/10.1161/01.cir.65.3.435>.
- 22 Araújo, E.R.L., Silva, J.S., Lopes, L.M., Torres, M.F., Alho da Costa, B.M.P., Amarante, C.B.,
23 Hamoy, M., Barbas, L.A.L., Sampaio, L.A., 2021. Geraniol and citronellol as alternative
24 and safe phytoconstituents to induce immobilization and facilitate handling of fish.
25 *Aquaculture* 537, 736517. <https://doi.org/10.1016/j.aquaculture.2021.736517>.
- 26 Aydin, B., Barbas, L.A.L., 2020. Sedative and anesthetic properties of essential oils and their
27 active compounds in fish: A review. *Aquaculture* 520, 1–9
28 <https://doi.org/10.1016/j.aquaculture.2020.734999>.
- 29 Baldissarotto, B., Barata, L.E.S., Silva, A.S., Lobato, W.F.F., Silva, L.L., Toni, C., Silva,
30 L.V.F., 2018. Anesthesia of tambaqui *Colossoma macropomum* (Characiformes:
31 Serrasalmidae) with the essential oils of *Aniba rosaeodora* and *Aniba parviflora* and their
32 major compound, linalool. *Neotropical Ichthyology* 16, 170128. DOI: 10.1590/1982-0224-
33 20170128
- 34 Barbas, L.A.L., Stringhetta, G.R., Garcia, L.O., Figueiredo, M.R.C., Sampaio, L.A., 2016.
35 Jambu, *Spilanthes acmella* as a novel anaesthetic for juvenile tambaqui, *Colossoma*
36 *macropomum*: Secondary stress responses during recovery. *Aquaculture*, 456, 70–75.

- 1 Barbas, L.A.L., Hamoy, M., De Mello, V.J., Barbosa, R.P.M., De Lima, H.D.S.T., Torres, M.F.,
2 Do Nascimento, L.A.S., Da Silva, J.K.R., Andrade, E.H.A., Gomes, M.R.F., 2017a.
3 Essential oil of citronella modulates electrophysiological responses in tambaqui *Colossoma*
4 *macropomum*: A new anaesthetic for use in fish. Aquaculture. 479, 60 – 68.
- 5 Barbas, L.A.L., Maltez, L.C., Stringhetta, G.R., de Garcia, L.O., Monserrat, J.M., da Silva,
6 D.T., Heinzmann, B.M., Sampaio, L.A., 2017b. Properties of two plant extractives as
7 anaesthetics and antioxidants for juvenile tambaqui *Colossoma macropomum*. Aquaculture
8 469, 79–87.
- 9 Barbas, L.A.L., Torres, M.F., da Costa, B.M.P.A., Feitosa, M.J.M., Maltez, L.C., Amado, L.L.,
10 Toda, Y.P.S., Batista, P.S., Cabral, D.A.C., Hamoy, M., 2021. Eugenol induces body
11 immobilization yet evoking an increased neuronal excitability in fish during short-term
12 baths. Aquat. Toxicol. 231, 105734. <https://doi.org/10.1016/j.aquatox.2020.105734>.
- 13 Bastos, J.F., Moreira, I.J., Ribeiro, T.P., Medeiros, I.A., Antoniolli, A.R., De Sousa, D.P.,
14 Santos, M.R., 2009. Hypotensive and vasorelaxant effects of citronellol, a monoterpenic
15 alcohol, in rats. Basic Clin Pharmacol Toxicol 106, 331–337.
- 16 Browne, K.F., Zipes, D.P., Heger, J.J., Prystowsky, E.N., 1982. Influence of the autonomic
17 nervous system on the Q-T interval in man. Am. J. Cardiol. 50, 1099–1103.
- 18 Cantanhêde, S.M., Hamoy, M., Montag, L.F.A., Amado, L.L., 2020. Electrophysiological
19 responses in Amazonian fish species *Bryconops caudomaculatus* (Osteichthyes:
20 Characiformes) as biomarkers of xenobiotic toxicity. Comp. Biochem. Physiol. C Toxicol.
21 Pharmacol. 228, 108653. <https://doi.org/10.1016/j.cbpc.2019.108653>.
- 22 Cantanhêde, S.M., Amado, L.L., Costa, B.M.P.A., Barbas, L.A.L., Torres, M.F., Hamoy, A.O.,
23 Paz, C.A., Ferreira, S.B.S., Lima, G.O., Sousa, J.R., Almeida, L.C.N., Bentes, N.H.M.,
24 Mello, V.J., Hamoy, M., 2021. Menthol exposure induces reversible cardiac depression and
25 reduces lipid peroxidation in the heart tissue of tambaqui *Colossoma macropomum*.
26 Aquaculture 541, 736847. <https://doi.org/10.1016/j.aquaculture.2021.736847>
- 27 Castro, H.G., Perini, V.B.M., Santos, G.R., Leal, T.C.A.B., 2010. Evaluation of content and
28 composition of the essential oil of *Cymbopogon nardus* (L.) in different harvest times. Rev.
29 Ciênc. Agron. 41, 308–314.
- 30 Cotter, P.A., Rodnick, K.J., 2006. Differential effects of anaesthetics on electrical properties of
31 the rainbow trout (*Oncorhynchus mykiss*) heart. Comp. Biochem. Physiol. A. 145, 158–165.
32 <https://doi.org/10.1016/j.cbpa.2006.06.001>.
- 33 De Menezes-Filho, J.E.R., Gondim, A.N.S., Cruz, J.S., De Souza, A.A., Santos, J.N.A., Conde-
34 Garcia, E. A., Sousa, D.P., Santos, M.S., Oliveira, E.D., Vasconcelos, C. M. L., 2014.
35 Geraniol blocks calcium and potassium channels in the mammalian myocardium: useful
36 effects to treat arrhythmias. Basic & Clinical Pharmacology & Toxicology, 115(6), 534–
37 544.
- 38 De Oliveira, C.P.B., da Paixão Lemos, C.H., Vidal, L.V.O., Couto, R.D., Pereira, D.S.P.,
39 Copatti, C.E., 2019. Anaesthesia with eugenol in hybrid Amazon catfish (*Pseudoplatystoma*
40 *reticulatum* × *Leiarius marmoratus*) handling: Biochemical and haematological responses.
41 Aquaculture 501, 255–259. <https://doi.org/10.1016/j.aquaculture.2018.11.046>.
- 42 De Sousa, D.P., Gonçalves, J.C.R., Quintans-Júnior, L., Cruz, J.S., Araújo, D.A.M., Almeida,
43 R.N., 2006. Study of anticonvulsant effect of citronellol, a monoterpenic alcohol, in rodents.
44 Neurosci Lett 401, 231–5.
- 45 De Souza, A.S.L., Peret, A.C., Hamoy, M., De Souza, R.A.L., Torres, M.F., Barbas, L.A.L.,
46 2019. Propofol and essential oil of *Nepeta cataria* induce anaesthesia and marked
47 myorelaxation in tambaqui *Colossoma macropomum*: implications on cardiorespiratory
48 responses. Aquaculture 500, 160–169.
- 49 Delk C., Holstege C.P., Brady W.J., 2007. Electrocardiographic abnormalities associated with
50 poisoning. Am J Emerg Med 25, 672–687.

- 1 Driedzic, W.R., Gesser, H., 1985. Ca^{2+} protection from the negative inotropic effect of
2 contraction frequency on teleost hearts. J. Comp. Physiol. Part B-Biochem.156, 135–142.
3 <https://doi:10.1007/bf00692936>.
- 4 Façanha, M.F., Gomes, L.D.C., 2005. A eficácia do mentol como anestésico paratambaqui
5 (*Collossoma macropomum*, Characiformes: Characidae). Acta Amaz 35, 71–75.
6 <https://doi.org/10.1590/s0044-59672005000100011>.
- 7 Food and Agriculture Organization of the United Nations (FAO), 2020. The State of World
8 Fisheries and Aquaculture. FAO, Rome. <http://www.fao.org/3/ca9229en/ca9229en.pdf>.
- 9 Farrell, A.P., Jones, D.R., 1992. The heart. In *Fish Physiology*, vol. XIIA (ed. W. S. Hoar, D.
10 J. Randall and A. P. Farrell), Academic Press. pp. 1-88.
- 11 Fermini, B., Fossa, A.A., 2003. The impact of drug-induced QT interval prolongation on drug
12 discovery and development. Nat. Rev. Drug Discov. 2, 439-447.
13 <https://doi.org/10.1038/nrd1108>.
- 14 Fujimoto, R.Y., Pereira, D.M., Silva, J.C., Oliveira, L.C.A.O., Inoue, L.A.K.A., Hamoy, M.,
15 Mello, V.J., Torres, M.F., Barbas, L.A.L., 2017. Clove oil induces anaesthesia and blunts
16 muscle contraction power in three Amazon fish species. Fish Physiol Biochem, 44, 245–
17 256.
- 18 Harmer, A.R., Valentin, J.P., Pollard, C.E., 2011. On the relationship between block of the
19 cardiac Na^+ channel and drug-induced prolongation of the QRS complex. Br. J. Clin.
20 Pharmacol. 164, 260–273. <https://doi.org/10.1111/j.1476-5381.2011.01415.x>.
- 21 Hassinen, M., Haverinen, J., Vornanen, M., 2017. Small functional if current in sinoatrial
22 pacemaker cells of the brown trout (*Salmo trutta fario*) heart despite strong expression of
23 HCN channel transcripts. Am J Physiol 313: R711–R722.
24 <https://doi:10.1152/ajpregu.00227.2017>.
- 25 Inoue, L.A.K.A., Neto, C. do S., Moraes, G., 2003. Clove oil as anaesthetic for juveniles of
26 matrinxã *Brycon cephalus* (Gunther, 1869). Ciência Rural 33, 943–947.
27 <https://doi.org/10.1590/S0103-84782003000500023>.
- 28 Inoue L.A.K.A., Boijink C.L., Ribeiro P.T., Silva A.M.D., Affonso E.G., 2011. Avaliação de
29 respostas metabólicas do tambaqui exposto ao eugenol em banhos anestésicos. Acta Amaz.
30 41, 327-32.
- 31 Jirovetz, L., Buchbauer, G., Stoilova, I., Stoyanova, A., Krastanov, A., Schmidt, E., 2006. Chemical composition and antioxidant properties of clove leaf essential oil. J Agric Food Chem. 54, 6303–6307. <https://doi.org/10.1021/jf060608c>.
- 34 Keating, M.T., Sanguinetti, M.C., 2001. Molecular and cellular mechanisms of cardiac arrhythmias. Cell 104, 569-580. [https://doi.org/10.1016/s0092-8674\(01\)00243-4](https://doi.org/10.1016/s0092-8674(01)00243-4).
- 36 Lin, M.H., Chou, H.C., Chen, Y.F., Liu, W., Lee, C.C., Liu, L.Y.M., Chuang, Y.J., 2018. Development of a rapid and economic in vivo electrocardiogram platform for cardiovascular drug assay and electrophysiology research in adult zebrafish. Sci Rep 8:15986.
- 39 Lopez-Romero, J.C., González-Ríos, H., Borges, A., Simões, M., 2015. Antibacterial effects
40 and mode of action of selected essential oils components against *Escherichia coli* and *Staphylococcus aureus*. Evid Based Complement Alternat Med.; v.2015:9p.
- 42 McGrath, P., Li, C.Q., 2008. Zebrafish: a predictive model for assessing drug-induced toxicity.
43 Drug discovery today. 13, 394-401. DOI: 10.1016/j.drudis.2008.03.002.
- 44 Menezes-Filho, J.E.R., Gondimb, A.N.S., Cruz, J.S., Souza, A.A., Santos, J.N.A., Conde-
45 Garcia, N.A., Sousa, D.P., Santos, M.S., Oliveira, E.D., Vasconcelos, C.M.L., 2014. Geraniol blocks calcium and potassium channels in the mammalian myocardium: useful
46 effects to treat arrhythmias. Basic & Clinical Pharmacology & Toxicology, 115, 534-544.
48 <https://doi.org/10.1111/bcpt.12274>.

- 1 Monteiro, D.A., Taylor, E.W., McKenzie, D.J., Rantin, F.T., Kalinin, A.L., 2020. Interactive
2 effects of mercury exposure and hypoxia on ECG patterns in two Neotropical freshwater
3 fish species: Matrinxã, *Brycon amazonicus* and traíra, *Hoplias malabaricus*. Ecotoxicology.
4 Mylonas, C.C., Cardinaletti, G., Sigelaki, I., Polzonetti-Magni, A., 2005. Comparative efficacy
5 of clove oil and 2-phenoxyethanol as anesthetics in the aquaculture of European sea bass
6 (*Dicentrarchus labrax*) and gilthead sea bream (*Sparus aurata*) at different
7 temperatures. Aquaculture: 246, 467-481.
- 8 Pádua S.B., Dias Neto J., Sakabe R., Claudiano G.S., Chagas E.C., Pilarski F., 2013. Variáveis
9 hematológicas em tambaquis anestesiados com óleo de cravo e benzocaína. Pesqui Agropec
10 Bras. 48, 1171-74.
- 11 Quintans-Júnior, L.J., Souza, T.T., Leite, B.S., Lessa, N.M.N., Bonjardim, L.R., Santos,
12 M.R.V., et al., 2008. Phytochemical screening and anticonvulsant activity of *Cymbopogon*
13 *winterianus* Jowitt (Poaceae) leaf essential oil in rodents. Phytomedicine 15, 619–24.
- 14 Rantin, F.T., Kalinin, A.L., Monteiro, D.A., 2020 .The cardiovascular system. In: Baldisserotto
15 B, Urbinati EC, Cyrino JEP (eds) Biology and physiology of freshwater neotropical fish, 1st
16 edn. Academic Press, 185–216. <https://doi.org/10.1016/B978-0-12-815872-2.09995-4>.
- 17 Roubach, R., Gomes, L.C., Fonseca, F.A.L., Val, A.L., 2005. Eugenol as an efficacious
18 anaesthetic for tambaqui, *Colossoma macropomum* (Cuvier). Aquac. Res. 36, 1056–1061.
- 19 Saccò, E.M.H., Toni C., Pêس, T., Ourique, G.M., Gressler, L.T., Silva, L.V.F., Mourão, R.H.V.,
20 Oliveira, R.B., Baldisserotto, B., Pavanato, M.A., 2016. Anaesthetic and antioxidant effects
21 of *Myrcia sylvatica* (G. Mey.) DC. and *Curcuma longa* L. essential oils on tambaqui
22 (*Colossoma macropomum*). Aquaculture Research 48, 2012-2031.
- 23 Santos Batista, E., Brandão, F.R., Majolo, C., Inoue, L.A.K.A., Maciel, P.O., De Oliveira, M.R.,
24 Chaves, F.C.M., Chagas, E.C., 2018. *Lippia alba* essential oil as anesthetic for tambaqui.
25 Aquaculture 495, 545–549. <https://doi.org/10.1016/j.aquaculture.2018.06.040>.
- 26 Sladky, K.K., Swanson, C.R., Stoskopf, M.K., Loomis, M.R., Lewbart, G.A., 2001. Comparative
27 efficacy of tricaine methanesulfonate and clove oil for use as anesthetics in red
28 pacu (*Piaractus brachypomus*). Am. J. Vet. Res. 62, 337-342.
29 <https://doi.org/10.2460/ajvr.2001.62.337>.
- 30 Song, J., Qiao, L., Ji, L., Ren, B., Hu, Y., Zhao, R., Ren, Z., 2018. Toxic responses of zebrafish
31 (*Danio rerio*) to thallium and deltamethrin characterized in the electrocardiogram.
32 Chemosphere 212, 1085 - 1094. <https://doi.org/10.1016/j.chemosphere.2018.09.014>.
- 33 Sun, X., Cai, J., Fan, X., Han, P., Xie, Y., Chen, J., Xiao, Y., Kang, Y.J., 2013. Decreases in
34 electrocardiographic R-wave amplitude and QT interval predict myocardial ischemic
35 infarction in rhesus monkeys with left anterior descending artery ligation. Plos One. 8,
36 71876. DOI: 10.1371/journal.pone.0071876. <https://doi.org/10.1371/journal.pone.0071876>.
- 37 Unesco, 1983. Chemical methods for use in marine environmental monitoring. Manual and
38 Guides 12, Intergovernmental Oceanographic Commission. France, Paris.
- 39 Valladão, G.M.R., Gallani, S.U., Pilarski, F., 2016. South American fish for continental
40 aquaculture. Reviews in Aquaculture 10, 351-369. <https://doi.org/10.1111/raq.12164>.
- 41 Valenti, W.C., Barros, H.P., Moraes-Valenti, P., Bueno, G.W., Cavali, R.O., 2021. Aquaculture
42 in Brazil: past, present and future. Aquaculture Reports 19, 100611.
43 <https://www.sciencedirect.com/science/article/pii/S2352513421000272>.
- 44 Vanegas, G., Lancien, F., Leprince, J., Vaudry, H., Le Mével, J-C., 2016. Effects of peripherally
45 administered urotensin II and arginine vasotocin on the QT interval of the electrocardiogram
46 in trout. Comparative Biochemistry and Physiology Part C 183–184, 53–60.
47 <http://dx.doi.org/10.1016/j.cbpc.2016.01.006>.
- 48 Vilhena, C.S., Nascimento, L.A.S., Andrade, E.H.A., Silva, J.K.R., Hamoy, M., Torres, M.F.,
49 Barbas, L.A.L., 2019. Essential oil of *Piper divaricatum* induces a general anaesthesia-like

- 1 state and loss of skeletal muscle tonus in juvenile tambaqui, *Colossoma macropomum*.
2 Aquaculture, 510, 169-175. <https://doi.org/10.1016/j.aquaculture.2019.05.057>.
- 3 Vornanen M., 2017 .Electrical excitability of the fish heart and its autonomic regulation. Fish
4 Physiol 36, 99–153. <https://doi.org/10.1016/bs.fp.2017.04.002>.
- 5 Wang, W., Dong, H., Sun, Y., Cao, M., Duan, Y., Li, H., Liu, Q., Gu, Q., Zhang, J., The efficacy
6 of eugenol and tricaine methanesulphonate as anaesthetics for juvenile Chinese sea bass
7 (*Lateolabrax maculatus*) during simulated transport. J Appl Ichthyol. 35, 551-557.
8 <https://doi.org/10.1111/jai.13844>.
- 9 Xing, N., Ji, L., Song, J., Ma, J., Li, S., Ren, Z., Xu, F., Zhu, J. 2017. Cadmium stress
10 assessment based on the electrocardiogram characteristics of zebrafish (*Danio rerio*): QRS
11 complex could play an important role. Aquati Toxicol 191, 236–244.
12 <https://doi:10.1016/j.aquatox.2017.08.015>.
- 13 Yonekura M., Kondoh, N., Han, C., Toyama, Y., Ohba, T., Ono, K., Itagaki, S., Tomita, H.,
14 Murakami, M., 2018. Medaka as a model for ECG analysis and the effect of verapamil. J
15 Pharm Sci. 137, 55-60. <https://doi.org/10.1016/j.jphs.2018.04.003>.
- 16 Yoshikawa, H., Ishida, Y., Yokoyama, Y., Ueno, S., Mitsuda, H., 1988. Electrocardiograms in
17 five bipolar leads recorded from the body surface of three fish species (*Cyprinus carpio*,
18 *Oreochromis niloticus* and *Pagrus major*) in fresh or sea-water. Comp. Biochem. Physiol.,
19 Part A Physiol. 91, 759-764. [https://doi.org/10.1016/0300-9629\(88\)90961-9](https://doi.org/10.1016/0300-9629(88)90961-9).
- 20 Zahl, I.H., Samuelsen, O., Kiessling, A., 2012. Anaesthesia of farmed fish: Implications for
21 welfare. Fish Physiol. Biochem. 38, 201–218. <https://doi.org/10.1007/s10695-011-9565-1>.

CAPÍTULO 3

Electroencephalographic characterization in juvenile Tambaqui, *Colossoma macropomum* exposed to short-term baths with geraniol and citronellol

Ednara Ronise L. de Araújo^a, Marcelo Ferreira Torres^b, Brenda M. P. Alho da Costa^b, Moisés Hamoy^{d,*}, Luís André Sampaio^{a,**}, Luis André L. Barbas^{b,***}

^aLaboratório de Piscicultura Estuarina e Marinha, Programa de Pós-graduação em Aquicultura, Universidade Federal do Rio Grande, Instituto de Oceanografia, Rio Grande – RS, Brazil

^bLaboratório de Aquacultura de Espécies Tropicais, Instituto Federal de Educação Ciência e Tecnologia do Pará, Castanhal – PA, Brazil

^cLaboratório de Farmacologia e Toxicologia de Produtos Naturais, Instituto de Ciências Biológicas, Universidade Federal do Pará, Belém – PA, Brazil

Corresponding authors at:

* Correspondence to: M. Hamoy, Laboratório de Farmacologia e Toxicologia de Produtos Naturais, Universidade Federal do Pará, UFPA Campus Belém, Rua Augusto Corrêa nº 01 Guamá, CEP 66075-110 Belém, PA, Brazil.

** Correspondence to: L. A. Sampaio, Laboratório de Piscicultura Estuarina e Marinha, Universidade Federal do Rio Grande, FURG, Instituto de Oceanografia, CP 474, CEP 96201-900 Rio Grande, RS, Brazil.

*** Correspondence to: L. A. L. Barbas, Laboratório de Aquacultura de Espécies Tropicais, Instituto Federal de Educação Ciência e Tecnologia do Pará, IFPA Campus Castanhal, BR 316, Km 63 S/N, CEP 68740-970 Castanhal, PA, Brazil.

E-mail addresses: hamoyufpa@gmail.com (M. Hamoy), sampaio@mikrus.com.br (L.A. Sampaio), andre.barbas@hotmail.com (L.A.L. Barbas).

Short note a ser submetida à revista *Aquaculture* (em preparação para submissão)

Fator de Impacto: 5.135

1 **Abstract**

2 The aim of the present study was to evaluate the level of neuronal depression in juvenile
3 tambaqui, *Colossoma macropomum* exposed to geraniol (GRL) and citronellol (CTL) in
4 immersion baths. A total of 54 juveniles weighing $35.2 \pm 9.4\text{g}$ were used, essayed into 6
5 experimental groups: I – Basal control: clean water; II – Ethanol: water containing the highest
6 volume of ethanol used in the anaesthetic dilution; III – GRL Induction – $70 \mu\text{L L}^{-1}$; IV – CTL
7 Induction – $90 \mu\text{L L}^{-1}$; V – GRL Recovery; and VI – CTL Recovery. Electroencephalographic
8 recordings were performed for 300 seconds for each group. The results of the basal and ethanol
9 control groups showed regular and similar activity. Upon contact with the anaesthetics,
10 irregularities were observed in the tracings showing neuronal excitability and increased
11 amplitudes, mainly on the case of CTL. Mostly, the GRL-exposed fish had regular tracings
12 throughout induction, showing gradual recovery and stable tracings, consistent with an
13 adequate anaesthetic effect. On the other hand, fish exposed to CTL showed altered EEG
14 activity during induction, incompatible with an appropriate anaesthetic induction and smooth
15 recovery, presenting high and irregular EEG amplitudes.

16 **Key words:** EEG; monoterpenes; anaesthetic; sedation; fish welfare.

17 1. INTRODUCTION

18 Several studies have evaluated anaesthetics for use in aquatic animals, however, only
19 a few have used electrophysiological markers to corroborate the neuronal effects of these
20 substances on the fish brain. Recent studies have evaluated fish anaesthesia from a combined
21 brain and behavioural perspective throughout and after the exposure to gauge the extent of
22 neuronal depression attained (Barbas et al., 2021; Costa et al., 2022).

23 In a study carried out using juvenile tambaqui, it was evaluated the behavioural
24 changes induced by eugenol, which is considered a suitable anaesthetic for fish and widely used
25 in aquaculture. However, an intense eugenol-related neuronal excitability, resembling a
26 convulsive event was described, without depression of the central nervous system (CNS)
27 activity in the short term, which was corroborated by the electroencephalographic EEG patterns
28 recorded (Barbas et al., 2021). Hence, it was suggested that eugenol, which has been a
29 traditional natural product for fish anaesthesia worldwide, might not be a suitable product for
30 short-term anaesthetic induction of fish, as it could imply important concerns in terms of fish

1 welfare. Therefore, alternative products should be prospected to be recommended based on
2 their suitability, also from a neuronal perspective.

3 Chemicals such as quinaldine sulfate, benzocaine and tricaine methanesulfonate (MS-
4 222) have long been the most used anaesthetics for fish, despite reports of some causing
5 undesirable effects such as irritability, mucus loss, corneal damage and, contradictorily,
6 promote stress (Svoboda and Kolavora, 1999; Inoue et al., 2003; Ross and Ross, 2008; Heo and
7 Shin, 2010; Pawar et al., 2011), with metabolic changes and, consequently, affecting
8 performance of the fish.

9 In this context, the use of natural products in sedative or anaesthetic doses has
10 increased in an attempt to reduce the stress levels in fish farming, while ensuring increased
11 survival, productivity, welfare and complying with ethics-related issues (Sneddon, 2012; Aydin
12 and Barbas, 2020). The phytochemicals geraniol and citronellal are the main monoterpene
13 compounds within the citronella grass, *Cymbopogon nardus* (Castro et al., 2010), that have an
14 already verified anaesthetic effect on fish (De Araújo et al., 2021).

15 It is worth noting that, despite the variety of studies in the search for new anaesthetics
16 (Aydin and Barbas, 2020), the characterization of the CNS response and possible deleterious
17 effects on the brain function are still poorly elucidated for fish (Zahl et al., 2012). To overcome
18 this limitation, electrophysiological analyses can be used to contribute to the validity and
19 objectivity of the general anaesthesia evaluation in fish, as the monitoring of anaesthesia should
20 include appropriate and selected parameters (Barbas et al., 2021; De Araújo et al., 2021).

21 Several studies on the anaesthesia of juvenile tambaqui, *Colossoma macropomum*,
22 have already been reported. This fish species shows resistance to handling and high sensitivity
23 to substance testing. It has been considered a promising experimental model in
24 electrophysiological studies according to recent studies (Barbas et al., 2017; De Souza et al.,
25 2019; Vilhena et al., 2019; De Araújo et al., 2021; Barbas, et al., 2021; Cantanhede et al., 2021;
26 Costa et al., 2022).

27 Thus, the objective of this study was to evaluate the level of neuronal depression in
28 juveniles of tambaqui, *C. macropomum* exposed to short-term immersion baths with geraniol
29 and citronellol.

1 2. MATERIAL AND METHODS

2 2.1 *Experimental Animals*

3 Juveniles of tambaqui, *Colossoma macropomum*, weighing $35.2 \pm 9.4\text{g}$ acquired from
4 a commercial farm were used. Initially, the animals were acclimated for 7 days in aquariums
5 with a capacity of 300L in the Experimental Vivarium of the Laboratory of Pharmacology and
6 Toxicology of Natural Products at the Universidade Federal do Pará (UFPa). The animals were
7 kept in an environment with constant aeration and photoperiod of 12h C: 12h E. Feeding was
8 performed twice a day with commercial feed (32% CP) until satiety. Daily cleaning was
9 performed with partial water change (approximately 20% of the tank volume) to remove
10 uneaten feed and faeces. The water quality variables were monitored daily and maintained as
11 follows: Temperature $26.8\text{ }^{\circ}\text{C}$; pH 7.5; DO $> 5.0\text{ mg L}^{-1}$; ammonia 0.1 mg L^{-1} .

12 2.2 *Experimental Design*

13 The animals were randomly essayed in 6 groups, as follows: a) Basal Control: in
14 substance-free aquarium water; b) Ethanol Control: in aquarium water containing the highest
15 equivalent volume of ethanol used in the anaesthetic dilution; c) Geraniol Induction (GRL):
16 immersion bath in aquarium water containing $70\text{ }\mu\text{l L}^{-1}$ GRL; d) Citronellol Induction (CTL):
17 immersion bath in aquarium water containing $90\text{ }\mu\text{l L}^{-1}$ CTL; e) Geraniol recovery; f)
18 Citronellol Recovery. Nine fish were used for each group ($n=9$), with each animal considered
19 a replica and used only once. Analyses of electroencephalographic recordings were performed
20 for 300 seconds during induction and recovery.

21 To evaluate the CNS activity of tambaqui, the power spectral density was evaluated
22 for a period of 5 minutes and, separately, the last 30 seconds of recording of the induction period
23 during contact with geraniol (GRL – 30 s) e citronellol (CTL – 30 s).

24 2.3 *Implantation of electrodes and acquisition of electroencephalographic recordings*

25 For the EEG recording procedures the methodologies of Hamoy et al. (2018) and
26 Barbas et al. (2021) were used. After the implantation of the EEG electrodes, fish were
27 transferred to the maintenance tanks for recovery, where they remained for 48 hours before the
28 recordings. Upon recordings, fish were taken according to their respective treatment and
29 restrained in a slotted foam pad, inside the aquarium, then the electrodes were connected to the
30 fish midbrain and a high impedance amplifier, for the measurement of the potential field of the

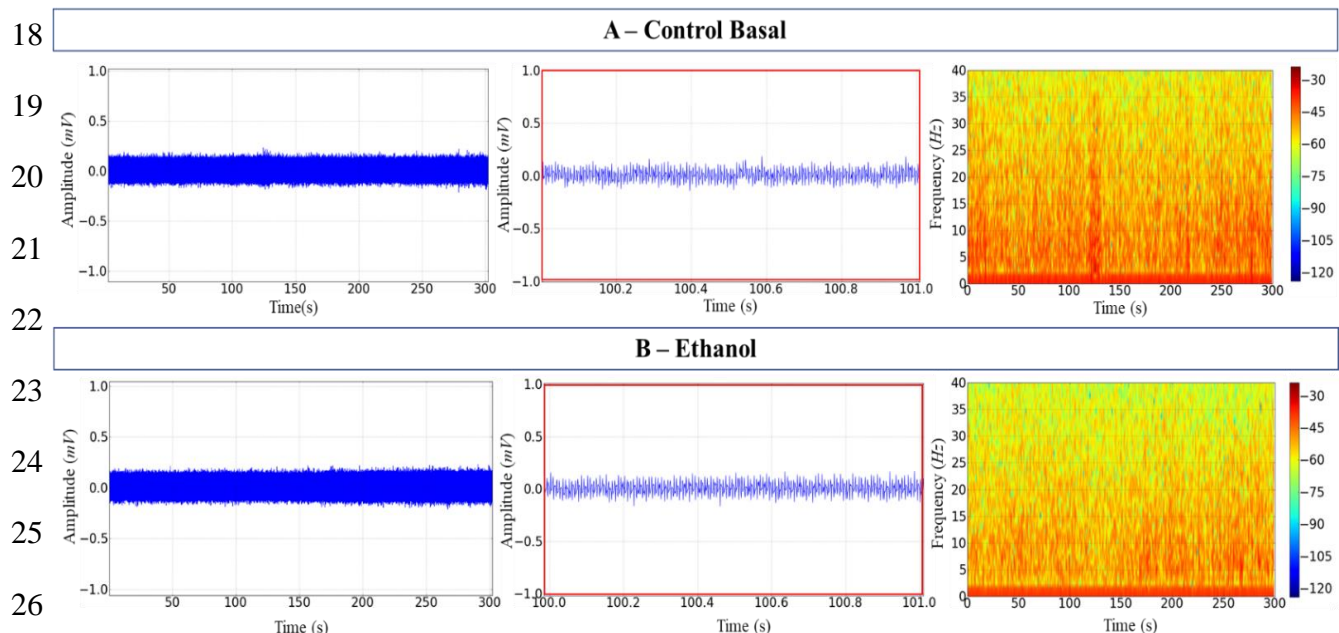
1 midbrain area. Recording for each animal took 300 s. For more details on the EEG recording
2 procedures and setup refer to Barbas et al. (2021).

3 *2.4 Signal analysis and statistics*

4 For the analysis of the acquired signals, a tool was built using the Python programming
5 language version 2.7. Numpy and Scipy libraries were used for math processing and Matplotlib
6 library for the graphics. The graphical interface was developed using the PyQt4 library (Souza-
7 Monteiro et al., 2015). Frequency spectrograms were calculated using a Hamming window of
8 256 points (256/1000s), and each frame was generated with an overlap of 128 points per
9 window. For each frame, the power spectral distribution (PSD) was calculated using the Welch
10 mean periodogram methodology. Frequency histograms were made with the signal PSD (with
11 1–Hz boxes).

12 Kolmogorov-Smirnov and Levene tests were used to assess data normality and
13 variance homogeneity, respectively. Comparisons of power values were performed using one-
14 way analysis of variance (ANOVA), followed by Tukey's post-hoc test. The GraphPad Prism®
15 8 software was used for the analyses. A p-value < 0.05 was considered statistically significant
16 in all cases.

17 **3. RESULTS**

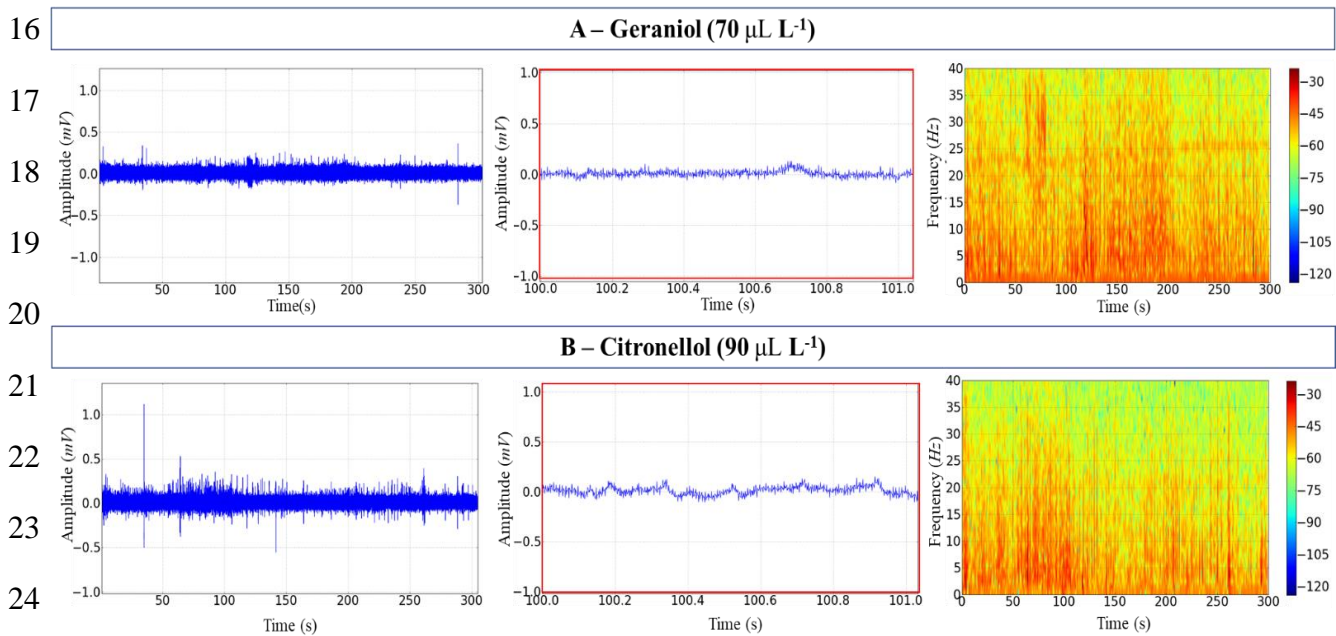


27 Figure 1. Tambaqui *C. macropomum* midbrain electroencephalographic (EEG) records. (A) Control basal records
28 over 300 s (left); 1-s snapshot amplification (centre), and the spectrogram of frequency showing the distribution
29 of power (right). (B) Ethanol records over 300 s (left); 1-s snapshot amplification (centre), and the spectrogram of
30 frequency showing the distribution of power (right). Amplification of 5000X.

1 There were no mortalities during or after the handling of the animals. The EEG
 2 recordings for the basal and ethanol control groups showed regular and similar activity, as can
 3 be seen in the amplification of the tracings, with low amplitudes with a mean amplitude of 0.11
 4 ± 0.001 mV. The spectrogram shows the distribution of power (intensity of the signal) in
 5 frequencies up to 40 Hz. Higher intensity was concentrated at frequencies below 5 Hz in both
 6 basal and ethanol controls (Fig. 1 A and B).

7 After the animals were exposed to the anaesthetics, irregularities were observed in the
 8 tracings with accentuated neuronal excitability, and an increased amplitude of the induction
 9 tracing. For the group submitted to the immersion bath with the GRL, the amplitude of the
 10 tracing reached 0.23 ± 0.001 mV. Spectrogram of frequency showed a distribution of power
 11 between 20 – 25 Hz, which is maintained throughout the recording (Fig. 2 A).

12 For animals exposed to CTL, excitability also occurred during induction, with
 13 amplitude reaching 0.37 ± 0.002 mV. In this group there was a greater irregularity in the
 14 tracings that were very evident (100 – 101s). The representative spectrogram, as well as for the
 15 GRL, showed energy variation during induction with CTL (Fig. 2 B).

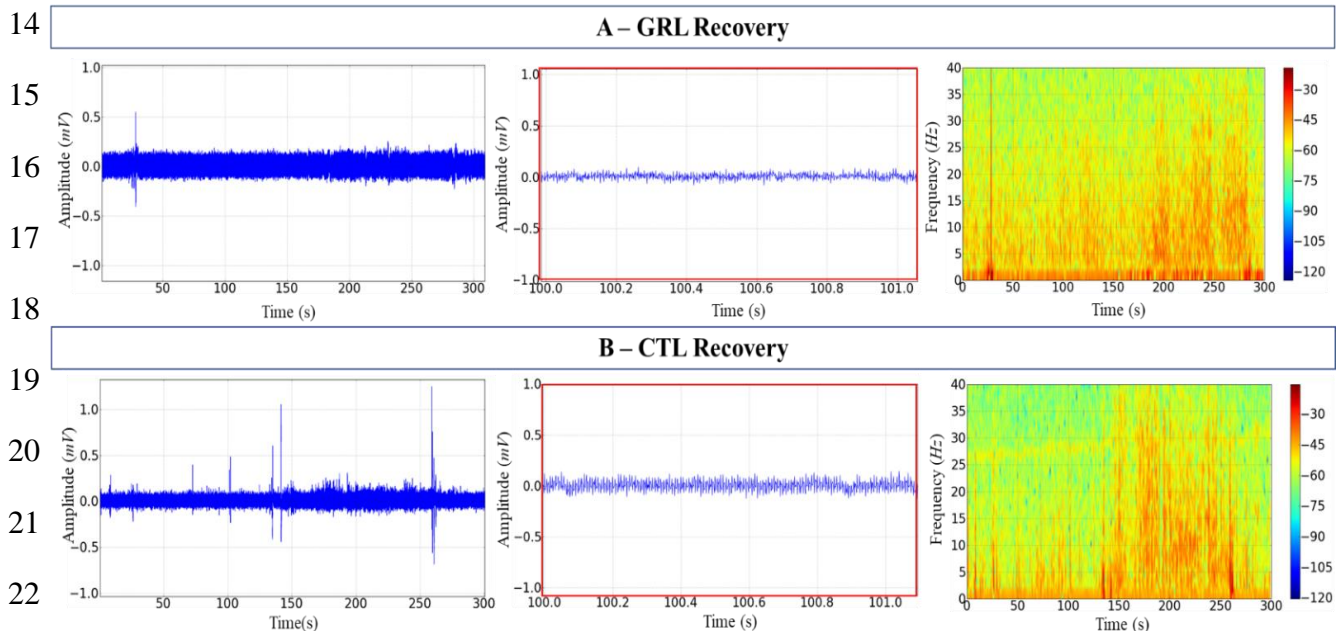


25 Figure 2. Electroencephalographic (EEG) recordings of the Tambaqui *C. macropomum* midbrain during induction.
 26 (A) $\mu\text{L L}^{-1}$ Geraniol records over 300 s (left); 1-s snapshot amplification (centre), and the spectrogram of frequency
 27 showing the distribution of power (right). (B) $90 \mu\text{L L}^{-1}$ Citronellol records over 300 s (left); 1-s snapshot
 28 amplification (centre), and the spectrogram of frequency showing the distribution of power (right). Amplification
 29 of 5000X.

1 The recovery of fish exposed to GRL was gradual and showed to be stable in the
 2 tracings with amplitude reaching 0.25 ± 0.002 mV. Amplification of the record and the
 3 spectrogram demonstrated a gradual increase in power at frequencies up to 40 Hz (Fig. 3 A).

4 On the other hand, during the 5 minute recovery of the animals exposed to CTL, the
 5 mean amplitude was 0.37 ± 0.001 mV, and similarly to the induction, irregularities were
 6 observed in the tracings, evidenced by the amplification. The spectrogram demonstrated the
 7 power variation in frequencies up to 40 Hz, with a slight higher power between 25 – 30 Hz
 8 (Fig. 3 B).

9 Animals exposed to GRL and CTL showed higher power than the basal control,
 10 indicating excitability during contact with the substances. As for the total recording time, during
 11 recovery for both the GRL and CTL groups, excitability was also present, however, with
 12 amplitudes below the induced group. Yet, only the PSD of the GRL group resembled that of
 13 the baseline control in recovery (Fig. 4 A and B).



23 Figure 3. Electroencephalographic (EEG) recordings of the Tambaqui *C. macropomum* midbrain during recovery.
 24 (A) Geraniol (GRL) records over 300 s (left); 1-s snapshot amplification (centre), and the spectrogram of frequency
 25 showing the distribution of power (right). (B) Citronellol (CTL) records over 300 s (left); 1-s snapshot
 26 amplification (centre), and the spectrogram of frequency showing the distribution of power (right). Amplification
 27 of 5000X.

28 The linear power distribution (Fig. 4 C) in the basal control and ethanol groups
 29 presented respective mean powers of 0.0003 ± 0.00003 mV²/ Hz and 0.0002 ± 0.00003 mV²/
 30 Hz without significant differences. The mean power of the GRL group during the recordings of
 31 induction and recovery of animals exposed to anaesthetics was 0.006 ± 0.0001 mV²/Hz, higher

($p < 0.05$) from the other groups basal and ethanol and lower ($p < 0.05$) from the CTL. The mean potency for the group exposed to CTL was much higher with a mean power of 0.002 ± 0.0003 mV²/Hz, being significantly higher ($p < 0.05$) from the basal and ethanol controls.

The average power during the recovery of the GRL group was 0.0005 ± 0.00003 mV²/Hz, higher ($p < 0.05$) from the groups basal and ethanol, and lower ($p < 0.05$) from the CTL - induction and CTL – recovery). In the CTL group, the mean was 0.001 ± 0.0001 mV²/Hz much higher ($p < 0.05$) from the basal and ethanol control groups, CTL – induction and GRL – induction.

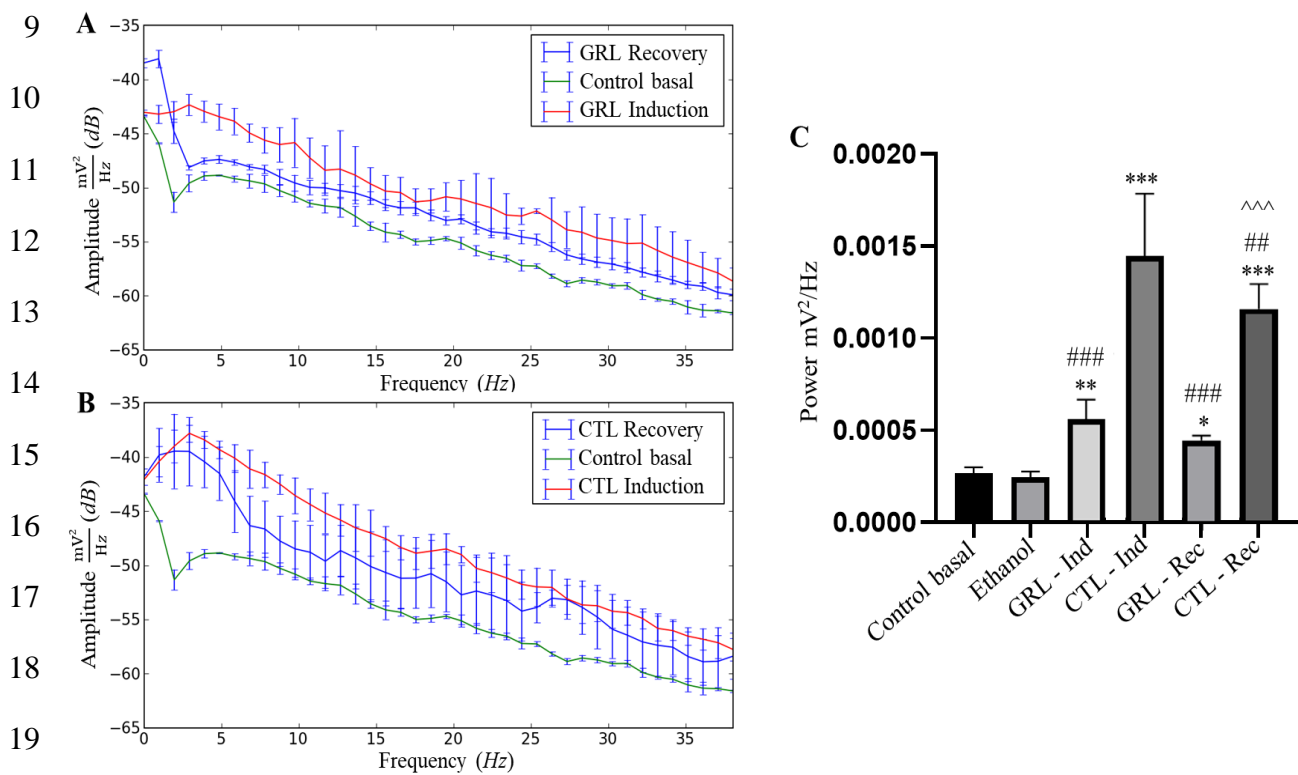
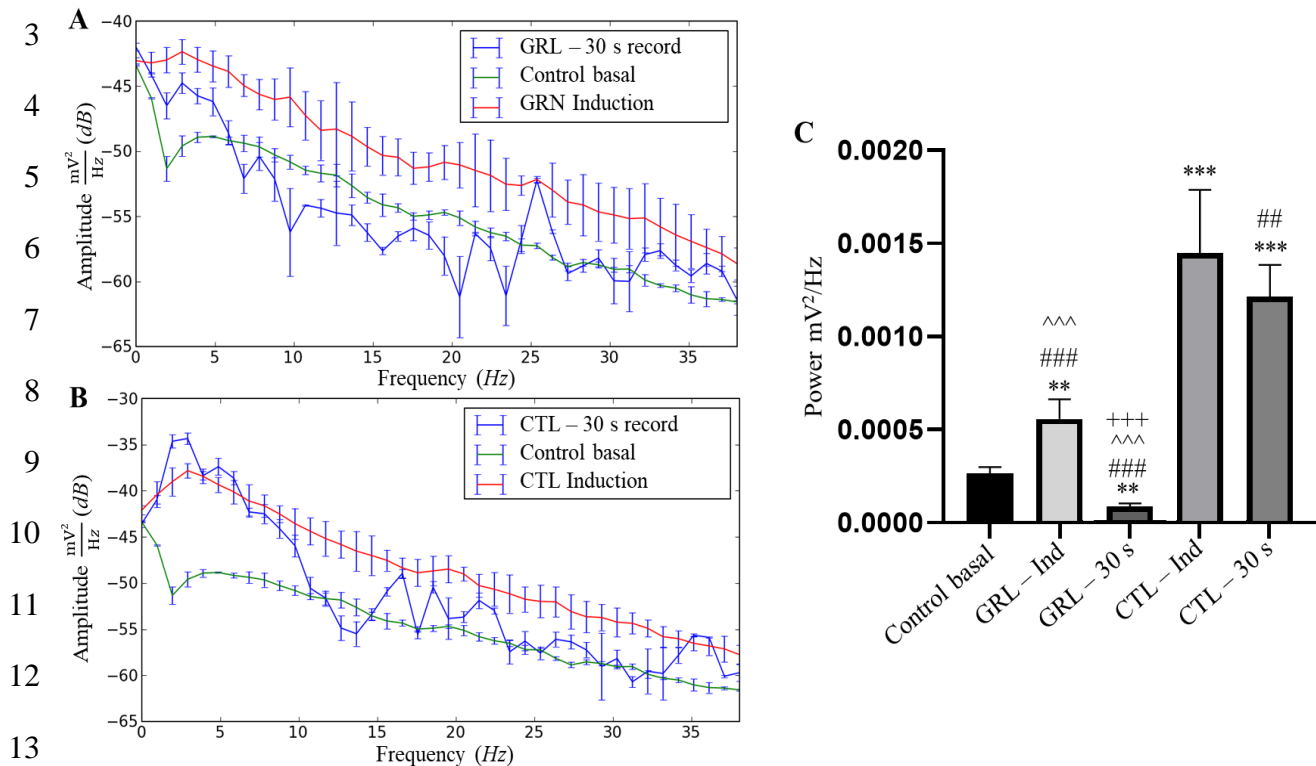


Figure 4. Power spectral density (PSD) of frequencies up to 40 Hz in Tambaqui *C. macropomum* compared with the power averages from the basal control, during geraniol induction (GRL – $\mu\text{L L}^{-1}$) and recovery compared with the power averages of the baseline control (A); and during citronellol induction (CTL – 90 $\mu\text{L L}^{-1}$) and recovery (B); Means of linear power between basal control, ethanol, geraniol induction (GRL – Ind), citronellol induction (CTL – Ind), geraniol recovery (GRL – Rec) and citronellol recovery (CTL – Rec) groups. * indicates statistical differences from the control group; ^ indicates statistical differences from the GRL – Ind group; # indicates statistical differences from the CTL – Ind group; + indicates statistical differences from the CTL – Rec group. (After ANOVA followed by Tukey's test). (*) $P < 0.01$; (**) $P < 0.001$; (***) $P < 0.0001$. (n=9).

28

In the PSD of the GRL group, we observed lower power during induction when analyzing the last 30 s of the recording. The frequencies from 6 to 24 Hz are below the basal control averages, indicating less signal capture by the electrode during the last 30 s of contact

1 with the anesthetic (Fig. 5A). In the CTL – 30 s group, the last 30 s of the recordings
 2 demonstrated greater power variation than in the basal group (Fig. 5 B).



14 Figure 5. Power spectral density (PSD) of frequencies up to 40 Hz in Tambaqui *C. macropomum* compared for
 15 the last 30 seconds of the recordings (30 s), total time induction for geraniol (GRL – $70 \mu\text{L L}^{-1}$) (A); and total time
 16 induction for citronellol (CTL – $90 \mu\text{L L}^{-1}$) (B); Means of linear power between groups of basal control, ethanol,
 17 geraniol induction (GRL – Ind), citronellol induction (CTL – Ind), geraniol recovery (GRL – Rec) and citronellol
 18 recovery (CTL – Rec) (C). * indicates statistical differences from the control group; + indicates statistical
 19 differences from the GRL group; # indicates statistical differences from the CTL group; ^ indicates statistical
 20 difference for the CTL group – 30 s (C). (After ANOVA followed by Tukey). (*) P<0.01; (**) P<0.001; (***)
 21 P<0.0001, (n=9).

22 The linear distribution (Fig. 5 C) demonstrated the basal control group mean of $0.0003 \pm 0.00003 \text{ mV}^2/\text{Hz}$. In the GRL group, the mean power was $0.006 \pm 0.0001 \text{ mV}^2/\text{Hz}$, higher (p < 0.05) from the basal control group and lower (p < 0.05) from CTL – induction and CTL – last 30s. During the last 30 s of induction for the GRL – 30 s, the tracings were more stable with a mean power of $0.00008 \pm 0.00002 \text{ mV}^2/\text{Hz}$, was lower (p < 0.05) from the basal control, CTL – induction groups , CTL – last 30 s and GRL – induction. With tracings below the basal control group at frequencies 8 – 24 Hz. The CTL group, on the other hand, had an average power of $0.001450 \pm 0.0003388 \text{ mV}^2/\text{Hz}$, differing from the other groups, as well as the CTL - 30 s ($0.001216 \pm 0.0001703 \text{ mV}^2/\text{Hz}$) with oscillations below the basal control, at frequencies 13 and 14 Hz and 28 at 31 Hz.

1

2 4. DISCUSSION

3 Monitoring the brain activity through EEG is essential for assessing the level of
4 neuronal depression, as it will make it possible to attest if the drugs are acting at a central level
5 (Chandroo et al., 2004; Medeiros et al., 2018; Barbas et al., 2021; Costa et al., 2022). Our results
6 showed that the amplitudes of the EEG tracings observed in the basal control and ethanol groups
7 were low and the frequency spectrogram indicated that energy intensity were predominant at
8 frequencies below 5 Hz throughout the recording (Fig. 1 A and B). During neural signal
9 processing, the analysis of the frequency spectrogram makes it possible to understand how the
10 signal recorded by the EEG is composed, with its amplitude, intensity and frequency.

11 Furthermore, the spectrogram can serve to indirectly assess the nociceptive and
12 anaesthesia component generated in response to external stimuli that may be harmful to fish,
13 since many phytoconstituents have demonstrated action on the CNS, including sedative,
14 antinociceptive and neuroprotective effects (De Sousa et al., 2006; Medeiros et al., 2018).
15 Herein, fish exposed to GRL and CTL showed EEG tracing patterns of excitability. The
16 analyzed PSD, during the final 30 s of induction, showed that the GRL group presented reduced
17 power relative to the baseline, from 8 to 24 Hz (Fig. 5). It means that the EEG changes are well
18 correlated with the anaesthetic effect of GRL, indicating that these frequencies are presumably
19 related to an anaesthetic condition. This would be the first report in fish, since no studies of
20 frequency bands were found in this animals.

21 The alterations presented in the CTL group with high mean amplitude of the tracings
22 during the entire induction period, in the last ones and also during the recovery, at a
23 physiological level, are inconsistent with the anesthetic standards.

24 Considering that EEG wave patterns have not been standardized for these animals yet,
25 judging by the route of the anaesthetic administration, which differs from the other vertebrates,
26 our results show the importance of the EEG in the evaluation of possible anesthetic candidates,
27 since these substances are capable of promoting alterations in the tracings. As a rule, it is known
28 that the GABA_A receptor, the NMDA receptor and the voltage-gated channels (K⁺, Ca⁺² and
29 Na⁺) are the main targets of anaesthetics, being influenced in different ways (Alkire et al., 2008;
30 Hall et al., 2004; Medeiros et al., 2018).

31 The effects of monoterpenes can occur by different mechanisms due to their structural
32 diversity. GRL has already been shown to have hypnotic-sedative action in tests with rats

1 (Medeiros et al., 2018). The authors suggested that the mechanism of action of GRL may be
2 through the allosteric modulation of the GABA_A receptor, as is the case of menthol, which is
3 known to be a positive allosteric modulator of GABA_A (Hall et al., 2004), these authors
4 attributed to its structure and to the associated functional group (OH) this positive modulation
5 of ion channels. Positive modulation of ligand-activated ion channels has a profound influence
6 on neuronal activity, resulting in sedation and anaesthesia (Hall et al., 2004). This sedative
7 effect of monoterpenes can be explained by the proven interaction of many of these with the
8 GABA_A receptor (Medeiros et al., 2018)

9 Although the CTL has already shown anticonvulsant and antinoceptive activity, since
10 it is capable of inducing partial blockade of voltage-gated Na⁺ channels and these channels are
11 fundamental in regulating the excitability of neurons, and the blockade can facilitate the
12 activation of the descending inhibitory pathway (De Sousa et al., 2006), our findings showed
13 that this substance was not able to promote adequate anaesthetic effect when analyzing the
14 electroencephalographic tracings.

15 Thus, we reinforce that due to the complexity in capturing neuronal signals and the
16 different mechanisms of action of monoterpenes, these compounds can present different EEG
17 responses, although they may induce loss of consciousness. In conclusion, both the GRL – 70
18 µl L⁻¹ and the CTL – 90 µl L⁻¹ were able to promote changes in the tracings, and the most
19 consistent were determined by the GRL, therefore, presenting the expected effects for an
20 anesthetic. While the CTL showed neuronal excitability during induction, with inconsistent
21 patterns, not being recommended as an anesthetic.

22

23 REFERENCES

- 24 Alkire., M.T., Hudetz , G.A., Tononi, G., 2008. Consciousness and Anesthesia. Science. 322,
25 876-880. DOI: 10.1126/science.1149213.
- 26 Aydin, B., Barbas, L.A.L., 2020. Sedative and anesthetic properties of essential oils and their
27 active compounds in fish: A review. Aquaculture 520, 1–9
28 <https://doi.org/10.1016/j.aquaculture.2020.734999>.
- 29 Barbas, L.A.L., Hamoy, M., De Mello, V.J., Barbosa, R.P.M., De Lima, H.D.S.T., Torres, M.F.,
30 Do Nascimento, L.A.S., Da Silva, J.K.R., Andrade, E.H.A., Gomes, M.R.F., 2017. Essential
31 oil of citronella modulates electrophysiological responses in tambaqui *Colossoma*
32 *macropomum*: A new anaesthetic for use in fish. Aquaculture. 479, 60 – 68.
- 33 Barbas, L.A.L., Torres, M.F., da Costa, B.M.P.A., Feitosa, M.J.M., Maltez, L.C., Amado, L.L.,
34 Toda, Y.P.S., Batista, P.S., Cabral, D.A.C., Hamoy, M., 2021. Eugenol induces body
35 immobilization yet evoking an increased neuronal excitability in fish during short-term
36 baths. Aquat. Toxicol. 231, 105734. <https://doi.org/10.1016/j.aquatox.2020.105734>.

- 1 Cantanhêde, S.M., Hamoy, M., Montag, L.F.A., Amado, L.L., 2020. Electrophysiological
2 responses in Amazonian fish species *Bryconops caudomaculatus* (Osteichthyes:
3 Characiformes) as biomarkers of xenobiotic toxicity. Comp. Biochem. Physiol. C Toxicol.
4 Pharmacol. 228, 108653. <https://doi.org/10.1016/j.cbpc.2019.108653>.
- 5 Castro, H.G., Perini, V.B.M., Santos, G.R., Leal, T.C.A.B., 2010. Evaluation of content and
6 composition of the essential oil of *Cymbopogon nardus* (L.) in different harvest times. Rev.
7 Ciênc. Agron. 41, 308–314.
- 8 Chandroo, K. P.; Duncan, I. J. H.; Moccia, R. D., 2004. Can fish suffer?: Perspectives on
9 sentience, pain, fear and stress. Applied Animal Behaviour Science, 86, n. 3–4, p. 225–250.
- 10 Costa, B.M.A., Torres, M.F., Silva, R.A., Aydin, B., Amado, L.L., Hamoy, M., Barbas, L.A.L.,
11 2022. Integrated behavioural, neurological, muscular and cardiorespiratory response in
12 tambaqui, *Colossoma macropomum* anaesthetized with menthol. Aquaculture. 560, 738553.
13 <https://doi.org/10.1016/j.aquaculture.2022.738553>
- 14 De Araújo, E.R.L., Silva, J.S., Lopes, L.M., Torres, M.F., Alho da Costa, B.M.P., Amarante,
15 C.B., Hamoy, M., Barbas, L.A.L., Sampaio, L.A., 2021. Geraniol and citronellol as
16 alternative and safe phytoconstituents to induce immobilization and facilitate handling of
17 fish. Aquaculture 537, 736517. <https://doi.org/10.1016/j.aquaculture.2021.736517>.
- 18 De Sousa, D.P., Gonçalves, J.C.R., Quintans-Júnior, L., Cruz, J.S., Araújo, D.A.M., Almeida,
19 R.N., 2006. Study of anticonvulsant effect of citronellol, a monoterpenic alcohol, in rodents.
20 Neurosci Lett 401, 231–5.
- 21 De Souza, A.S.L., Peret, A.C., Hamoy, M., De Souza, R.A.L., Torres, M.F., Barbas, L.A.L.,
22 2019. Propofol and essential oil of *Nepeta cataria* induce anaesthesia and marked
23 myorelaxation in tambaqui *Colossoma macropomum*: implications on cardiorespiratory
24 responses. Aquaculture 500, 160–169.
- 25 Hall, A.C., Turcotte, C.M., Betts, A.B., Yeung, W-Y., Agyeman, A.S., Burk, L.A., 2004.
26 Modulation of human GABA and glycine receptor currents by menthol and related
27 monoterpenoids. Eur J Pharmacol. 506, 9–16. DOI: 10.1016/j.ejphar.2004.10.026
- 28 Hamoy M., Dos Santos Batista L., de Mello V.J., Gomes-Leal W., Farias R.A.F., Dos Santos
29 Batista P., do Nascimento J.L.M., Marcondes H.C., Taylor J.G., Hutchison W.D., Torres
30 M.F., Barbas L.A.L. 2018. Cunaniol-elicited seizures: Behaviour characterization and
31 electroencephalographic analyses. Toxicol Appl Pharmacol. 360, 193–200. DOI:
32 10.1016/j.taap.2018.10.008.
- 33 Heo, G.J., Shin, G., 2010. Efficacy of benzocaine as an anaesthetic for Crucian carp (*Carassius*
34 *carassius*). Veterinary Anaesthesia and Analgesia. 37, 132–135. Doi:10.1111/j.1467-
35 2995.2009.00510.x
- 36 Inoue, L.A.K.A., Neto, C. do S., Moraes, G., 2003. Clove oil as anaesthetic for juveniles of
37 matrinxã *Brycon cephalus* (Gunther, 1869). Ciência Rural 33, 943–947.
38 <https://doi.org/10.1590/S0103-84782003000500023>.
- 39 Medeiros, K.A.A.L., Santos, J.R., Melo, T.C.S., Souza, M.F., Santos, L.G., Gois, A.M., Cintra,
40 R.R., Lins, L.C.R.F., Ribeiro, A.M., Marchioro, M., 2018. Depressant effect of geraniol
41 on the central nervous system of rats: Behavior and ECoG power spectra. Depressant effect
42 of geraniol on the central nervous system of rats: Behavior and ECoG power spectra. 41,
43 298–305. <https://doi.org/10.1016/j.bj.2018.08.008>.
- 44 Pawar, H.B., Sanaye, S.V., Sreepada, R.A., Harish, V., Suryavanshi, U., Tanu, Ansari, Z., 2011.
45 Comparative efficacy of four anaesthetic agents in the yellow seahorse, Hippocampus kuda
46 (Bleeker, 1852). Aquaculture, [s. l.], v. 311, n. 1–4, p. 155–161.
47 <http://dx.doi.org/10.1016/j.aquaculture.2010.12.007>.
- 48 Ross, L.G., Ross, B., 2008. Anaesthetic and Sedative Techniques for Aquatic Animals.
49 Blackwell Publishing, Oxford, UK. (228 p).
- 50 Sneddon, L.U., 2012. Clinical anesthesia and analgesia in fish. J. Exot. Pet Med. 21, 32–43.

- 1 Svoboda, M., Kolarova, J., 1999. A survey of anaesthetics used in the fish farming. Health
2 Protection of Fish - Proceeding of Papers. Research Institute of Fish Culture and
3 Hydrobiolo y odňany pp 49-72.
4 Vilhena, C.S., Nascimento, L.A.S., Andrade, E.H.A., Silva, J.K.R., Hamoy, M., Torres, M.F.,
5 Barbas, L.A.L., 2019. Essential oil of *Piper divaricatum* induces a general anaesthesia-like
6 state and loss of skeletal muscle tonus in juvenile tambaqui, *Colossoma macropomum*.
7 Aquaculture, 510, 169-175.

CAPÍTULO 4

Balanço oxidativo do tambaqui, *Colossoma macropomum*, após transporte simulado com concentrações sedativas de geraniol e citronelol

5 Ednara Ronise L. de Araújo^a, Marcelo Ferreira Torres^b, Brenda M. P. Alho da Costa^b, Moisés
6 Hamoy^{d,*}, Luís André Sampaio^{a,***}, Luis André L. Barbosa^{b,***}

^aLaboratório de Piscicultura Estuarina e Marinha, Programa de Pós-graduação em Aquicultura, Universidade Federal do Rio Grande, Instituto de Oceanografia, Rio Grande – RS, Brazil

^bLaboratório de Aquacultura de Espécies Tropicais, Instituto Federal de Educação Ciência e Tecnologia do Pará, Castanhal – PA, Brazil

^cLaboratório de Farmacologia e Toxicologia de Produtos Naturais, Instituto de Ciências Biológicas, Universidade Federal do Pará, Belém – PA, Brazil

Corresponding authors at:

* Correspondence to: M. Hamoy, Laboratório de Farmacologia e Toxicologia de Produtos Naturais, Universidade Federal do Pará, UFPA Campus Belém, Rua Augusto Corrêa nº 01 Guamá, CEP 66075-110 Belém, PA, Brazil.

** Correspondence to: L. A. Sampaio, Laboratório de Piscicultura Estuarina e Marinha, Universidade Federal do Rio Grande, FURG, Instituto de Oceanografia, CP 474, CEP 96201-900 Rio Grande, RS, Brazil

*** Correspondence to: L. A. L. Barbas, Laboratório de Aquacultura de Espécies Tropicais, Instituto Federal de Educação Ciência e Tecnologia do Pará, IFPA Campus Castanhal, BR 316, Km 63 S/N, CEP 68740-970 Castanhal, PA, Brazil.

E-mail addresses: hamoyufpa@gmail.com (M. Hamoy), sampaio@mikrus.com.br (L.A. Sampaio), andre.barbas@hotmail.com (L.A.L. Barbas).

Manuscrito a ser submetido à revista **Fish Physiology and Biochemistry** (em preparação para submissão)

Fator de Impacto: 3.014

1 **RESUMO**

2 Este trabalho teve como objetivo avaliar o balanço oxidativo de juvenis de tambaqui,
3 *Collossoma macropomum*, após transporte simulado em diferentes tempos (2, 6 e 10 horas)
4 utilizando doses sedativas de Geraniol ($0,20 \mu\text{L L}^{-1}$) e Citronelol ($0,18 \mu\text{L L}^{-1}$). Foram utilizados
5 360 juvenis ($26,97 \pm 3,73 \text{ g}$ e $11,93 \pm 0,44 \text{ cm}$) distribuídos em 12 tratamentos em triplicata na
6 presença de Geraniol (GRL-02, GRL-06 e GRL-10) ou Citronelol (CTL-02, CTL-06 e CTL-
7 10) e dois tratamentos controle, água livre de anestésico (CRT-02, CRT-06 e CRT-10) e veículo
8 etanol (ETN-02, ETN-06 e ETN-10). Quando avaliada a capacidade antioxidante (ACAP) nos
9 tecidos ao fim de cada tempo de transporte, as brânquias mostraram maior competência
10 oxidante em relação aos demais tecidos analisados, embora os resultados mais significativos
11 estejam relacionados aos níveis de P-SH e aumento na concentração da GSH no transporte com
12 GRL e CTL para as brânquias. Por outro lado, o músculo foi o tecido com maiores níveis de
13 peroxidação lipídica (LPO) nos animais transportados com CTL, independente da duração.
14 Assim, o uso do GRL se mostrou uma boa opção como sedativo para o transporte de peixes,
15 mitigando os danos oxidativos principalmente nas brânquias, por outro lado, o CTL demonstrou
16 ação pró-oxidante, com altos níveis de LPO no músculo dos animais pós-trasnporte.

17 **Palavras chave:** antioxidante, pró-oxidante, fitoconstituintes, sedação, anestésico.

18

19 **1. INTRODUÇÃO**

20 O Transporte de peixes é uma prática corriqueira na produção aquícola, sendo
21 potencialmente uma das mais estressantes, já que é influenciado por vários fatores que incluem
22 desde o processo de captura, densidade de estocagem, variações de temperatura e alteração de
23 outros parâmetros de qualidade da água, como o aumento de compostos nitrogenados e
24 transições entre condição de hiperóxia e hipóxia na água de transporte (Gomes et al., 2003a,b;
25 Iversen et al., 2005; Gomes et al., 2006; Iversen et al., 2009; King, 2009).

26 No intuito de promover maior bem-estar e reduzir a resposta de estresse durante o
27 transporte de peixes vivos, anestésicos sintéticos e naturais, em doses sedativas, têm sido
28 utilizados adicionados à água. A sedação diminui os movimentos corporais e respiratórios,
29 reduz a demanda por oxigênio por diminuição da taxa metabólica e, consequentemente, reduz
30 os níveis de excreção de amônia durante o transporte (Zahl et al., 2012; Vanderzwalmen et al.,
31 2018). Os anestésicos em doses de sedação podem, em muitos casos, auxiliar na mitigação dos

1 efeitos deletérios decorrentes do estresse fisiológico durante e após o transporte de peixes (Ross
2 et al, 2007; Azambuja et al., 2011; Oyoo-okoth et al., 2011; Zeppenfeld et al., 2014; Barbas et
3 al., 2017b).

4 Apesar do crescente uso de óleos essenciais (OE) ou seus compostos isolados como
5 anestésicos e sedativos, a caracterização dos efeitos colaterais em peixes ainda é rara e os
6 mecanismos de ação desses produtos naturais não são elucidados na maioria dos casos (Aydin
7 e Barbas, 2020). Nesse sentido, a utilização de biomarcadores, além de permitir monitoramento
8 dos níveis de eventuais danos à tecidos e moléculas, também possibilita uma avaliação do
9 potencial antioxidante das diversas substâncias de origem vegetal utilizadas para atenuar o
10 estresse durante o transporte de peixes (Barbas et al., 2017b, Teles et al., 2019)

11 Fisiologicamente, os peixes podem responder de várias formas quando submetidos à
12 uma situação de estresse, uma delas é através de um aumento na produção das espécies reativas
13 de oxigênio (ERO). Que já são produzidas no organismo em condições fisiológicas normais ou
14 patológicas (Barbosa et al., 2010), porém, são contrabalanceadas por um sistema de defesa
15 antioxidante. Eventualmente, quando ocorre um desequilíbrio entre a produção de pró-
16 oxidantes e defesas antioxidantes, com prevalência da primeira, se estabelece uma condição de
17 estresse oxidativo (Jones, 2006; Halliwell e Gutteridge, 2015).

18 Os monoterpenos geraniol (GRL) e citronelol (CTR) são compostos químicos
19 encontrados em várias espécies vegetais, como a planta *Cymbopogon nardus*. Esse terpenos
20 possuem amplas aplicações nas indústrias de alimentos, cosmética e farmacêutica (Castro et
21 al., 2010; Chen e Viljoen, 2010) e já tiveram suas atividades anestésicas descritas em juvenis
22 de tambaqui com avaliação de marcadores eletrofisiológicos (De Araújo et al., 2021). No
23 entanto, não se conhece os efeitos desses compostos sobre a resposta bioquímica nos diferentes
24 tecidos de peixes quando expostos a essas substâncias.

25 O tambaqui, *Colossoma macropomum*, é uma espécie nativa dos rios Amazonas,
26 Orinoco e afluentes, e possui relativa tolerância às variações da qualidade de água, com
27 estratégias adaptativas que envolvem desde a expansão labial inferior que auxilia na captação
28 do oxigênio atmosférico, a ajustes hematológicos e de regulação iônica (Araújo-Lima et al.,
29 1997; Aride et al., 2007). Recentemente, esta espécie vem sendo reforçada como um bom
30 modelo experimental devido a sua rusticidade, boa resistência ao manuseio e boa sensibilidade
31 aos teste de novos produtos naturais anestésicos, sedativos, antiestressantes e antioxidantes
32 (Barbas et al., 2016; Barbas et al., 2017a, b; De Souza et al., 2019; Vilhena et al, 2019; De
33 Araújo et al., 2021).

1 Sendo assim, o objetivo desse trabalho foi avaliar o balanço oxidativo de juvenis de
2 tambaqui submetidos ao transporte simulado por diferentes tempos em água contendo
3 concentrações sedativas de geraniol e citronelol.

4

5 **2. MATERIAL E MÉTODOS**

6 *2.1 Aquisição dos animais e aclimatação*

7 Foram utilizados 360 juvenis de tambaqui, *Colossoma macropomum* ($26,97 \pm 3,73$ g
8 e $11,93 \pm 0,44$ cm, comprimento total) provenientes de fazenda comercial. Todos os
9 procedimentos descritos neste trabalho foram aprovados pelo Comitê de Ética em Animais do
10 Instituto Federal do Pará – IFPA (Protocolo número CEUA nº 6686081118, ID 000021).

11 Os animais foram mantidos no Laboratório de Aquacultura de Espécies Tropicais do
12 Instituto Federal de Educação, Ciência e Tecnologia do Pará – IFPA – *Campus* Castanhal,
13 acondicionados em tanque circular de 300 L com sistema de recirculação com qualidade da
14 água monitorada diariamente: temperatura 26 ± 3 °C; pH $6,2 \pm 1,1$; OD $6,43 \pm 2,01$. O
15 fotoperíodo foi fixado em 12 h C: 12 h E. A alimentação (ração comercial – 32% de proteína)
16 foi ofertada três vezes ao dia até a saciedade aparente.

17 *2.2 Delineamento experimental*

18 As soluções-estoque de GRL e CTL foram preparadas a partir de sua diluição em
19 etanol (96%) na proporção 1:9. Os anestésicos foram utilizados em doses sedativas (15% da
20 dose efetiva) com base nas concentrações que induziram à anestesia profunda e rápida (< 3min)
21 em juvenis de tambaqui encontradas por De Araújo et al. (2021). Desta forma, as doses
22 estabelecidas para o presente estudo foram $10,5 \mu\text{L L}^{-1}$ e $13,5 \mu\text{L L}^{-1}$, para o GRL e CTL,
23 respectivamente.

24 Foram utilizados sacos plásticos de polietileno (volume útil de 30 L), adicionados de
25 água (5L) e injetados com oxigênio puro na proporção de 1:3 (água: oxigênio) e posteriormente
26 vedados e armazenados em caixas térmicas (170 L), agitadas manualmente (3 agitações na
27 caixa a cada 30 minutos) para simulação de movimentação do transporte.

28 Os animais foram distribuídos aleatoriamente na densidade de 10 animais/ saco ($\sim 166 \text{ g L}^{-1}$)
29 em 12 tratamentos com 3 repetição cada (n=30/tratamento). Os tratamentos consistiram em
30 transporte simulado por 2, 6 e 10 horas com GRL (GRL-02, GRL-06 e GRL-10) e CTL (CTL-

1 02, CTL-06 e CTL-10), separadamente, e dois controles, peixes transportados por 2, 6 e 10h
2 em água livre de anestésico (CRT-02, CRT-06 e CRT-10) e em água adicionada de etanol, que
3 foi o utilizado na diluição (ETN-02, ETN-06 e ETN-10) na maior quantidade utilizada para a
4 diluição.

5 *2.3 Análises dos parâmetros de qualidade da água*

6 Antes e após o transporte foram avaliados os parâmetros de qualidade a seguir:
7 oxigênio dissolvido – OD (mg L^{-1}), pH e temperatura ($^{\circ}\text{C}$), que foram medidos usando um
8 equipamento multiparâmetro (HANNATM HI9828). A amônia (mg L^{-1}) foi determinada
9 seguindo metodologia da Unesco (1983), o nitrito ($\text{mg L}^{-1} \text{ N-NO}_2$) foi determinado de acordo
10 com Bendschneider e Robinson (1952) e a alcalinidade ($\text{mg CaCO}_3 \text{ L}^{-1}$) avaliada de acordo
11 com Eaton et al. (2005).

12 *2.4 Análises dos Parâmetros de Estresse Oxidativo*

13 *2.4.1 Coleta e Preparação de Tecidos*

14 Após o final de cada tempo de transporte, quatro juvenis por réplica (saco), totalizando
15 um “n” de 12 animais por tratamento, foram pesados e sacrificados por secção da medula
16 espinhal. De cada indivíduo foram coletados e pesados amostras de brânquia, cérebro, fígado e
17 músculo e estocados em ultrafreezer a -80 $^{\circ}\text{C}$. Os tecidos foram homogeneizados na proporção
18 de 1:5 (p/v) em tampão (Tris-HCl – 100 mM; EDTA – 2 mM; e MgCl₂.6H₂O – 5 mM) (Da
19 Rocha et al., 2009) e os sobrenadantes resultantes da centrifugação dos homogenados (10 000
20 x g, 20 min, 4 $^{\circ}\text{C}$) foram armazenados a -80 $^{\circ}\text{C}$ até o momento da realização das análises.

21 *2.4.2 Proteínas totais*

22 Inicialmente foi feita a quantificação de proteínas totais, realizada por meio do método
23 de biureto, utilizando kit comercial, com leituras feitas em triplicata, utilizando
24 espectrofluorímetro (550 nm).

25 *2.4.3 Capacidade Antioxidante Total contra radicais peroxil (ACAP)*

26 Para determinação da capacidade antioxidante total contra radicais peroxil nos tecidos,
27 foi utilizada a metodologia proposta por Amado et al. (2009) que consiste em quantificar a
28 capacidade antioxidante dos tecidos utilizando-se um substrato fluorescente (2', 7 dia
29 diclorofluoresceína diacetato – H₂DCF-DA) e a produção de radicais peroxil por decomposição
30 térmica de ABAP (dicloridrato de 2,2'-azobis 2 metilpropionamidina). As amostram foram
31 padronizadas em 2 mg mL⁻¹ de proteína. A fluorescência foi determinada através de um

1 espectrofluorímetro a 37 °C, 485 nm e 530 nm com leituras a cada 5 minutos num período de
2 tempo de 30 minutos. Os resultados foram expressos em área relativa, isto é, a diferença entre
3 a área com e sem ABAP, dividida pela área sem ABAP. Para fins de interpretação dos
4 resultados, uma menor área relativa significa uma maior capacidade antioxidante.

5 2.4.4 *Concentração do antioxidante glutationa reduzida (GSH) e níveis de grupos*
6 *sulfidrilas proteicos (P-SH)*

7 As análises foram realizadas pelo método de White et al. (2003) e Chen et al. (2008)
8 com modificações.

9 O protocolo baseia-se na medição da concentração de GSH pela sua reação com DTNB
10 (5,5'-Ditiobiis (ácido 2-nitrobenzóico). Para o ensaio, 100 µL de sobrenadante, 200 µL de
11 solução de reação (Tris-base 0,4M, pH = 8,9) e 40 µL de DTNB foram então transferidos para
12 microplaca e incubados por 15 minutos à temperatura ambiente. As leituras foram feitas em
13 espectrofluorímetro com leitor de placas. A concentração foi expressa em µmoles de GSH por
14 mg proteína⁻¹.

15 A concentração do grupo P-SH foi determinada por sua reação com DTNB (5,5'-
16 Ditiobiis (ácido 2 - nitrobenzóico)). Para o ensaio, 240 µL de amostra e 28 µL de ácido
17 tricloroacético (TCA, 50%) foram adicionados aos tubos eppendorf e centrifugados a 14000
18 rpm a 4 °C por 15 minutos, o precipitado de GSH foi usado e ressuspenso usando 200 mL de
19 tampão de homogeneização para posterior homogeneização. Finalmente, 100 µL de
20 sobrenadante, 160 µL de solução de reação (Tris-base 0,2 M, pH = 8,2) e 40 µL de DTNB foram
21 transferidos para microplacas e incubados por 15 minutos. As leituras foram feitas em
22 espectrofluorímetro com leitor de placas (Biotek Synergy HT), à temperatura ambiente. A
23 concentração foi expressa em nmol-SH por mg proteína⁻¹.

24 2.4.5 *Substâncias reativas ao ácido tiobarbitúrico (TBARS)*

25 Os níveis de peroxidação lipídica foram medidos de acordo com Oakes e Van Der
26 Kraak (2003). Para determinar as substâncias reativas ao ácido tiobarbitúrico (TBARS) pela
27 quantificação do malondialdeído (MDA), as amostras (brânquias: 40 µL; fígado: 80 µL;
28 cérebro: 50 µL e músculo: 100 µL) foram adicionadas a uma solução contendo 20 µL de solução
29 de BHT (67 µM), 150 µL de solução de ácido acético a 20%, 150 µL solução de TBA 0,8%, 50
30 µL de água destilada e 20 µL de SDS a 8,1%. As amostras foram incubadas a 95 °C por 30 min.
31 Posteriormente, 100 µL de água destilada e 500 µL de n-butanol foram adicionados à solução
32 final. O sobrenadante remanescente após a centrifugação (3000 x g, 10 minutos, 15 °C) foi

1 utilizado para determinar a fluorescência (excitação: 520 nm; emissão: 580 nm) e os resultados
2 foram expressos em nmol MDA mg de tecido úmido⁻¹.

3 *2.5 Análises estatística*

4 A normalidade dos dados e homogeneidade de variâncias foram verificados pelos
5 testes de Kolmogorov-Smirnov e Levene, respectivamente. Quando não sendo atendidos esses
6 pressupostos, o valores foram transformados em Log₁₀ previamente às análises. Posteriormente,
7 as comparações dos valores médios foram feitas através de ANOVA de duas vias utilizando-se
8 o tempo de transporte e os tratamentos (anestésicos e controles) como fatores, e as diferenças
9 entre as médias foram verificadas com o teste de Tukey. O nível de significância adotado foi
10 de p < 0,05 em todos os casos. Todas as análises foram efetuadas através do software GraphPad
11 Prism® 5.

12

13 **3. RESULTADOS**

14 Independentemente do tempo de transporte ou da presença ou não de anestésico na
15 água de transporte, não foram observadas mortalidades. Não foram observadas diferenças entre
16 os grupos controles (controle água e etanol) em relação aos parâmetros de qualidade de água e
17 análises bioquímicas, portanto, os resultados do grupo etanol não foram considerados para
18 comparações.

19

20 *3.1 Avaliação dos parâmetros de qualidade da água*

21 Os parâmetros de qualidade da água antes e após o transporte, estão apresentados na
22 tabela 1. Os maiores valores de OD (p < 0,05) foram observados nos grupos dos animais
23 transportados até 2 horas independente do grupo experimental, e teve sua concentração
24 diminuída gradualmente em níveis significantes (p < 0,05) com o aumento do tempo de
25 transporte dentro do mesmo grupo anestésico. O pH, temperatura e alcalinidade não
26 apresentaram diferenças estatísticas significativas nem em função do tempo de transporte, nem
27 entre os diferentes tratamentos.

28 O valores de nitrito e amônia tiveram aumento significativo em todos os grupos
29 independentemente da duração do transporte ou da presença de anestésicos, em comparação
30 com a água antes do transporte. Os maiores níveis de amônia (p < 0,05) foram observados nos

1 sacos dos animais transportados por 10 horas, porém não diferiram em relação aos diferentes
 2 tratamentos.

3

4 Tabela 1: Médias ± desvio padrão (DP) dos parâmetros de qualidade da água antes e após transporte de juvenis de
 5 tambaqui, *Colossoma macropomum*, em diferentes tempos (2, 6 e 10 horas) com ou sem adição de Geraniol (10,5
 6 $\mu\text{L L}^{-1}$) e Citronelol (13,5 $\mu\text{L L}^{-1}$).

Parâmetros	Tempo(h)	Controle	Geraniol	Citronelol
DO (mg L⁻¹)	00		$5,31 \pm 0,44$	
	02	$8,79 \pm 0,08^{\text{Aa}*}$	$8,87 \pm 0,14^{\text{Aa}*}$	$8,91 \pm 0,31^{\text{Aa}*}$
	06	$6,11 \pm 0,22^{\text{Ab}*}$	$5,99 \pm 0,02^{\text{Ab}}$	$5,68 \pm 0,52^{\text{Ab}}$
	10	$4,14 \pm 0,06^{\text{Ac}*}$	$3,47 \pm 0,02^{\text{Ac}*}$	$4,08 \pm 0,23^{\text{Ac}*}$
pH	00		$6,76 \pm 0,06$	
	02	$6,46 \pm 0,01^{\text{Aa}}$	$6,59 \pm 0,02^{\text{Aa}}$	$6,61 \pm 0,12^{\text{Aa}}$
	06	$6,49 \pm 0,05^{\text{Aa}}$	$6,63 \pm 0,02^{\text{Aa}}$	$6,54 \pm 0,05^{\text{Aa}}$
	10	$6,56 \pm 0,10^{\text{Aa}}$	$6,57 \pm 0,04^{\text{Aa}}$	$6,43 \pm 0,03^{\text{Aa}}$
T °C	00		$27,59 \pm 0,62$	
	02	$26,93 \pm 0,82^{\text{Aa}}$	$26,66 \pm 0,63^{\text{Aa}}$	$26,75 \pm 0,79^{\text{Aa}}$
	06	$28,03 \pm 0,74^{\text{Aa}}$	$27,11 \pm 0,72^{\text{Aa}}$	$27,88 \pm 0,83^{\text{Aa}}$
	10	$27,61 \pm 0,75^{\text{Aa}}$	$27,75 \pm 0,73^{\text{Aa}}$	$27,66 \pm 0,77^{\text{Aa}}$
Nitrito (mg L⁻¹ N-NO₂)	00		$0,16 \pm 0,002$	
	02	$0,58 \pm 0,01^{\text{Aa}*}$	$0,57 \pm 0,21^{\text{Aa}*}$	$0,58 \pm 0,21^{\text{Aa}*}$
	06	$0,67 \pm 0,01^{\text{Aa}*}$	$0,58 \pm 0,32^{\text{Aa}*}$	$0,67 \pm 0,11^{\text{Aa}*}$
	10	$0,93 \pm 0,27^{\text{Ab}*}$	$0,80 \pm 0,22^{\text{Aa}*}$	$0,74 \pm 0,13^{\text{Aa}*}$
Amônia Total (mg L⁻¹)	00		$0,005 \pm 0,001$	
	02	$0,009 \pm 0,002^{\text{Ab}*}$	$0,008 \pm 0,004^{\text{Ab}}$	$0,006 \pm 0,007^{\text{Ab}}$
	06	$0,015 \pm 0,021^{\text{Ab}*}$	$0,014 \pm 0,035^{\text{Ab}*}$	$0,015 \pm 0,003^{\text{Ab}*}$
	10	$1,111 \pm 0,012^{\text{Aa}*}$	$1,013 \pm 0,015^{\text{Aa}*}$	$1,122 \pm 0,019^{\text{Aa}*}$
Alcalinidade (CaCO₃ L⁻¹)	00		$59,3 \pm 4,01$	
	02	$59,45 \pm 2,29^{\text{Aa}}$	$59,24 \pm 1,98^{\text{Aa}}$	$58,29 \pm 1,03^{\text{Aa}}$
	06	$61,22 \pm 3,26^{\text{Aa}}$	$63,06 \pm 1,92^{\text{Aa}}$	$64,02 \pm 1,57^{\text{Aa}}$
	10	$63,66 \pm 4,01^{\text{Aa}}$	$65,19 \pm 2,16^{\text{Aa}}$	$65,14 \pm 1,80^{\text{Aa}}$

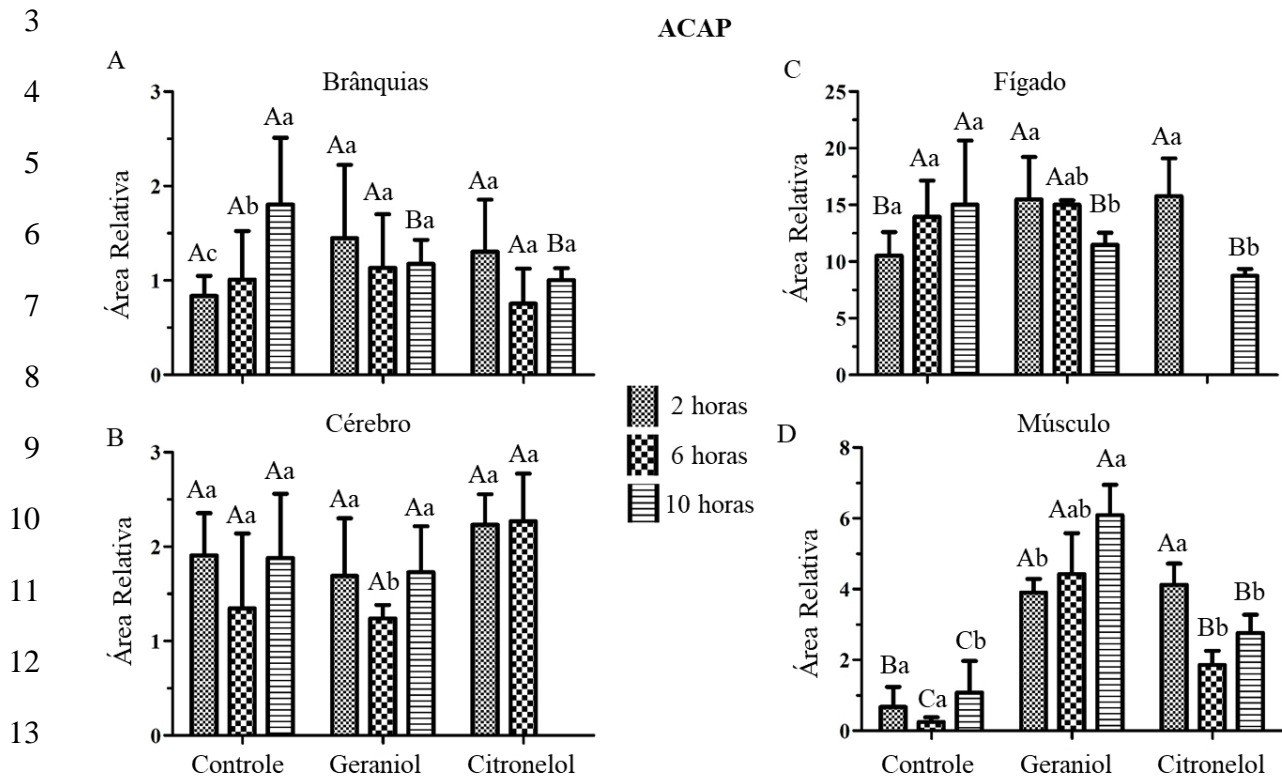
7 Letras maiúsculas na mesma linha indicam diferenças significativas entre os anestésicos dentro do mesmo tempo,
 8 enquanto que letras minúsculas na mesma linha, indicam diferenças significativas dentro do mesmo anestésico e
 9 entre tempos. Asteriscos indicam diferenças em relação ao tempo zero (ANOVA 2 vias, teste de Tukey, $p < 0,05$).

10
 11

12 3.2 Capacidade Antioxidante Total contra radicais peroxil (ACAP)

13 Ao término do tempo de transporte, foram observadas diferenças significativas ($p <$
 14 0,05) na capacidade antioxidante total das brânquias dos animais do grupo controle (fig. 2 A)
 15 nos diferentes tempos de transporte dentro desse grupo, sendo a menor área relativa dos animais
 16 transportados por 2 horas, seguido do grupo transportado por 6 horas e por fim, a maior área

1 relativa no animais transportados por 10h. Esse último foi maior ($p < 0,05$) em relação ao GRL
 2 e CTL após 10h, ou seja, com menor capacidade antioxidante.



15 Figura 1: Capacidade antioxidante total contra radicais peroxil nas Brânquias (A); Cérebro (B); Fígado(C); e
 16 Músculo (D) de juvenis de Tambaqui, *Colossoma macropomum*, após transporte em diferentes tempos (2, 6 e 10h)
 17 na presença ou ausência (Controle) de concentrações sedativas de Geraniol ($10,5 \mu\text{L L}^{-1}$) e Citronelol ($13,5 \mu\text{L L}^{-1}$). Letras maiúsculas indicam diferenças significativas entre os anestésicos dentro do mesmo tempo,
 18 enquanto que letras minúsculas, indicam diferenças significativas dentro do mesmo anestésico em tempos
 19 diferentes. (ANOVA 2 vias, teste de Tukey, $p < 0,05$).
 20

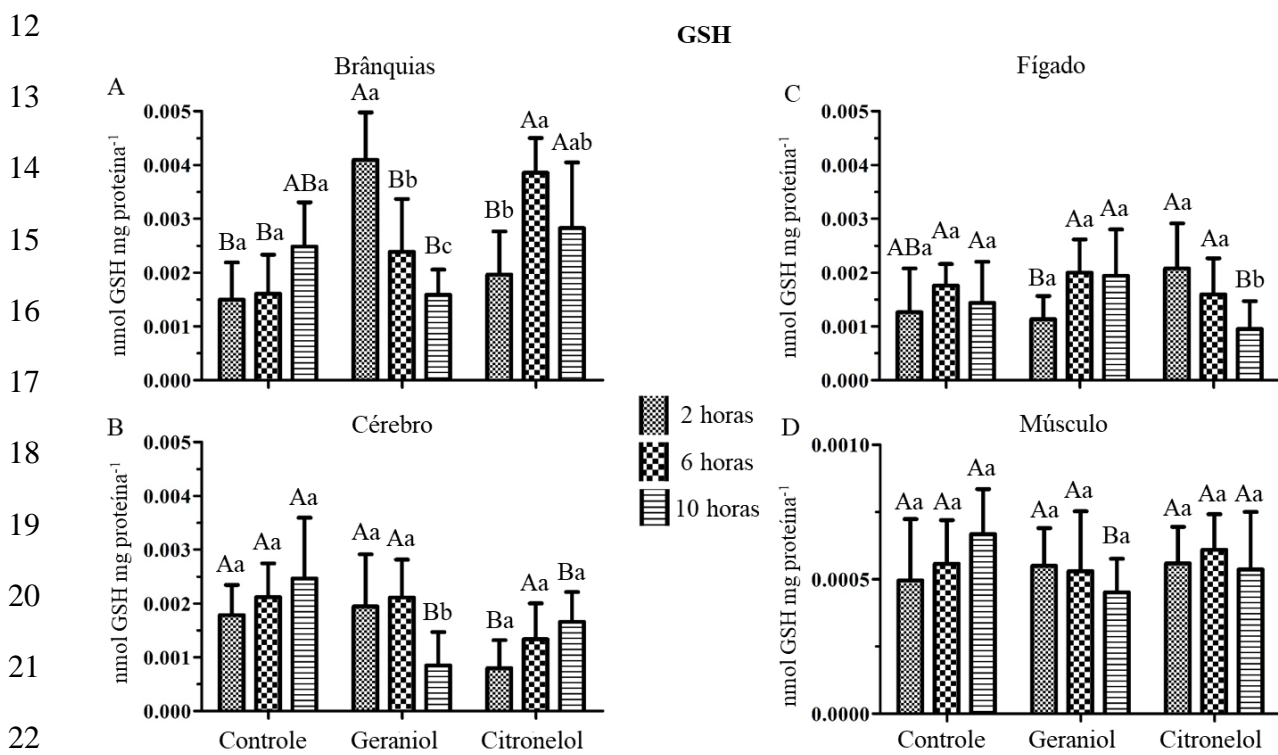
21
 22 No cérebro (fig 2 B), apenas o grupo CTL transportado por 2 horas apresentou maior
 23 área relativa ($p < 0,05$) em relação ao controle e GRL. Enquanto que no fígado (fig 2 C), tanto
 24 o grupo GRL quanto o CTL 2 horas apresentaram maiores ($p < 0,05$) áreas relativas em relação
 25 ao grupo controle. Diferenças entre os tempos dentro do mesmo anestésico foram encontradas
 26 no grupo CTL, onde os animais transportados por 2 horas apresentaram maior área relativa (p
 27 $< 0,05$) em relação às 6 e 10 horas.

28 No músculo (fig 2 D), o grupo controle apresentou as menores áreas ($p < 0,05$) quando
 29 comparados ao GRL e CTL, nos três tempos de transporte. Quando comparado os diferentes

1 anestésicos, o grupo GRL apresentou a maior área relativa em relação aos demais após 6 e 10
2 horas de transporte.

3 **3.3 Concentração do antioxidante glutationa reduzida (GSH) e níveis de grupos sulfidrilas**
4 **proteicos (P-SH)**

5 Os resultados das análises de GSH nas brânquias (fig 3 A) mostraram que para o grupo
6 controle, o tempo de transporte não influenciou nas concentrações de GSH. No entanto, quando
7 feita comparação entre os grupos anestésicos, após 2 horas de transporte os níveis de GSH
8 foram maiores nos grupos GRL diferindo ($p < 0,05$) do grupo controle e CTL. A partir das 6 e
9 10 horas de transporte, os maiores níveis ($p < 0,05$) foram encontrados nos animais do CTL
10 diferindo grupo controle e GRL. Em relação ao tempo de transporte dentro do mesmo grupo, o
11 GRL apresentou níveis decrescente ($p < 0,05$) com o aumento no tempo de transporte.



23 Figura 2: Determinação da atividade de GSH nas Brânquias (A); Cérebro (B); Fígado(C); e Músculo (D) de juvenis
24 de Tambaqui, *Colossoma macropomum*, após transporte em diferentes tempos (2, 6 e 10h) na presença ou ausência
25 (Controle) de concentrações sedativas de Geraniol ($10,5 \mu\text{L L}^{-1}$) e Citronelol ($13,5 \mu\text{L L}^{-1}$) na água. Letras
26 maiúsculas indicam diferenças significativas entre os anestésicos dentro do mesmo tempo, enquanto que letras
27 minúsculas indicam diferenças significativas dentro do mesmo anestésico em tempos diferentes. (ANOVA 2 vias,
28 teste de Tukey, $p < 0,05$).

29

Quando analisado o cérebro (fig 3 B) no grupo GRL, as menores concentrações de GSH foram encontradas após 10h de transporte, sendo menor também ($p < 0,05$) dos demais tempos de transporte quando feitas comparações dentro do mesmo anestésico. No grupo CTL para esse mesmo tecido, não foram encontradas diferenças ($p > 0,05$) em relação ao tempo de transporte com essa substância, no entanto, quando comparado ao controle e GRL, os menores níveis de GSH ($p < 0,05$) foram encontrados após 2h de transporte com CTL.

No fígado (fig 3 C), os níveis de GSH foram maiores ($p < 0,05$) nos animais transportados com CTL após 2h em relação ao controle e GRL. No entanto, após 10h de transporte, os animais transportados com essa substância apresentaram as menores ($p < 0,05$) concentrações de GSH e também quando comparado o tempo de transporte dentro do mesmo anestésico.

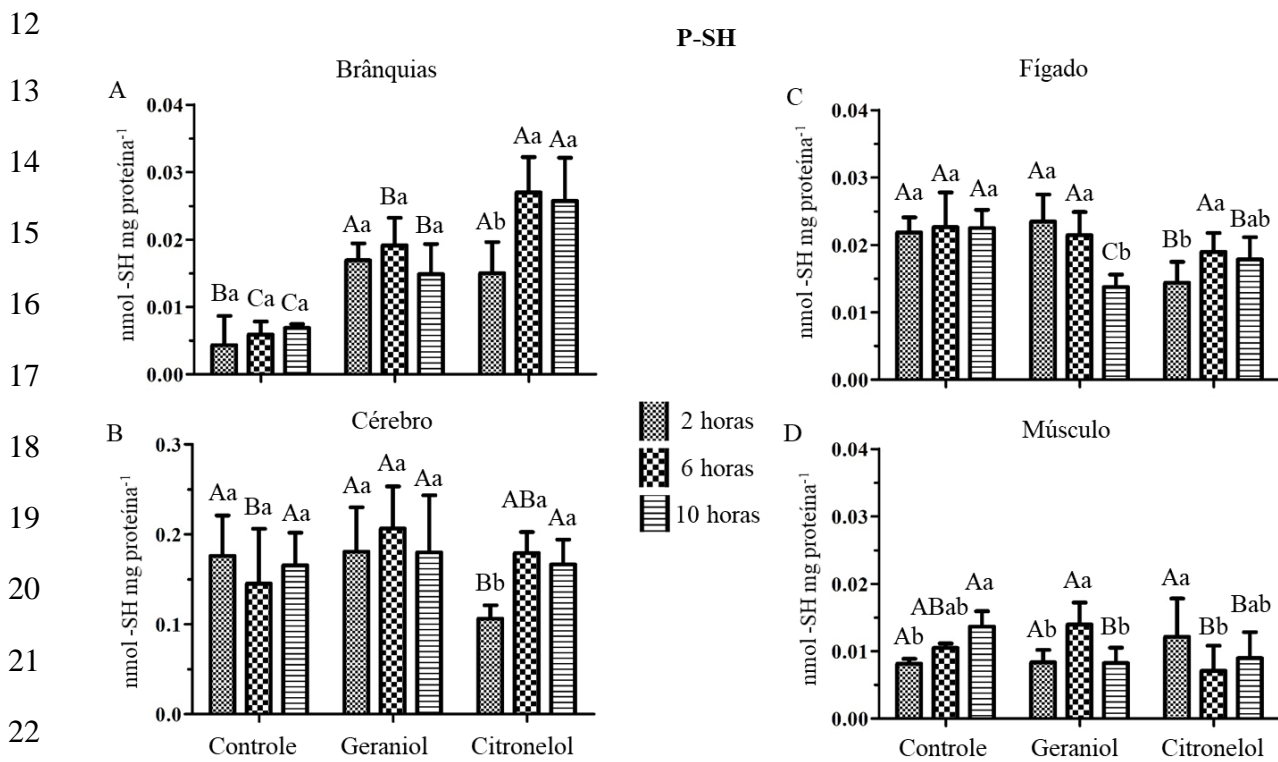


Figura 3: Determinação do teor de grupos sulfidrilas associados à proteína (P-SH) em Brânquias (A); Cérebro (B); Fígado(C); e Músculo (D) de juvenis de Tambaqui, *Colossoma macropomum*, após transporte em diferentes tempos (2, 6 e 10h) na presença ou ausência (Controle) de concentrações sedativas de Geraniol ($10,5 \mu\text{L L}^{-1}$) e Citronelol ($13,5 \mu\text{L L}^{-1}$) na água. Letras maiúsculas indicam diferenças significativas entre os anestésicos dentro do mesmo tempo, enquanto que letras minúsculas indicam diferenças significativas dentro do mesmo anestésico em tempos diferentes (ANOVA 2 vias, teste de Tukey, $p < 0,05$).

Em relação aos níveis de P-SH, nas brânquias (fig 4 A), os animais controle mais uma vez não foram influenciados pelo tempo de transporte. No entanto, foi o grupo com os menores níveis de P-SH ($p < 0,05$) em relação ao GRL e CTL em todos os tempos de transporte. Os

1 maiores ($p < 0,05$) níveis de P-SH foram encontrados nos grupos CTL 6 e 10h, que também
2 apresentaram as maiores ($p < 0,05$) concentrações quando comparados entre tempos de
3 transporte, dentro do mesmo anestésico.

4 No cérebro (fig 4 B), quando avaliado os níveis de P-SH entre os diferentes
5 anestésicos, as maiores ($p < 0,05$) concentrações foram encontradas no grupo GRL após 6h de
6 transporte e as menores ($p < 0,05$) no grupos CTL após 2h, sendo esse tempo menor ($p < 0,05$)
7 dentro do mesmo anestésico. No fígado (fig 4 C), as menores concentrações foram encontradas
8 após 2h de transporte no grupo CTL. E dentro do mesmo anestésico, após 10h no grupo
9 transportado com GRL foram encontrados os menores ($p < 0,05$) níveis de P-SH.

10 Já em relação ao músculo (fig 4 D), dentro do grupo controle quando comparados os
11 tempo de transporte, os maiores ($p < 0,05$) níveis de P-SH foram encontrados após 10h. Em
12 relação às variações dentro do mesmo tempo de transporte, o controle também foi maior ($p <$
13 0,05) comparado a GRL e CTL após 10h de transporte. Após 6h, os maiores ($p < 0,05$) níveis
14 de P-SH, foram encontrados nos animais transportados com GRL. No grupo CTL, quando
15 comparado o tempo de transporte dentro do mesmo anestésico, os maiores ($p < 0,05$) níveis
16 foram encontrados após 2h de transporte.

17 3.4 Substâncias reativas ao ácido tiobarbitúrico (TBARS)

18 Quando analisados os níveis de MDA nas brânquias (fig 4 A), quanto ao tempo de
19 transporte nos diferentes tratamentos, o controle apresentou maiores níveis de MDA ($p < 0,05$)
20 quando comparados ao GRL 6 e 10 horas, e também em relação ao controle com CTL 2 horas
21 para o fígado, onde apresentaram menores níveis de MDA.

22 Por outro lado, no cérebro (fig 4 B), quando avaliados o tempo de transporte entre os
23 anestésicos, o grupo controle e GRL apresentaram resultados semelhantes com maiores níveis
24 de MDA nos animais transportados por 6h, e uma redução nos animais transportados por 10h,
25 diferenciando ($p < 0,05$) dos transportados com CTL. Nesse grupo, os maiores níveis ($p < 0,05$)
26 foram encontrados nos animais transportados por 2h. Ainda nesse tecido, quando analisados a
27 influência do tempo de transporte dentro do mesmo grupo, foram encontradas diferenças ($p <$
28 0,05) em todos os grupos, no entanto, sem relação aparentemente definida. No fígado, assim
29 como nas brânquias, não foram encontradas diferenças ($p > 0,05$) em relação ao tempo de
30 transporte dentro do mesmo anestésico, nesse tecido, os maiores níveis ($p < 0,05$) foram
31 encontrados nos animais transportados por 2h no grupo CTL (fig 4 C).

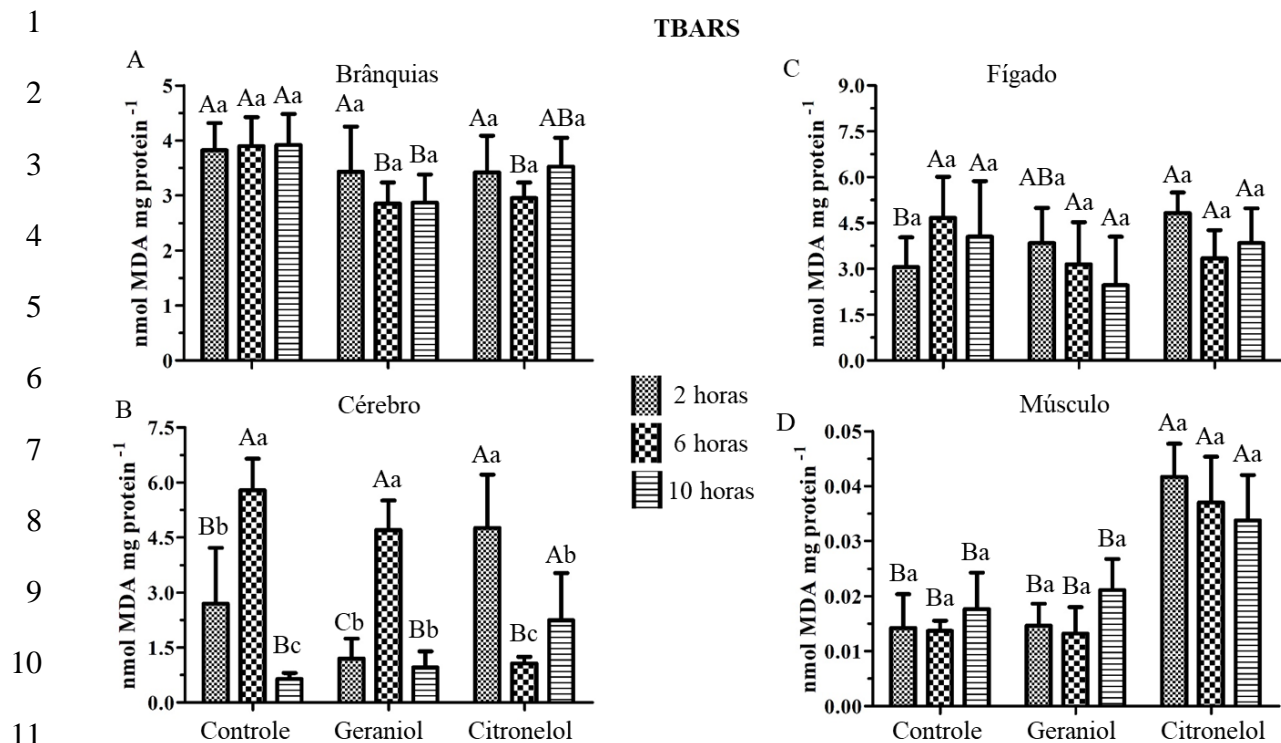


Figura 4: Concentração de substâncias reativas ao ácido tiobarbitúrico (TBARS) nas Brânquias (A); Cérebro (B); Fígado(C); e Músculo (D) de juvenis de Tambaqui, *Collossoma macropomum*, após transporte em diferentes tempos (2, 6 e 10h) na presença ou ausência (Controle) de concentrações sedativas de Geraniol (10,5 $\mu\text{L L}^{-1}$) e Citronelol (13,5 $\mu\text{L L}^{-1}$) na água. Letras maiúsculas indicam diferenças significativas entre os anestésicos dentro do mesmo tempo, enquanto letras minúsculas, indicam diferenças significativas dentro do mesmo anestésico em tempos diferentes. (ANOVA 2 vias, teste de Tukey, $p < 0.05$).

Quando analisado o músculo (fig 4 D), em nenhum dos grupos houve influência no tempo de transporte ($p > 0,05$) nos níveis de MDA. Em relação ao mesmo tempo de transporte nos diferentes anestésicos, no grupo CTL foram encontrados os maiores níveis de MDA, diferindo ($p < 0,05$) dos grupos controle e GRL nos tempos 2, 6 e 10 horas.

22

23 4. DISCUSSÃO

O tambaqui, *C. macropomum*, por ser uma espécie de hábito migratório quando em seu ambiente natural, está adaptado à grandes variações físicas e químicas principalmente aquelas relacionadas ao pH, temperatura, e teor de oxigênio dissolvido, sem comprometimento fisiológico (Araújo-lima e Goulding, 1997; Sevilla e Günther, 2000). No presente estudo, os parâmetros de qualidade de água pH, temperatura e alcalinidade não variaram significativamente após o transporte em relação ao pré-transporte. Por outro lado, as

1 concentrações de OD reduziram gradualmente com o aumento no tempo de transporte, e os
2 níveis de nitrito e amônia foram aumentadas após todos os tempos de transporte.

3 Em nosso estudo, apesar de apresentarem diferenças significativas ao longo do tempo
4 de transporte, os níveis OD foram considerados adequados para o tambaqui. Quando
5 considerado o ambiente natural, a espécie é conhecidamente resistente à hipóxia, suportando
6 níveis de OD de 1 e até mesmo $0,5 \text{ mg L}^{-1}$, e os valores indicados para sua criação são acima
7 de 3 mg L^{-1} (Saint-Paul, 1984a,b; Saint-Paul, 1986). Os níveis de nitrito também se mantiveram
8 dentro faixa recomendada para a espécie de até $1,82 \text{ mg L}^{-1}$. A amônia total é um subproduto
9 gerado pelo metabolismo dos peixes, excretado principalmente pelas brânquias por difusão
10 (Baldisserotto, 2013), como não teve renovação da água, esse acúmulo é esperado. No geral,
11 os anestésicos adicionados à água do transporte não influenciaram diretamente nas variações
12 dos parâmetros de qualidade de água, que se manteve adequada à espécie (Saint-Paul, 1984a,b;
13 Saint-Paul, 1986; Gomes et al., 2013).

14 É crescente as pesquisas em relação aos efeitos de novos agentes anestésicos como
15 protetores antioxidantes para peixes. A competência antioxidantas nas brânquias foi
16 consideravelmente maior nos grupos anestesiados em relação ao grupo controle, quando
17 considerados as 6 e 10 horas de transporte. A ACAP fornece informações sobre o estado
18 antioxidante geral do peixe, sem distinguir entre componentes enzimáticos e não enzimáticos
19 (Amado et al., 2009). Nisso, o efeito protetor pode ser corroborado pelas maiores concentração
20 de P-SH que foram mais elevadas nos grupos GRL e CTL em relação ao controle,
21 independentemente do tempo de transporte, indicando menos danos proteicos nesse tecido,
22 confirmado pelos níveis de lipoperoxidação (LPO), já que os níveis de P-SH é um indicativo
23 de oxidação de proteínas.

24 Foram encontradas maiores concentrações de GSH nos grupos anestesiados. A GSH
25 possui papel preponderante no mecanismo antioxidante, participando de reações enzimáticas
26 como coenzimas, além de estar envolvida em vários processos fisiológicos, como na defesa
27 antioxidante e desintoxicação de xenobióticos e protegendo as células dos radicais livres
28 (Stephensen et al., 2002; Halliwell e Gutteridge, 2015). Quando analisadas as concentrações de
29 GSH nas brânquias dos animais transportados com GRL, observou-se uma redução gradual nos
30 níveis de GSH, o que pode estar relacionada ao aumento da demanda de GSH à reação dos
31 organismos ao estresse oxidativo, ou por ser um captador de radicais, pode ter reagido
32 diretamente com EROS, atenuando os efeitos deletérios das espécies ativas de oxigênio que não
33 foram metabolizadas pelo sistema enzimático de defesas antioxidantes (Droge 2002). No grupo

1 CTL, os níveis de GSH também se mantiveram elevados após 6h de transporte, logo, sugerindo
2 um efeito protetor desses anestésicos, já que foram capazes de promover alterações no sistema
3 antioxidante nas brânquias, sendo que no grupo controle os níveis se mostraram inferiores.

4 Resultados similares foram encontrados por Azambuja et al. (2011), onde foi
5 observado um efeito protetor do OE *Lippia alba* em brânquias de jundiás transportados por 7
6 horas, indicado pela diminuição dos níveis de TBARS em comparação com peixes
7 transportados sem anestésico pelo mesmo tempo. Assim como os encontrados por Barbas et al.
8 (2017b) para o tambaqui após 10 horas de transporte com o uso do OE de *Nectandra*
9 *grandiflora*, onde os autores constataram uma concentração 39,5% menor nos níveis de MDA
10 (LPO) nas brânquias em relação aos animais controle, atribuindo a esse OE um efeito protetor.

11 De modo geral, esse efeito antioxidante nas brânquias é importante, considerando que
12 esse tecido exerce contato íntimo com a água, sendo, portanto, bastante sensível às alterações
13 químicas e físicas do ambiente e à presença de xenobióticos, com danos que podem prejudicar
14 sua atividade multifuncional (Wood, 2017). Embora a atividade antioxidante seja uma possível
15 indicadora de estresse oxidativo, cada órgão, tecido e organismo têm repostas antioxidantes
16 diferentes (Amado et al. 2009). Nossos resultados demonstram resultados distintos para cada
17 tecido avaliado.

18 Em nosso estudo, esse efeito protetor nas brânquias ou pode estar relacionado ao
19 potencial antioxidante já demonstrados por essas substâncias em outros organismos, ou ainda, em
20 função das propriedades anestésicas com redução no batimento opercular e consequentemente
21 redução no metabolismo, que implica em maior disponibilidade de antioxidantes e menos
22 danos. Já que em condições fisiológicas normais, as brânquias apresentam alta taxa metabólica
23 para a manutenção do metabolismo (Mommsen, 1984).

24 Quanto ao cérebro e fígado, esses tecidos possuem alto teor de ácidos graxos poli-
25 insaturados, logo, estão mais susceptíveis aos danos oxidativos e LPO (Halliwell, 2015;
26 Jhamtani et al., 2017). De modo geral, não foram observadas alterações marcantes na
27 capacidade antioxidante em relação ao cérebro, que permaneceu com valores similares aos
28 resultados do grupo controle, sem efeito aparente decorrente do uso dos anestésicos testados.
29 Para o fígado, o uso de anestésico parece ter contribuído para a diminuição na competência
30 antioxidante após 2 horas de transporte com CTL, com consequente aumento nos níveis de LPO
31 em relação ao controle, mesmo com um aumento na capacidade antioxidante após 10h de
32 transporte, os níveis de GSH e P-SH foram reduzidos quando comparados ao controle.

1 Quando analisado o músculo em ambos grupos anestésicos, os animais apresentaram
2 maior vulnerabilidade aos danos oxidativos, ou seja, maior área relativa, indicando uma
3 supressão da defesa. Os níveis de GSH e P-SH não apresentaram grandes variações nesse tecido
4 e mesmo que a capacidade antioxidante no músculo do grupo GRL tenha sido menor, quando
5 avaliado os níveis de MDA, nenhum acréscimo nos níveis de LPO foi registrado para os animais
6 transportados nesse grupo, mantendo seus níveis nas condições do grupo controle.

7 Por outro lado, quando avaliado o músculo no grupo CTL, os níveis de LPO foram
8 consideravelmente mais elevados independente do tempo de transporte. O aumento nos níveis
9 de MDA indicam dano na membrana, o que pode indicar que os animais apresentaram uma
10 condição de estresse oxidativo, assim, podemos considerar que essa substância estimulou a
11 geração de EROs no músculo dos animais expostos, mostrando um possível efeito pró-oxidante.
12 Apesar do uso de anestésico/sedativo promover a diminuição do metabolismo e menor
13 atividade natatória dos animais, essa condição poderia ser explicada pela intensa atividade
14 muscular apresentada nos animais antes de atingir anestesia como descrito por De Araújo et al.
15 (2021).

16 Concluindo, o uso do GRL em dose sedativa durante o transporte se apresenta como
17 uma boa opção, já que foi capaz de atenuar os danos oxidativos principalmente nas brânquias
18 pós-transporte. Por outro lado, o CTL demonstrou uma ação mais pro-oxidante, resultando em
19 altos níveis de LPO no músculo, indicando não ser apropriado como alternativa de sedativo
20 para mitigar o estresse durante esse tipo de manejo. Por fim, futuros trabalhos são ainda
21 necessários para uma caracterização mais detalhada das alterações fisiológicas promovidas por
22 essas substâncias quando utilizadas por longas horas, ou até poucos dias, em doses sedativas.

23

24 REFERÊNCIAS

- 25 Amado, L.L., Garcia, M.L., Ramos, P.B., Freitas, R.F., Zafalon, B., Ferreira, J.L.R., Yunes,
26 J.S., Monserrat, J.M. 2009. A method to measure total antioxidant capacity against
27 peroxy radicals in aquatic organisms: application to evaluate microcystins toxicity.
28 Science of the Total Environment, 407(6), 2115-2123.
- 29 Anjos, G.M., Martins, A.S., Soares, E.C., Melo, J., Santos, E.J.S., Dantas, L.H.N., 2011.
30 Eugenol, sal e gesso no transporte de tambaqui em sistemas fechados. PUBVET,
31 Londrina, v5, nº 10, Ed. 157.
- 32 Araújo, E.R.L., Silva, J.S., Lopes, L.M., Torres, M.F., Alho da Costa, B.M.P., Amarante, C.B.,
33 Hamoy, M., Barbas, L.A.L., Sampaio, L.A., 2021. Geraniol and citronellol as alternative
34 and safe phytoconstituents to induce immobilization and facilitate handling of fish.
35 Aquaculture 537, 736517. <https://doi.org/10.1016/j.aquaculture.2021.736517>.

- 1 Araújo-Lima, C., Goulding, M., 1997. So fruitful fish: ecology, conservation, and aquaculture
2 of the Amazon's tambaqui. Columbia University Press, New York, 157p.
- 3 Azambuja, C.R., Mattiazzi, J., Riffel, A.P.K., Finamor, I.A., Garcia, L.O., Heldwein, C.G.,
4 Heinzmann, B.M., Baldisserotto, B., Pavanato, M.A., Llesuy, S.F., 2011. Effect of the
5 essential oil of i on oxidative stress parameters in silver catfish (*Rhamdia quelen*) subjected
6 to transport. Aquaculture 319, 156–161.
- 7 Aydin, B., Barbas, L.A.L., 2020. Sedative and anesthetic properties of essential oils and their
8 active compounds in fish: A review. Aquaculture 520, 1–9
9 <https://doi.org/10.1016/j.aquaculture.2020.734999>.
- 10 Barbas, L.A.L., Stringhetta, G.R., Garcia, L.O., Figueiredo, M.R.C., Sampaio, L.A., 2016.
11 Jambu, *Spilanthes acmella* as a novel anaesthetic for juvenile tambaqui, *Colossoma*
12 *macropomum*: Secondary stress responses during recovery. Aquaculture, 456, 70–75.
- 13 Barbas, L.A.L., Hamoy, M., De Mello, V.J., Barbosa, R.P.M., De Lima, H.D.S.T., Torres, M.F.,
14 Do Nascimento, L.A.S., Da Silva, J.K.R., Andrade, E.H.A., Gomes, M.R.F., 2017a.
15 Essential oil of citronella modulates electrophysiological responses in tambaqui *Colossoma*
16 *macropomum*: A new anaesthetic for use in fish. Aquaculture. 479, 60 – 68.
- 17 Barbas, L.A.L., Maltez, L.C., Stringhetta, G.R., de Garcia, L.O., Monserrat, J.M., da Silva,
18 D.T., Heinzmann, B.M., Sampaio, L.A., 2017b. Properties of two plant extractives as
19 anaesthetics and antioxidants for juvenile tambaqui *Colossoma macropomum*. Aquaculture
20 469, 79–87.
- 21 Barbas, L.A.L., Torres, M.F., da Costa, B.M.P.A., Feitosa, M.J.M., Maltez, L.C., Amado, L.L.,
22 Toda, Y.P.S., Batista, P.S., Cabral, D.A.C., Hamoy, M., 2021. Eugenol induces body
23 immobilization yet evoking an increased neuronal excitability in fish during short-term
24 baths. Aquat. Toxicol. 231, 105734. <https://doi.org/10.1016/j.aquatox.2020.105734>.
- 25 Belló, A.R.R, Fortes, E., Belló-Klein, A., Belló, A.A., Llesuy, S.F., Robaldo, R.B. & Bianchini,
26 A., 2000. Lipid peroxidation induced by *Clinostomum detruncatum* in muscle of the
27 freshwater fish *Rhamdia quelen*. Diseases of Aquatic Organisms 42, 233–236.
- 28 Bendhack, F., 2004. Uso de sulfato de cálcio como redutor de estresse no transporte de
29 matrinxás (*Brycon cephalus*). Dissertação (Mestrado) – Universidade Estadual
30 Paulista/CAUNESP, Jaboticabal, São Paulo.
- 31 Bendschneider, K., Robinson, R.J., 1952. A new spectrophotometric method for the
32 determination of nitrite in sea water. J. Mar. Res. 11, 87–96.
- 33 Bridges, C.R.; Taylor, A.C.; Morris, S.J. and Griehaber, M.K., 1984. Ecophysiological
34 adaptations in *Blennius pholis* (L.) blood to intertidal rockpool environments. J. Exp. Mar.
35 Biol. Ecol. 77: 151–167.
- 36 Chen, W., Viljoen, A.M., 2010. Geraniol – a review of a commercially important fragrance
37 material. S Afr J Bot. 76, 643–651. <https://doi.org/10.1016/j.sajb.2010.05.008>
- 38 Chen, W., Zhao, Y., Seefeldt, T., Guan, X., 2008. Determination of thiols and disulfides via
39 HPLC quantification of 5-thio-2-nitrobenzoic acid. J Pharm Biomed Anal 48 (5), 1375–
40 1380. <https://doi.org/10.1016/j.jpba.2008.08.033>.
- 41 De Souza, A.S.L., Peret, A.C., Hamoy, M., De Souza, R.A.L., Torres, M.F., Barbas, L.A.L.,
42 2019. Propofol and essential oil of *Nepeta cataria* induce anaesthesia and marked
43 myorelaxation in tambaqui *Colossoma macropomum*: implications on cardiorespiratory
44 responses. Aquaculture 500, 160–169.

- 1 Droege, W., 2002. Free radicals in the physiological control of cell function. *Physiol Rev.* 82
2 (1),47-95. <https://doi.org/10.1152/physrev.00018.2001>
- 3 Eaton, A.D., Clesceri, L.S., Rice, E.W., Greenberg, A.E., 2005. Standard Methods for the
4 Examination of Water and Wastewater. 21st ed. American Public Health Association,
5 Springfield. (8p.)
- 6 Gomes, L.C., Araújo-Lima, C.A.R.M., Roubach, R., Urbinati, E.C., 2003a. Avaliação dos
7 efeitos da adição de sal e da densidade no transporte de tambaqui. *Pesq. agropec. bras.*,
8 Brasília, v. 38, nº 2, 283-290.
- 9 Gomes, L.C.; Araújo-Lima, C.A.R.M.; Roubach, R., Chippari-Gomes, A.R.; Lopes, N.P.
10 2003b. Effect of fish density during transportation on stress and mortality of juvenile
11 tambaqui *Colossoma macropomum*. *Journal of the World Aquaculture Society*, 34: 76–84.
- 12 Gomes, L.C.; Araújo-Lima, C.A.R.M.; Chippari-Gomes, A.R.; Roubach, R. 2006.
13 Transportation of juvenile tambaqui (*Colossoma macropomum*) in a closed system.
14 *Brazilian Journal of Biology*, 66: 493–502.
- 15 Halliwell, B., 2006. Oxidative stress and neurodegeneration: where are we now?. *Journal of
16 Neurochemistry*, 97, 1634-1658.
- 17 Halliwell, B., Gutteridge, J.M.C., 2015. Free radicals in biology and medicine. Oxford. 5th ed.:
18 Oxford University Press. EUA. 944.
- 19 Hammond. C.L., Madejczyk, M.S., Ballatori, N., 2004. Activation of plasma membrane
20 reduced glutathione transport in death receptor apoptosis of HepG2 cells. *Toxicol. Appl.
21 Pharmacol.* 195: 12-22. <https://doi.org/10.1016/j.taap.2003.10.008>
- 22 Iversen, M., Finstad, B., McKinley, R.S., Eliassen, R.A., Carlsend, K.T., Evjen,T., 2005. Stress
23 responses in Atlantic salmon (*Salmo salar* L.) smolts during commercial well boat
24 transports, and effects on survival after transfer to sea. *Aquaculture*, 243: 373–382.
- 25 Iversen, M., Finstad, B., McKinley, R.S., Eliassen, R.A., Carlsend, K.T., Evjen,T., 2005. Stress
26 responses in Atlantic salmon (*Salmo salar* L.) smolts during commercial well boat
27 transports, and effects on survival after transfer to sea. *Aquaculture*, 243: 373–382.
- 28 Jhamtani, R.C., Shukla, S., Sivaperumal, P., Dahiya, M.S., Agarwal, R., 2017. Impact of co-
29 exposure of aldrin and titanium dioxide nanoparticles at biochemical and molecular levels
30 in Zebrafish. *Environmental Toxicology and Pharmacology*. 58, 141-155.
- 31 King, H.R., 2009. Fish transport in the aquaculture sector: An overview of the road transport
32 of Atlantic salmon in Tasmania. *Journal of Veterinary Behavior*, 4: 163–168.
- 33 Mommsen, T.P., 1984. Metabolism of the Fish Gill. In: Hoar, W.S., Randall, D.J. (eds.) *Fish
34 Physiology*. Vol. XB. Orlando: Academic Press, 1984. p. 203-237.
- 35 Oakes, K.D., Kraak, V.D., 2003. Utility of the TBARS assay in detecting oxidative stress in
36 white sucker (*Catostomus commersoni*) populations. *Aquat Toxicol* 63,447–463.
37 [https://doi.org/10.1016/S0166-445X\(02\)00204-7](https://doi.org/10.1016/S0166-445X(02)00204-7).
- 38 Oyoo-okoth, E., Cherop, L., Ngugi, C.C., Chepkirui-boit, V., Manguya-lusega, D., Ani-sabwa,
39 J., Charo-karisa, H., 2011. Survival and physiological response of *Labeo victorianus* (Pisces:
40 *Cyprinidae*, *Boulenger* 1901) juveniles to transport stress under a salinity gradient.
41 *Aquaculture*, 319: 226–231.
- 42 Ross, L.G., Blanco, J.S., Martínez-Palacios, C., Racotta, I.S., Cuevas, M.T., 2007. Anesthesia,
43 sedation and transportation of juvenile *Menidia estor* (Jordan) using benzocaine and
44 hypothermia. *Aquac. Res.* 38, 909–917. DOI 10.1111/j.1365-2109.2006.01642.x.

- 1 Saint-Paul, U., 1984a. Ecological and physiological investigations of *Colossoma macropomum*,
2 a new species for fish culture in Amazonia. Mem. Soc. Latinoam. Acuicult. 5: 501-518.
- 3 Saint-Paul, U., 1984b. Physiological adaptation to hypoxia of a neotropical characoid fish
4 *Colossoma macropomum*, Serrasalmidae. Env. Biol. Fish. 11: 53-62.
- 5 Saint-Paul, U., 1986. Potential for aquaculture of south american freshwater fishes: a review.
6 Aquaculture. 54: 205-240.
- 7 Sevilla, A., Günther, J., 2000. Growth and feeding level in pre-weaning Tambaqui *Colossoma*
8 *macropomum* larvae. J. World Aquacult. Soc., 31: 218-224.
- 9 Stephensen, E., Sturve, J., Forlin, L., 2002. Effects of redox cycling compounds on glutathione
10 content and activity of glutathione-related enzymes in rainbow trout liver. Comparative
11 Biochemistry and Physiology – C Toxicology and Pharmacology 133, 435–442.
- 12 Teles, M., Oliveira, M., Jerez-Cepa, I., Franco-Martínez, L., Tvarijonaviciute, A., Tort, L.,
13 Mancera, J.M., 2019. Transport and Recovery of Gilthead Sea Bream (*Sparus aurata* L.)
14 Sedated With Clove Oil and MS222: Effects on Oxidative Stress Status. Front. Physiol.
15 10:523. Doi: 10.3389/fphys.2019.00523
- 16 Vilhena, C.S., Nascimento, L.A.S., Andrade, E.H.A., Silva, J.K.R., Hamoy, M., Torres, M.F.,
17 Barbas, L.A.L., 2019. Essential oil of *Piper divaricatum* induces a general anaesthesia-like
18 state and loss of skeletal muscle tonus in juvenile tambaqui, *Colossoma macropomum*.
19 Aquaculture, 510: 169-175.
- 20 Weber, C.A.; Duncan, C.A.; Lyons, M.J., Jenkinson, S.G., 1990. Depletion of tissue glutathione
21 with diethyl maleate enhances hyperbaric oxygen toxicity. Am. J. Physiol. 258: L308-L312.
- 22 White, C.C., Viernes, H., Krejsa, C.M., Botta, D., Kavanagh, T.J., 2003. Fluorescence-based
23 microtiter plate assay for glutamate-cysteine ligase activity. Anal Biochem 318, 175-180.
24 [https://doi.org/10.1016/S0003-2697\(03\)00143-X](https://doi.org/10.1016/S0003-2697(03)00143-X)
- 25 Wood, C. M., de Souza Netto, J. G., Wilson, J. M., Duarte, R. M., Val, A. L., 2017. Nitrogen
26 metabolism in tambaqui (*Colossoma macropomum*), a neotropical model teleost: hypoxia,
27 temperature, exercise, feeding, fasting, and high environmental ammonia. Journal of
28 Comparative Physiology B. 187 (1), 135 – 151. <https://doi.org/10.1007/s00360-016-1027-8>
- 29 Zeppenfeld, C.C., Toni, C., Becker, A.G., Miron, D.S., Parodi, T.V., Barcellos, L.J.G.,
30 Koakoski, G., Rosa, J.G.S., Loro, V.L., Cunha, M.A., Baldissserotto, B., 2014. Physiological and biochemical responses of silver catfish, *Rhamdia quelen*, after
31 transport in water with essential oil of *Aloysia triphylla* (L'Herit) Britton. Aquaculture
32 418-419, 101-107.
- 33
- 34

35 5. CONSIDERAÇÕES FINAIS

36 A utilização de anestésicos na aquicultura tem ido além do objetivo meramente de
37 contenção de animais, principalmente os de grande porte, sendo também uma questão de
38 garantia de bem-estar animal.

39 O uso de extratos vegetais, geralmente óleos essenciais e seus isolados, tem sido
40 empregados como alternativas aos anestésicos sintéticos comumente utilizados para peixes por
41 serem opções de relativo fácil acesso e viáveis, com boa usabilidade quando administradas

1 corretamente e possibilitam uma recuperação rápida do efeito anestésico sem maiores
2 intercorrências na maioria das vezes.

3 Considerando a complexidade na avaliação de novos fármacos para a anestesia de
4 peixes, já que vários fatores são determinantes para a caracterização de sua eficácia além do
5 monitoramento comportamental durante a indução e recuperação, vale ressaltar a importância
6 de se ter informações adicionais.

7 Nesse sentido, o uso de marcadores, a exemplo dos eletrofisiológicos e bioquímicos,
8 que corroboram os efeitos anestésicos e permitam um melhor entendimento quanto a eficácia
9 ou até mesmo dos efeitos colaterais dessas substâncias em peixes, tem sido cada vez mais
10 necessários, permitindo esclarecer os níveis de segurança e a eficácia na utilização quando
11 estabelecidas as concentrações efetivas.

12 Os resultados obtidos no presente estudo apresentaram-se bem alinhados aos nossos
13 objetivos, possibilitando a interpretação em profundidade dos efeitos fisiológicos provocados
14 pelo geraniol e citronelol, que podem ser produtos interessantes no contexto aquícola, tendo em
15 vista serem disponíveis e de baixo custo de aquisição.

16 **6. CONCLUSÕES**

- 17 • As substâncias geraniol (GRL) e citronelol (CTL) nas dosagens $70 \mu\text{L L}^{-1}$ e $90 \mu\text{L L}^{-1}$,
18 respectivamente, mostraram efeito anestésicos em banho de curta duração em juvenis
19 de tambaqui, *Colossoma macropomum* com tempos de indução e recuperação dentro do
20 recomendado.
- 21 • O GRL e CTL nas condições experimentais do nosso trabalho foram capazes de
22 promover miorrelaxamento e redução transitória da ventilação branquial e
23 consequentemente redução na frequência cardíaca. Esses efeitos foram mais intensos
24 nos animais expostos ao CTL, porém, com recuperação completa quando em água livre
25 de anestésico.
- 26 • O GRL se mostrou bastante seguro quanto a resposta cardíaca, com manutenção do
27 ritmo sinusal durante a indução, com reversibilidade dos efeitos na recuperação. O CTL
28 pareceu induzir a algum bloqueio atrioventricular e arritmia nos animais durante a
29 indução. Mesmo ao fim do tempo de recuperação após exposição ao GRL, esses animais
30 não apresentaram recuperação completa dos efeitos, de acordo com os respectivos
31 indicadores no ECG, o que demanda alguma atenção adicional quanto ao seu uso.

- 1 • O CTL não promoveu adequada depressão do SNC de acordo com as análises de EEG,
2 determinando, em contraste, excitabilidade neuronal durante a indução de curta
3 duração. Experimentos que avaliem exposição ao CTL em maior tempo são necessários
4 para verificar se nesses casos ocorreria anestesia geral com depressão generalizada do
5 SNC.
- 6 • O GRL não promoveu danos oxidativos nos tecidos analisados e mostrou alguma
7 resposta antioxidante com efeito protetor nas brânquias dos animais transportados em
8 dose sedativa dessa substância. Por outro lado, o CTL mostrou ação pró-oxidante nos
9 músculo dos animais transportados em doses sedativas.
- 10 • Por fim, concluímos que o GRL pode ser considerado um anestésico eficaz para juvenis
11 de tambaqui, *Colossoma macropomum* e potencialmente para outras espécies de peixes
12 em doses anestésicas e sedativas, enquanto que o citronelol, apesar de promover
13 miorrelaxamento e paralisação corporal completa, apresenta desvantagens importantes
14 que deverão ser melhor investigadas antes se sua indicação para ampla utilização em
15 peixes.

16